

RAFAEL TYTKO ARMELIN

Viabilidade física do mecanismo de esterçamento e suspensão de um eixo direcional e tracionado para veículos 4x4 com esterçamento em dois estágios.

Trabalho de Curso apresentado à Escola
Politécnica da Universidade de São Paulo para
obtenção do título de Mestre em
Engenharia Automotiva (Mestrado
Profissionalizante)

Área de concentração:
Engenharia Automotiva (Mestrado
Profissionalizante). Orientador:
Prof. Dr. Marcelo Alves

São Paulo
2007



UNIVERSIDADE DE SÃO PAULO

Relatório de Defesa

Relatório de defesa pública de Dissertação do(a) Senhor(a) Rafael Tytko Armelin no Programa: Engenharia Automotiva, do(a) Escola Politécnica da Universidade de São Paulo.

Aos 22 dias do mês de março de 2007, realizou-se a Defesa da Dissertação do(a) Senhor(a) Rafael Tytko Armelin, apresentada para a obtenção do título de Mestre em Engenharia Automotiva, intitulada:

"Viabilidade física do mecanismo de esterçamento e suspensão de um eixo direcional e tracionado para veículos 4x4 com esterçamento em dois estágios"

Após declarada aberta a sessão, o(a) Sr(a) Presidente passa a palavra aos examinadores para as devidas arguições que se desenvolvem nos termos regimentais. Em seguida, a Comissão Julgadora proclama o resultado:

Nome dos Participantes da Banca	Vínculo do Docente	Sigla da Unidade	Resultado
Marcelo Augusto Leal Alves	Presidente	EP - USP	Aprovado
Raul Gonzalez Lima	Titular	EP - USP	Aprovado
Flávio Celso Trigo	Titular	UNIP - Externo	Aprovado
Resultado Final: Aprovado			
Parecer da Comissão Julgadora *			

Comentários da Defesa (opcional)

Eu, Monica de Castro Santos Guerra Monica, Técnico para Assuntos Administrativos, lavrei a presente ata, que assinei juntamente com os(as) Senhores(as). São Paulo, aos 22 dias do mês de março de 2007.

Raul Gonzalez Lima
Raul Gonzalez Lima

Flávio Celso Trigo
Flávio Celso Trigo

Marcelo Augusto Leal Alves
Marcelo Augusto Leal Alves
Orientador(a)

* Obs: Se o candidato for reprovado por algum dos membros, o preenchimento do parecer é obrigatório.

Nos termos do artigo 110, do RG-USP, encaminhe-se o presente relatório à CPG, para homologação.

Impresso em: 13/03/2007

Recebemos
02/07
D. G. Lima
 Secretaria do Mestrado Profissional
 em Engenharia Automotiva

AGRADECIMENTOS

À minha esposa por ter me apoiado em escrever cada palavra dessa dissertação.

À minha família por todo o apoio durante esses dois anos de aulas e trabalhos.

A toda a turma de amigos que formei durante esses anos, cada crédito, um desafio que vencemos juntos!

Ao meu orientador Marcelo Alves pelo apoio durante o curso.

Aos colegas do trabalho que ajudaram com a idéia, especialmente ao Marcel Hattori e Sérgio Ricardo Scabar.

Não poderia faltar um agradecimento a mim mesmo! Depois de pensar diversas vezes em desistir, minha teimosia e determinação foram mais fortes que tudo!

DEDICATÓRIA

Ao Prof. Dr. Raul Gonzalez Lima, por ter acreditado no tema e incentivado cada capítulo desta dissertação. Pela sua paciência por cada reunião que tivemos e por sua dedicação como professor e orientador.

RESUMO

Para suprir as novas necessidades do mercado agrícola nacional e internacional, que estão agora direcionadas não somente para a produtividade, mas também para o conforto e segurança, desenvolveu-se um eixo direcional, trátil e suspenso com dois estágios de esterçamento. O presente artigo desenvolve o projeto básico de um eixo para utilização fora de estrada com as características anteriormente citadas. A primeira etapa trata a viabilidade do projeto, serão apontadas as alternativas e patentes hoje existentes no mercado, juntamente com um estudo econômico e financeiro do novo conceito. A segunda etapa do projeto, descreve as necessidades que o eixo precisa atender. A terceira etapa é a construção de um modelo computacional desenvolvido pelo software *PRO-Engineer*, para análise de todos os ângulos tratados dentro de um projeto de suspensão veicular. Na quarta e última etapa investiga-se se o sistema é controlável, utilizando-se como ferramenta auxiliar o software *WinFelt*.

ABSTRACT

Current trend for the agricultural machines which drives to new technologies, focusing not only in the production itself, but also in comfort and safety, was the trigger to develop this front-driven-suspend-super steered-agricultural-axle. This article comprises the basic project for such axle. The first chapter contains the project viability, such economical and financial, and an overview of the Brazilian market evolution. The second chapter of this article is the project description; all functions and targets are presented. The third chapter is the kinematics analyzes; a kinematics model was developed using the Pro-Engineer. And the forth stage will be the model controlling verifications, this stage will be supported for other software: WinFelt.

SUMÁRIO

ANEXOS

LISTA DE ABREVIASÕES

LISTA DE FIGURAS

LISTA DE GRÁFICOS

LISTA DE SÍMBOLOS

LISTA DE TABELAS

1. Introdução.....	1
2. Planejamento do Produto.....	2
2.1. Metodologia	2
2.1.1. Histórico das máquinas agrícolas no Brasil	2
2.1.2. Estudo de viabilidade.....	4
2.1.3. Viabilidade Econômica.....	9
2.1.4. Viabilidade financeira.....	11
3. Objetivos	13
4. Projeto Básico.....	14
5. Alternativas para solução técnica	16
6. Descrição geral de um estudo de suspensão.....	17
6.1. Ponto de rolagem da suspensão	17
6.2. Eixo de rolamento da carroceria	19
6.3. Ângulo de Cáster.....	20
6.4. Ângulo de Câmara	20
6.5. Inclinação do Pino Mestre	21
6.6. Ângulo de Convergência.....	21
6.7. Geometria de Ackerman	22
7. Estudo técnico da solução	24
7.1. Viabilidade Física	24

8.Resultados do modelo computacional.....	29
9. Estudo das forças atuantes nos cilindros hidráulicos	36
10.Viabilidade de controle do eixo	40
 10.1.Princípios de sistemas de controle	40
 10.2.Princípio básico controlabilidade de um sistema.....	40
 10.3.Teste de observabilidade de um sistema	41
 10.4.Sistemas de controle para o eixo.....	44
11.Cilindros de suspensão com dupla ação.....	45
12.Proposta para redução de custos	49
13. Comentários Finais	53
14.Referência.....	54

ANEXOS

ANEXO A – Patente ZFF 000310 – Agro-Super-Steer

ANEXO B – Produção de tratores no ano de 2003

ANEXO C – Produção de tratores no ano de 2004

ANEXO D – Produção de tratores no ano de 2005

ANEXO E – Produção de tratores no ano de 2006

ANEXO F – Matriz de análise para o batente de suspensão superior

ANEXO G – Matriz de análise para o sobre-esterçamento

ANEXO H – Matriz de análise para uma oscilação

ANEXO I – Modelo de finitos simulando batente de suspensão

ANEXO J – Modelo de finitos simulando o sobre-esterçamento

ANEXO K – Modelo de finitos simulando uma oscilação

ANEXO L – Rotina para o cálculo de controlabilidade

ANEXO M – Rotina para a verificação de observabilidade

ANEXO N – Resultados obtidos para observabilidade

LISTA DE SÍMBOLOS

ZFB – ZF do BRASIL LTDA

ZFF – ZF FRIEDRICHSHAFEN – Divisão de transmissões

ZFP – ZF PASSAU – Divisão de eixos

ZF Lemförder – Divisão de sistemas de chassis

W – Braço a Terra

δ_g – Inclinação do pino mestre

R – Distância entre centros das rodas na extremidade dianteira do veículo

F – Distância entre centros das rodas na extremidade traseira do veículo

t – Bitola do veículo

L – Distância entre eixos

θ – Ângulo de Cáster

ϵ – Ângulo de Câmara

δ_i – Ângulo da roda interna

δ_o – Ângulo da roda externa

LISTA DE FIGURAS

Figura 2.1.2.1 Produção de máquinas agrícolas entre 2003 e 2006	5
Figura 2.1.2.2 Modelo da CNH produzido com eixo sobre-esterçante	7
Figura 2.1.2.3 Modelo de trator Fendt	8
Figura 2.1.2.4 – Modelo de trator CNH: eixo rígido com Sobre-Esterçamento..	8
Figura 2.1.2.5 Eixo rígido, suspenso com cilindros hidráulicos.	9
Figura 4.1 Junta Cardan	14
Figura 4.2 Vista de uma junta tipo Cardan	15
Figura 6.1.1 Fixação somente nos feixes de molas.	18
Figura 6.1.2 Fixação com três pontos de ancoragem usando a barra Panhard.....	18
Figura 6.1.3 Fixação com quatro pontos de ancoragem.	18
Figura 6.1.4 Fixação com quatro pontos de ancoragem e braços inferiores paralelos	19
Figura 6.1.5 Fixação com pivô no centro do eixo.	19
Figura 6.2.1 Demonstração do eixo imaginário de rolamento da carroceria	19
Figura 6.3.1 Exemplo do ângulo de Cáster	20
Figura 6.4.1 Ângulo de Câmara negativo	20
Figura 6.5.1 Ângulo de pino mestre (δ_G) e o Braço a Terra (W).	21
Figura 6.6.1 Ilustração das possibilidades de alinhamento do veículo.....	22
Figura 6.7.1 Ilustração da geometria de Ackerman	23
Figura 7.1.1 Vista em 3 dimensões do eixo	24
Figura 7.1.2 Vista frontal do eixo.....	25
Figura 7.1.3 Vista lateral do eixo.....	25
Figura 7.1.4 Vista superior do eixo	26

Figura 7.1.5 Exemplo de um tipo de fixação para o eixo	28
Figura 8.1 Comparação dos dois tipos de sistema de esterçamento das rodas.....	29
Figura 8.2 Ilustração da variação do ângulo de Cáster em função do deslocamento do ..	30
Figura 8.3 Ilustração da pior condição para as juntas esféricas	31
Figura 8.4 Ilustração do Sobre-Esterçamento X juntas esféricas	32
Figura 8.5 Informações técnicas das juntas esféricas utilizadas.....	33
Figura 8.6 Ilustração da suspensão do eixo.....	34
Figura 8.7 Junta esférica da ponta do.....	35
Figura 8.8 Ilustração de uma oscilação do eixo e a consequência para as juntas esféricas	35
Figura 9.1 – Demonstração das cargas na direção Y	37
Figura 9.2 – Demonstração das cargas na direção X	37
Figura 9.3 – Demonstração das cargas na direção Z	38
Figura 9.4 e 9.5 – Ilustram os estudos de Elementos Finitos realizados	39
Figura 10.1.1 Ilustração de controle automático a realimentação	40
Figura 11.1 Corpo de válvulas para gerenciamento da suspensão.	45
Figura 11.2 Cilindro de dupla ação fornecidos pela Ognibene	46
Figura 11.3 Modelo de suspensão da Jonh Deere	47
Figura 11.4 Ilustração de um possível esquema hidráulico para o sistema	47
Figura 11.5 Modelo extraído da Carraro.....	48
Figura 12.1 Ilustração das novas barras de fixação traseira do eixo	50
Figura 12.2 Vista de topo do eixo suspenso sem sobre-esterçamento.....	50
Figura 12.3 Vista lateral do eixo sem sobre-esterçamento	51
Figura 12.4 Veículo Willis montando o eixo dianteiro.....	51
Figura 12.5 Fotos tiradas de um eixo dianteiro de Troller 4x4	52

LISTA DE TABELAS

Tabela 2.1.3.1	11
----------------------	----

1. Introdução

Podemos destacar dentro do mercado de máquinas utilizadas para a agricultura (englobando o preparo da terra, plantio, colheita, etc.), uma linha evolutiva tratando da sua tecnologia embarcada. Assim como no mercado de automóveis, onde existe uma necessidade de evolução devido à concorrência e pela exigência do consumidor final por produtos de melhor qualidade e menor preço, o mercado de máquinas agrícolas não é diferente. Porém por se tratar de veículos para trabalho rural, existem algumas particularidades que serão vistas posteriormente.

Contando com esse cenário favorável para o desenvolvimento de novas tecnologias, o presente artigo irá apresentar as bases para o desenvolvimento de um eixo agrícola direcional, tracionado, suspenso e com duplo estágio de esterçamento (sobre-esterçante). [Patente Agro-Super-Steer ZFF número 000310, anexo A]

A primeira etapa consiste em uma apresentação do mercado de máquinas agrícolas, com as suas particularidades. Apresenta-se um estudo de viabilidade financeira e econômica e um breve histórico de como evoluíram as máquinas agrícolas no Brasil.

A segunda etapa será a apresentação do projeto com as funções que esse produto deve atender. A terceira etapa analisa o comportamento cinemático do eixo com o auxílio do programa *Pro-Engineer*.

A quarta etapa verifica a controlabilidade do eixo. Para essa etapa utiliza-se um processador de elementos finitos, o *WinFelt* para determinar as matrizes de massa e rigidez do sistema.

2. Planejamento do Produto

Dentro desse capítulo serão demonstradas as características que o produto deve apresentar para atender às necessidades do cliente e do mercado ao qual se destina.

2.1. Metodologia

A metodologia de desenvolvimento do produto utilizada segue as diretrizes apresentadas no livro **Desenvolvendo produtos com planejamento, criatividade e qualidade** (Kaminski, P.C., 2000).

Serão abordadas as principais estruturas dentro de um novo projeto, desde o estudo de viabilidade, até a fase de utilização (ou cancelamento) do projeto.

2.1.1. Histórico das máquinas agrícolas no Brasil

Desde 1920, quando o então presidente Epitácio Pessoa autorizou as operações da FORD no Brasil, em pouco tempo era produzido o modelo FORDSON, até então importado dos Estados Unidos, que passou a ser produzido aqui. Logo depois vieram também outros fabricantes de implementos e máquinas agrícolas, tais como Massey Fergunson, John Deere, Caterpillar e Fiat.

Todavia, somente em 1960 o Brasil teve a primeira fabricação de uma máquina agrícola. Até então, muitos fatores técnicos inviabilizavam a construção de um trator em países com clima tropical pois a fundição era inviável tecnicamente, problema este que foi resolvido pela SOFUNGE.

Os registros da Anfavea mostram que em 1960 a Ford abriu caminho e lançou o trator 8 BR Diesel. Os modelos das empresas, hoje, Valtra e CNH New Holland, segundo a Anfavea, chegaram no mesmo ano.

Em 1961 foi lançado o Massey 156, que até então possuía o Ferguson MF 50 com o maior índice de nacionalização à época.

Nessa época o Brasil tinha 70 (setenta) milhões de habitantes, 38 (trinta e oito) milhões dos quais viviam no campo, e a produção de grãos não passava de 20 (vinte) milhões de toneladas/ano. Sete anos depois a Massey montou o primeiro centro de treinamento do País para formação de tratoristas, o qual ensinou gerações a regular implementos e fazer sua manutenção.

Os cultivadores motorizados nacionais começaram a ser fabricados em 1961 e tiveram seu recorde de produção em 1986, com 7,1 mil unidades produzidas, marca até hoje não igualada. Em 1964 foi a vez da Agrale lançar seu trator compacto 4.100, sucesso de vendas até hoje. Em 1976 iniciou-se a produção da JohnDeere, na época SLC.

A indústria brasileira de tratores cresceu modestamente até 1970, quando a produção saltou de 16,7 mil para perto de 25,5 mil unidades no ano seguinte. A produção seguiu crescente até 1980, quando saltou para 77.478 tratores e outras máquinas agrícolas produzidas, recorde até hoje não alcançado. Já os tratores de esteira apareceram timidamente em 1966, com 13 unidades produzidas, e tiveram seu recorde de produção em 1976, com 4,6 mil unidades. As colheitadeiras em 1976 alcançaram a produção de 6,4 mil unidades e tiveram seu pico em 2004, com 10,4 mil unidades.

Com a criação do Moderfrota em 2000, programa para Modernização da Frota Agrícola, a produção seguiu aos altos e baixos, sempre maior do que 22 mil unidades e nunca superior a 69 mil. A partir de 2000, quando o governo passou a injetar regularmente (e no *timing* adequado) recursos na agricultura, oferecendo crédito para a mecanização (a juros, prazos e

volumes compatíveis com a atividade), a produção da indústria de tratores e máquinas agrícolas saltou de 35,5 mil unidades em 2000 para 44,3 mil no ano seguinte e para 69,4 mil em 2004. Deu-se um rápido aumento na área plantada com grãos e na produtividade. A área dedicada à soja cresceu 39,8% na Região Sul e 66,1% no Centro-Oeste.

Todo este panorama nos leva a concluir que a tecnologia para esse setor é muito importante, mas que isso, é necessário acompanhar o desenvolvimento tecnológico que existente fora do nosso País. Afinal, somos um pólo produtor de tecnologias também para máquinas agrícolas.

2.1.2. Estudo de viabilidade

Com uma pequena análise do mercado das máquinas que hoje estão disponíveis, busca-se uma resposta se o consumidor final está disposto a pagar um valor extra para a aquisição da tecnologia do eixo suspenso (principalmente) e com sobre-esterçamento. No entanto, observamos também que não é de interesse das montadoras deixar esse tipo de eixo como um item de série. A melhor maneira de se ofertar esse produto é disponibiliza-lo como um item opcional para a máquina (uma pequena pesquisa de opinião foi feita entre os departamentos de engenharia das principais montadoras nacionais de máquinas agrícolas: AGCO, Valtra, Jonh Deere e Agrale). O mercado brasileiro ainda não tem disponível para a venda esse tipo de tecnologia, mas, nos países mais desenvolvidos, quase 2/3 do mercado utilizam eixos suspensos, ou suspensão independente [conversa informal com o Sr. Stefan Prebeck, gerente geral de desenvolvimento de produtos da ZFP e ZFB].

Dentre as vendas de máquinas agrícolas note com a figura 2.1.1.1 que existe quase uma constante ao longo dos últimos anos (com uma tendência de ampliação do mercado 4x4).

Com essa pequena análise, podemos admitir que estamos atuando em um mercado em expansão.

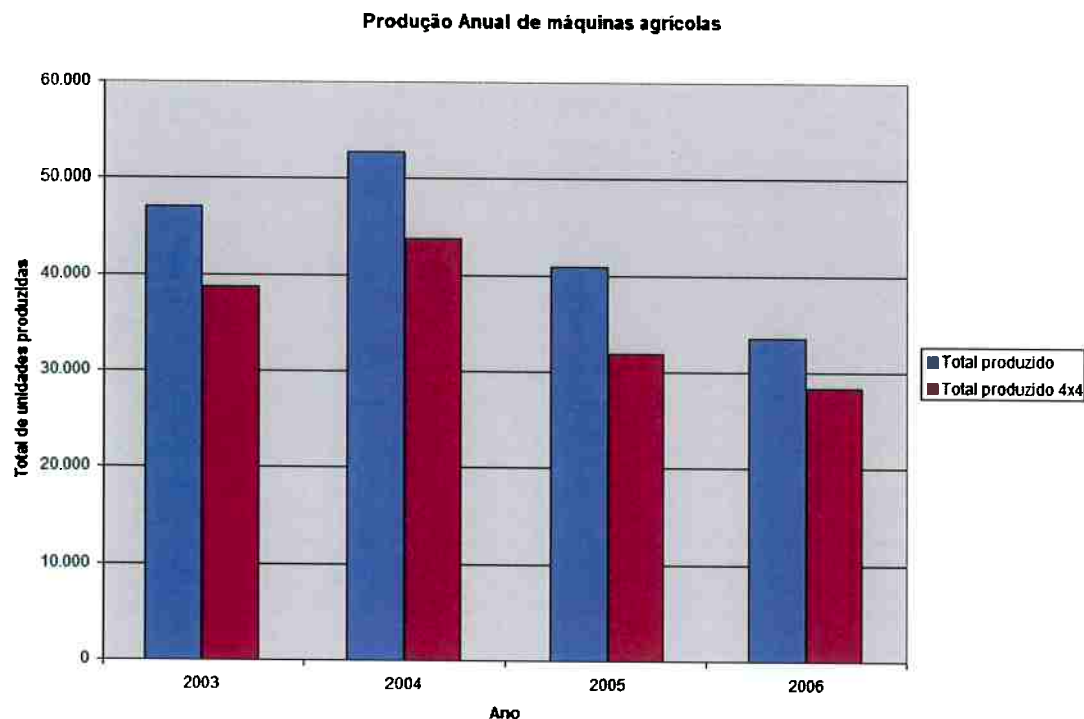


Figura 2.1.2.1 – Extraído da ANFAVEA com a produção de máquinas agrícolas entre 2003 e 2006 (exceto dezembro de 2006)

Vale ressaltar que a queda que o mercado agrícola apresentou nesses últimos dois anos foi totalmente ligada a condições macroeconômicas do país, tais como: dólar em alta, queda nos preços das commodities no mercado externo, etc. Poderíamos até entender que 2004 foi o grande pico de produção de grãos, e que agora a produção está nos patamares reais do mercado (veja também outros fatores no capítulo 2). Mesmo com essa queda de produção, podemos também analisar que o mercado 4x4 tem crescido, ou seja, cada vez mais o produtor está investindo em tecnologia para ganhar eficiência em sua produção. Note que no gráfico, 2006 não contém a produção do mês de dezembro, pois ainda não estava fechado o ano na data da pesquisa. Todas as tabelas extraídas da ANFAVEA encontram-se nos anexos B ao E.

A ZF do Brasil hoje tem uma média de vendas de eixos agrícolas para tratores 4x4 na casa dos 18.000 (dezoito mil) eixos por ano (média dos últimos quatro anos) contando todas

as montadoras a quem a ZF fornece. Tendo em vista que ainda há mais dois - no mínimo - outros grandes fornecedores de eixos direcionais e tracionados, podemos admitir que o caminho certo para o desenvolvimento dessa tecnologia, passa por desenvolver eixos suspensos.

A linha evolutiva do mercado para esse produto pode ser observada como:

1. Sistema direcional simples;
2. Eixos rígidos oscilantes e direcionais;
3. Eixos rígidos oscilantes trativos e direcionais;
4. Eixos rígidos trativos direcionais e suspensos;
5. Suspensão independente.

Tudo isso observado desde o produto mais simples até o mais complexo, tanto do ponto de vista tecnológico, quanto do ponto de vista de custos para produção.

O produto proposto no tema se enquadrará entre o eixo rígido trativo e oscilante e o eixo rígido trativo e suspenso, diferenciado deste último por dois novos cilindros que serão os responsáveis pelo sobre-esterçamento, além do seu papel de ancoragem do eixo.

Com isso, a relação custo-benefício desta tecnologia se torna atraente para o consumidor final. Na figura 2.1.2.2 podemos observar a vantagem de se possuir grande ângulo de esterçamento: a máquina pode (dependendo do seu entre eixos) girar em torno de si mesma. Isso evita manobras no final da rota, tornando mais eficiente o processo, graças ao rápido retorno da máquina à rota.



Figura 2.1.2.2- Modelo da CNH produzido com eixo sobre-esterçante.

Hoje as máquinas já são vendidas em sua maioria com sistemas inteligentes de suspensão, onde os cilindros são eletronicamente controlados por uma central independente, ou por outro controlador já disponível na máquina.

Alguns exemplos de máquinas agrícolas serão citados para o melhor entendimento do mercado em que estamos atuando. A seguir a figura de 2.1.2.3 demonstra o modelo de trator Fendt equipado com um eixo rígido e suspenso. Na figura 2.1.2.4 demonstra um possível concorrente para o mercado de eixos sobre-esterçantes, um modelo da CNH equipado exatamente com esta tecnologia. Na figura 2.1.2.5 mais um exemplo de eixo rígido equipado com amortecedores/molas hidráulicas.



Figura 2.1.2.3 – Modelo de trator Fendt.



Figura 2.1.2.4 – Modelo de trator CNH: eixo rígido com Sobre-Esterçamento.



Figura 2.1.2.5 – Eixo rígido, suspenso com cilindros hidráulicos.

2.1.3. Viabilidade Econômica

Para que a fabricação do produto seja algo interessante para a empresa, é necessário que o custo de produção e desenvolvimento seja menor que a receita por ele gerada em suas vendas. Todos os investimentos também devem ser amortizados ao final do ciclo de venda deste produto.

Os investimentos estarão divididos em duas partes: projeto e desenvolvimento do conceito, e implantação para fabricação.

A fase de projeto e desenvolvimento será a parte mais onerosa do investimento, onde serão consumidas cerca de 10.000 horas (baseado no histórico dos últimos seis novos projetos desenvolvidos) de engenharia e de outros departamentos que eventualmente tenham que atuar no desenvolvimento do produto (compras, processos, etc.). Admitindo-se o custo de uma hora de trabalho para a engenharia e esses outros departamentos como de aproximadamente R\$ 60,00 (sessenta) reais, temos aqui um custo total de R\$ 600.000,00 (seiscentos mil) reais.

Para a construção deste protótipo estimamos outros R\$ 100.000,00 (cem mil) reais com a aquisição de cilindros e componentes eletrônicos.

Para a implantação da fabricação serão considerados somente alguns re-trabalhos nos ferramentais de fundição, o que não deve ultrapassar R\$ 100.000,00 (cem mil) reais. Vale ressaltar, aqui, que o eixo é uma peça de série, possibilitando baixos investimentos com ferramentais de fundição, geralmente o mais caro.

Para esse total de investimentos de R\$ 800.000,00 (oitocentos mil) reais, toda a estrutura da empresa será utilizada, porém não haverá despesas extras, ou seja, o caixa não será prejudicado. Somente na fase de re-trabalhos nos ferramentais de fundição gastar-se-á dinheiro do caixa.

Como anteriormente mencionado, o modelo proposto se insere dentro de uma faixa de mercado entre dois conceitos já consagrados no mesmo: o eixo rígido oscilante e a suspensão independente. Para que o projeto seja viável, o menor número possível de peças novas será considerado para o modelo.

Para um cliente que já estava disposto a pagar um preço diferenciado para adquirir uma tecnologia de suspensão, com o custo benefício bastante atraente (mesmo que não seja a melhor suspensão que existe no mercado), o sobre-esterçamento estará disponível somente com o acréscimo de dois cilindros e a tecnologia do software de gerenciamento para o sistema. Para a montadora, isto se torna interessante do ponto de vista econômico e estratégico, pois o sobre-esterçamento será um diferencial de vendas para o seu produto.

Será necessário também estimar o lucro que cada uma dessas unidades deixará para a empresa. Para podermos simplificar um pouco o modelo, adotaremos um valor fixo para os cálculos. Como estamos tratando de tecnologia embarcada, estimamos um valor de lucro unitário mais elevado se compararmos a um eixo comum. Esse valor foi estimado em R\$ 250,00 (duzentos e cinqüenta) reais por unidade, tendo como base dados da ZF do Brasil. Não

é permitido divulgar os valores de lucro, nem tampouco o preço de venda, entretanto trata-se de dados reais e verificados nos anos de 2005/2006.

2.1.4. Viabilidade financeira

O método utilizado para a determinação da viabilidade do projeto será o método do valor líquido presente (VLP). [Economia de empresas, Brunstain, I., 2000]

A idéia aqui é utilizar todos os valores estimados para vendas nos anos de vida do produto e trazer para o valor presente, bem como deduzir todos os investimentos feitos para a realização do projeto.

Vamos aqui admitir um valor pessimista para as vendas do produto durante o seu ciclo de vida. Se estivermos superestimando esses dados, pode-se gerar prejuízos para a empresa no futuro.

As vendas do produto serão estimadas conforme a tabela 2.1.3.1:

Ano	Ano	Ano	Ano	Ano	Ano	Ano	Ano	Ano	Ano
1	2	3	4	5	6	7	8	9	10
500	900	1000	1100	1200	1300	1100	1000	800	800

Tabela 2.1.4.1 – Estimativa pessimista de vendas para o eixo

$$VLP = VP_{lucro} - VP_{investimentos}$$

Para a taxa de juros anual vamos adotar uma média de 18% ao ano.

$$\text{VLlucro} = 500*250/1,18 + 900*250/(1,18)^2 + 1000*250/(1,18)^3 + 1100*250/(1,18)^4 + \\ 1200*250/(1,18)^5 + 1300*250/(1,18)^6 + 1100*250/(1,18)^7 + 1000*250/(1,18)^8 + \\ 800*250/(1,18)^9 + 800*250/(1,18)^{10} = 1.049.189,40$$

$$\text{VLP} = 1.049.189,40 - 800.000 = 249.189,40$$

Como temos um VLP positivo, podemos concluir que o lucro com as vendas na data presente é maior que todos os investimentos previstos para o projeto, o que o torna rentável para a empresa. Mesmo o número não sendo muito atraente para a realização do projeto, existe uma parte estratégica da empresa que deve ser também considerada. O projeto em questão entra em um nicho de mercado onde a empresa ainda não atua e por isso será considerado um bom investimento para mesma, a longo prazo.

3. Objetivos

Proposta e análise de viabilidade física de um mecanismo de uma suspensão para um eixo rígido, suspenso e direcional, utilizado em máquina agrícola, que permita um esterçamento significativamente maior (20%) do que aquele das máquinas atuais.

4. Projeto Básico

O projeto básico está bem definido uma vez que se trata de uma estratégia da ZF do Brasil para lançar um eixo que ainda não se encontra na sua linha de produtos. Mesmo existindo outros produtos similares na Alemanha, o nosso mercado difere muito do europeu e, por isso, desenvolvemos uma tecnologia mais aplicável ao nosso mercado.

Para tal, todo o conceito do projeto se baseou em um produto hoje existente, capaz de oferecer até 60° de ângulo de esterçamento, com o objetivo de atender à necessidade de se ter um raio de giro pequeno o suficiente para evitar manobras no final da linha de trabalho, seja ele de plantio, colheita, preparo, etc.

Existem limitações técnicas que impossibilitam que todo o esterçamento seja feito pela ponta do eixo, sendo a principal delas a junta Cardan, que liga a ponta do eixo até o diferencial do eixo (existe ainda um eixo de ligação entre Cardan e diferencial, mas este não será estudado neste projeto). Este Cardan tem a limitação de 50° como ângulo β para qualquer um dos lados, conforme ilustrado na figura 4.1. Muitos outros ângulos são importantes na junta Cardan, mas eles não serão abordados aqui, por não ser este o foco do projeto.

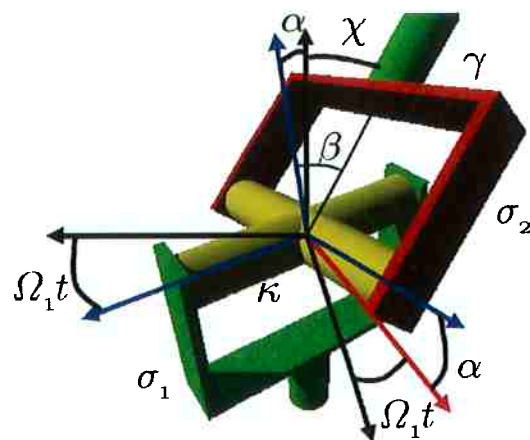


Figura 4.1 – Junta Cardan

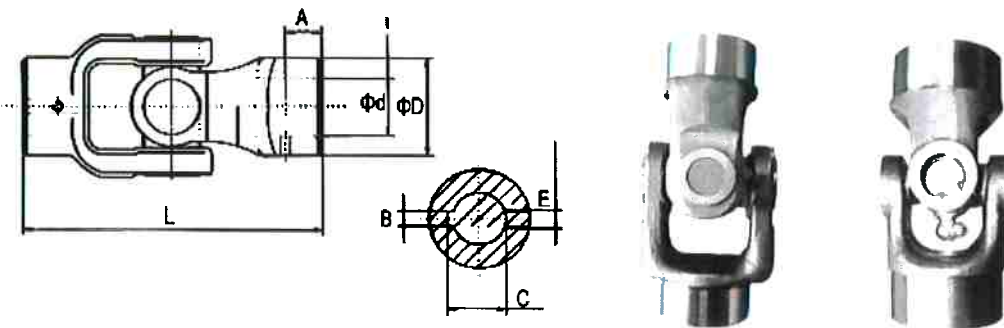


Figura 4.2 – Vista de uma junta tipo Cardan

Outra restrição para o total esterçamento nas pontas de eixo, está relacionada com espaços físicos na máquina. Geralmente o para lamas é fixado na ponta do eixo, sendo pivotado juntamente com o conjunto da direção isso ocasiona interferências com o motor e carenagens laterais.

Devido a essas restrições principais, a alternativa é o giro total do conjunto de eixo, complementando os 50° possíveis de esterçamento na ponta do eixo com mais 10° de rotação do eixo completo.

Não há dúvidas de que será necessário por parte da montadora um estudo mais aprofundado de qual será o melhor layout para que as carenagens não venham a sofrer interferências; contudo, como se trata de uma região onde somente o motor está alocado, o estreitamento dessa região é perfeitamente possível para a necessidade de esterçamento acima especificada.

5. Alternativas para solução técnica

Como possíveis alternativas para a construção desse conceito de eixo foi feito um breve estudo das patentes hoje existentes. Nesse segmento de máquinas agrícolas, existem muitas patentes tratando, em sua maioria, de acionamento e esterçamento das rodas (cilindros, barras, quantidades, posições, etc.).

A maioria dos conceitos hoje apresentados, não é diretamente aplicável em nosso mercado pelo seu elevado custo de produção, principalmente no caso das suspensões independentes. Muitas patentes estão descritas como invenções para melhorar a performance sem prejudicar o custo, e com a durabilidade tão boa quanto a oferecida anteriormente. Nossa proposta consiste em criar um novo sistema de acionamento que poderá suprir as atuais necessidades de raio de giro das máquinas, sem prejudicar muito os custos.

Hoje há ângulos de esterçamento de aproximadamente 65º para os dois lados (CNH). Com os modelos convencionais de esterçamento somente da ponta do eixo, não é possível atingir mais do que 50º (vide o estudo da junta Cardan no item 4.1), por isso a proposta é incrementar esse ângulo direcionando todo o conjunto do eixo, tornando-o também direcional. Esse conceito já existe, e é chamado de *Super-Steer* (que traduzimos aqui como sistema de Sobre-Esterçamento), porém ainda não é conhecido neste conceito.

Este trabalho gerou o pedido da patente 000310 [anexo A], cujos direitos pertencem a ZF Alemanha e tem como autor Rafael Tytko Armelin. Como tratamos de uma patente internacional, ela será aplicada a todos os países produtores de eixos e não para o mundo todo, o que envolve elevados custos.

6. Descrição geral de um estudo de suspensão

Embora o projeto tenha o objetivo de propor um sistema de suspensão, o tema abordado neste trabalho está focado apenas em um componente da suspensão: o eixo dianteiro. Vale destacar que um estudo aprofundado de uma suspensão requer à análise de muitos outros detalhes que não serão aqui abordados. Esse estudo mais aprofundado deverá ser feito juntamente com o cliente, pois existem outras restrições que serão impostas pelo projeto completo da máquina agrícola.

Aqui serão apresentados basicamente os ângulos envolvidos e o que cada um deles representa no estudo proposto pelo tema.

6.1. Ponto de rolagem da suspensão (*Roll Center*)

Quando um carro entra em curvas, forças centrífugas são aplicadas na carroceria tendendo a “girá-la” para fora da curva. Isto é chamado de rolamento. O fato mecânico por trás disso é que o rolamento da carroceria tende a comprimir as molas da suspensão do lado externo de uma curva, e retirar peso do lado interno.

Em termos gerais de *design* do veículo, podemos comparar este ponto de rolamento com o centro de gravidade (CG), onde todas as forças são aplicadas para efeitos de estudo. É com esse raciocínio que se pode entender o ponto de rolamento da suspensão.

É evidente que a carroceria não tem um rolamento vertical com as vias. Deve existir um ponto no espaço em torno do qual a carroceria pode ter a sua rotação para assumir um mesmo ângulo de rolagem das vias. Esse ponto pode ser real ou até imaginário, dependendo do *design* do veículo. Este então é o chamado ponto de rolagem da suspensão (*Roll Center*).

A figura 6.1.1 demonstra o tipo de ancoramento do eixo usando somente os feixes de molas como pontos de apoio. A figura 6.1.2 demonstra a fixação do eixo por barras, no caso três, onde uma delas é chamada de *Panhard*. Na figura 6.1.3 um exemplo para quatro pontos de ancoragem do eixo, muito similar a figura 6.1.4 que possui as barras inferiores paralelas. A figura 6.1.5 demonstra a fixação com duas barras e um pivô no centro do eixo. Em cada uma dessas figuras apresentadas, uma metodologia diferente se aplica para encontrar o ponto de rolagem da suspensão.

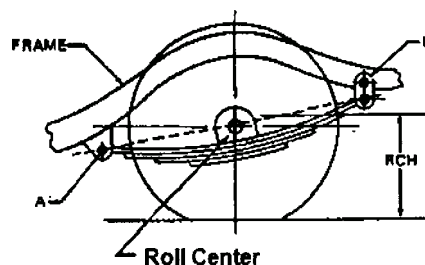
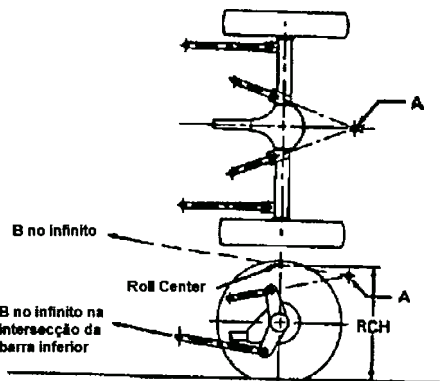
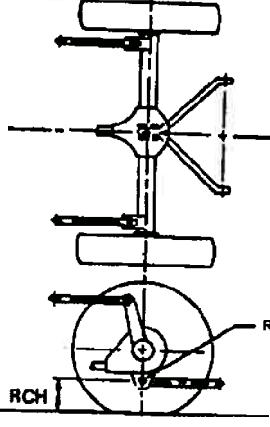


Figura 6.1.1 – Fixação somente nos feixes de molas.

<p>Figura 6.1.2 – Fixação com três pontos de ancoragem usando a barra Panhard.</p>	<p>Figura 6.1.3 – Fixação com quatro pontos de ancoragem.</p>

 <p>Figura 6.1.4 – Fixação com quatro pontos de ancoragem e braços inferiores paralelos.</p>	 <p>Figura 6.1.5 – Fixação com pivô no centro do eixo.</p>
---	--

6.2. Eixo de rolamento da carroceria

Este eixo imaginário é a ligação dos dois pontos gerados pela geometria das suspensões (*Roll Center*) dianteira e traseira. Este será o eixo de rolamento de toda a carroceria. Vide o exemplo na figura 6.2.1.

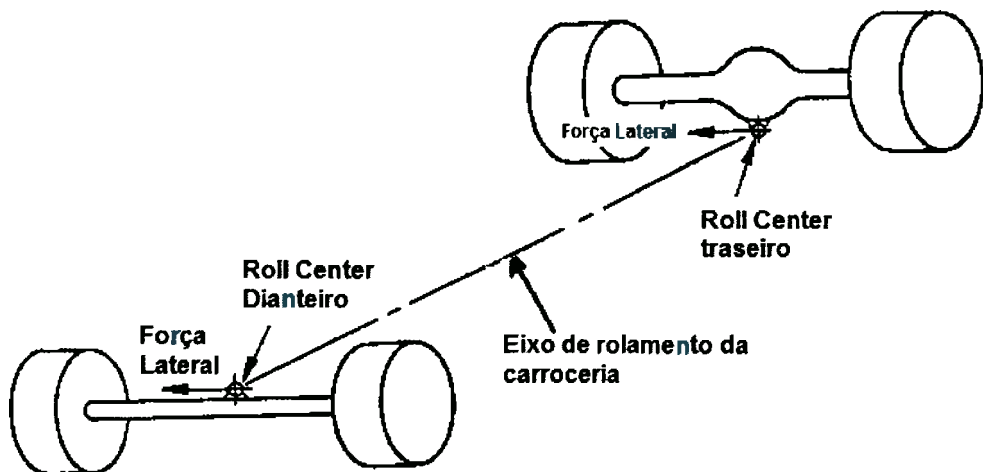


Figura 6.2.1 – Demonstração do eixo imaginário de rolamento da carroceria

6.3. Ângulo de Cáster (θ)

Este é o ângulo responsável pelo torque de auto-alinhamento do veículo. Podemos descrever como sendo a diferença do ponto de contato do pneu com o solo, em relação ao ponto de projeção dado pela inclinação dos braços de suspensão conforme ilustrado na figura 6.3.1.

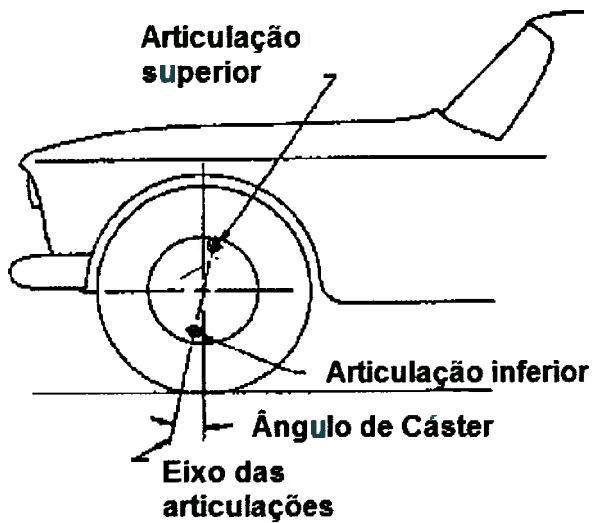


Figura 6.3.1 – Exemplo do ângulo de Cáster

6.4. Ângulo de Câmara (ϵ)

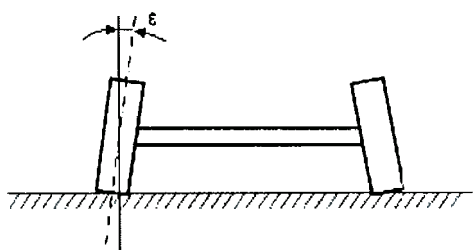


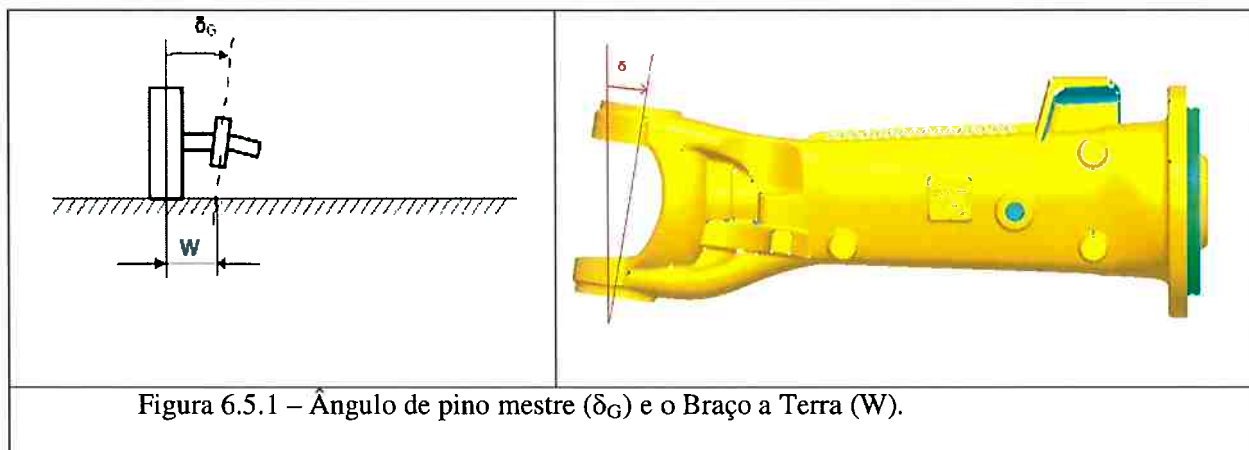
Figura 6.4.1 – Ângulo de Câmara negativo “ ϵ ”

O ângulo de Câmara é definido como a inclinação da roda em relação ao solo, podendo ser positivo ou negativo. Em máquinas agrícolas, com esse tipo de eixo rígido, trabalha-se com até 1º positivo devido à oscilação do eixo. Como o

novo sistema será implementado com cursos menores (devido a limitações dos cilindros), trabalharemos com ângulo inicial de 0° .

6.5. Inclinação do Pino Mestre (δ_G)

A inclinação do pino mestre é o ângulo determinado pelo eixo de fixação da articulação da roda, e uma linha vertical ao solo. Esse ângulo será muito importante também em relação à determinação do “Braço a Terra” (L), que nada mais é que a distância da projeção da linha de articulação até o solo em relação ao centro do pneu. O Braço a Terra terá diversos comprimentos devido à variedade de *off sets* de rodas disponíveis para o mercado agrícola, o que disponibiliza diversas bitolas para o cliente final. A figura 6.5.1 mostra um exemplo geral para encontrar o ângulo e a distância do Braço a Terra. Note que para encontrar o ângulo do pino mestre somente a geometria da ponte lateral do eixo é suficiente.



6.6. Ângulo de Convergência ($R\pm F$)

O ângulo de convergência também conhecido como o alinhamento das rodas, é o ângulo da roda com o eixo geométrico do veículo (visto em planta).

Ele é necessário para manter as rodas paralelas quando o veículo estiver em movimento. Ângulos de convergência exagerados resultam em desgastes irregulares dos pneus e provocam aumento de esforço para o sistema de direção, além de aumentar a resistência ao rolamento do veículo assim como ilustrado na figura 6.6.1.

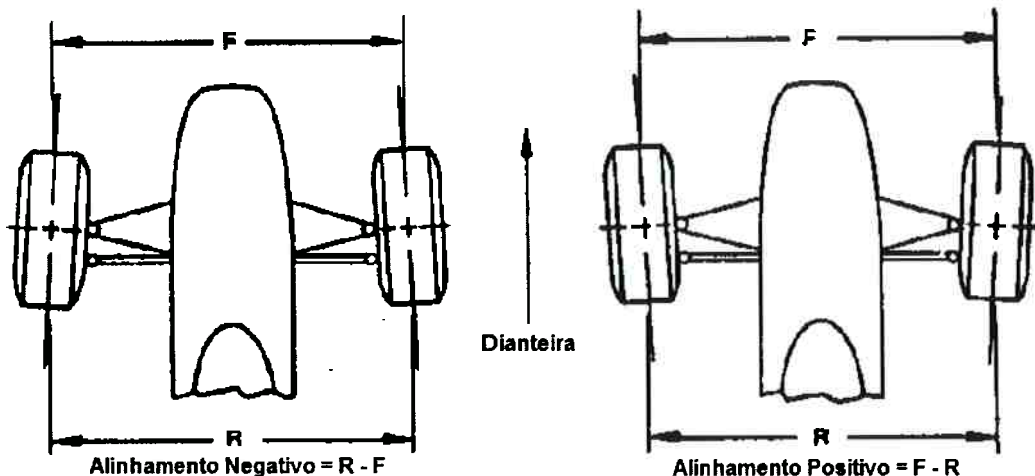


Figura 6.6.1 – Ilustração das possibilidades de alinhamento do veículo.

6.7. Geometria de Ackerman

O termo geometria de Ackerman é freqüentemente utilizado para determinação do ângulo de esterçamento maior da roda interna (δ_i) em relação a roda externa (δ_o). Os desvios que o sistema pode apresentar em relação à geometria de Ackerman têm influência significativa no desgaste dos pneus dianteiros, mas não influenciarão a resposta direcional do veículo. Com a correta geometria de Ackerman os torques do sistema de direção tendem a crescer uniformemente com o ângulo de esterçamento, fornecendo desta forma, uma resposta adequada ao motorista. Se no outro extremo considerarmos as rodas descrevendo trajetórias paralelas, esse torque inicialmente cresce com o ângulo, mas em um determinado ponto, ele

diminui, podendo alcançar valores negativos, o que representaria um esterçamento mais brusco no meio da trajetória. Isso gera uma sensação inadequada para quem dirige o veículo.

Na figura 6.7.1 podemos observar o centro de curvatura considerando pequenas velocidades, ou seja, sem escorregamento entre pneus e solo. Na figura, L é o entre eixos do veículo, “ t ” é a bitola e R é o raio de curvatura da trajetória do ponto central do eixo traseiro.

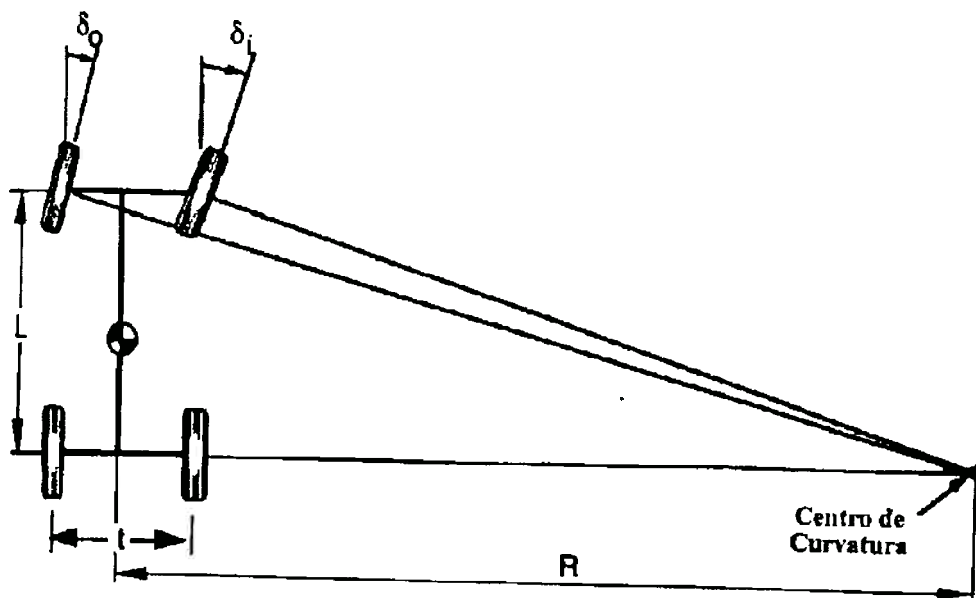


Figura 6.7.1 – Ilustração da geometria de Ackerman

7. Estudo técnico da solução

7.1. Viabilidade Física

Para todas as análises físicas será utilizado o modelo computacional criado no software *Pro-Engineer*.

Para um melhor entendimento do conceito do eixo, alguns desenhos serão apresentados nas figuras 7.1.1, 7.1.2, 7.1.3 e 7.1.4.

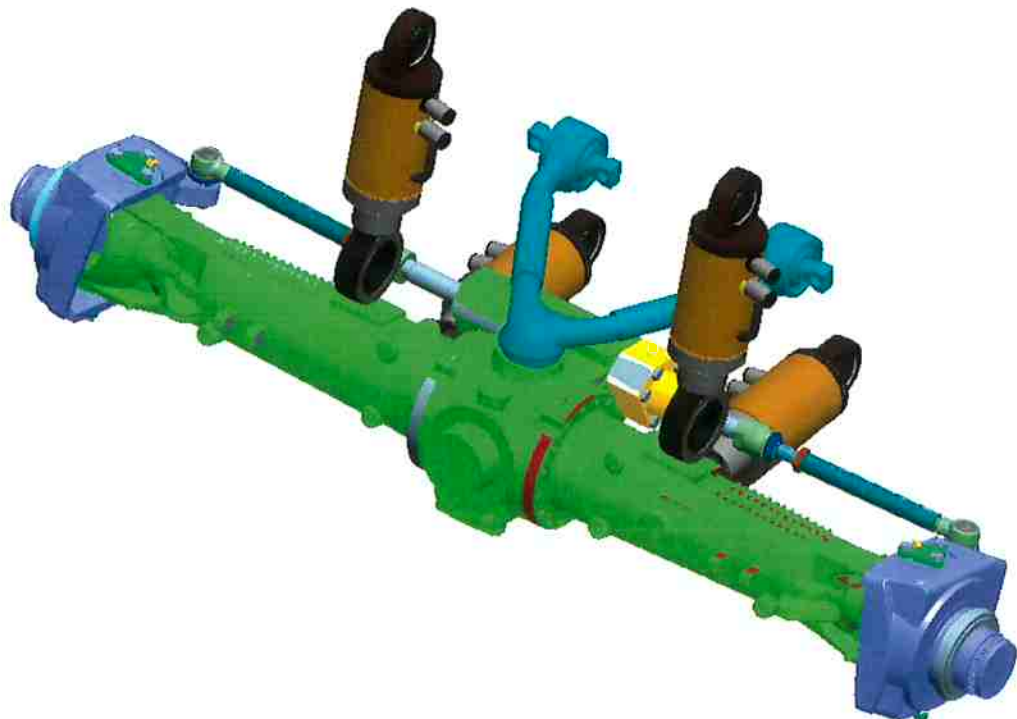


Figura 7.1.1 – Vista em 3 dimensões do eixo

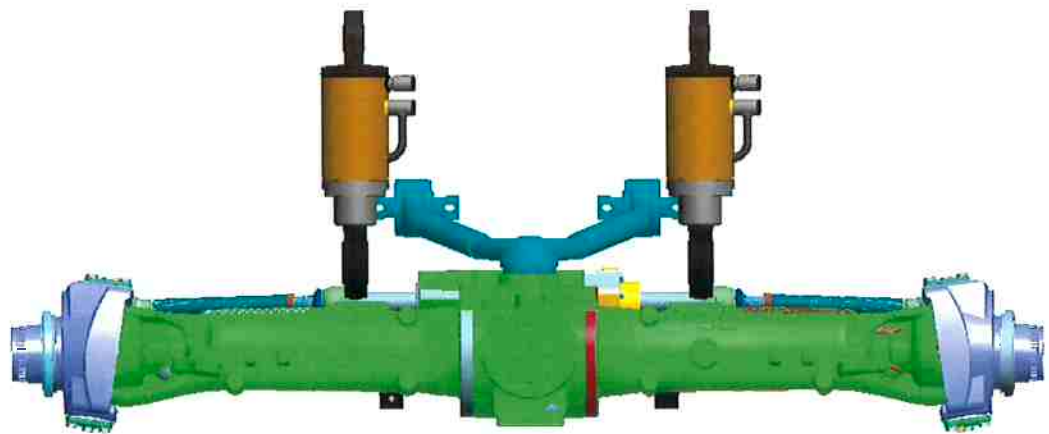


Figura 7.1.2 – Vista frontal do eixo

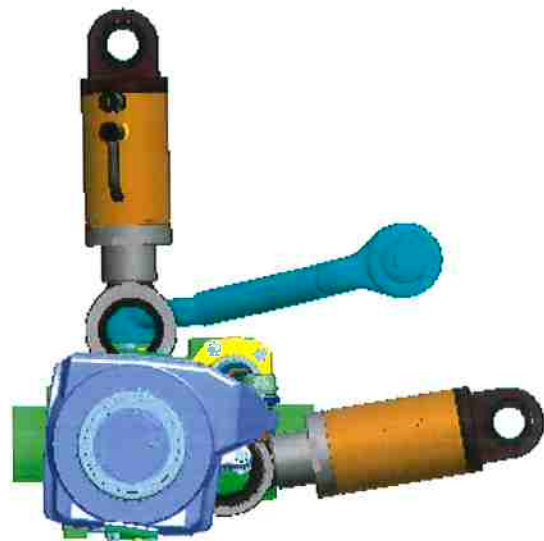


Figura 7.1.3 – Vista lateral do eixo

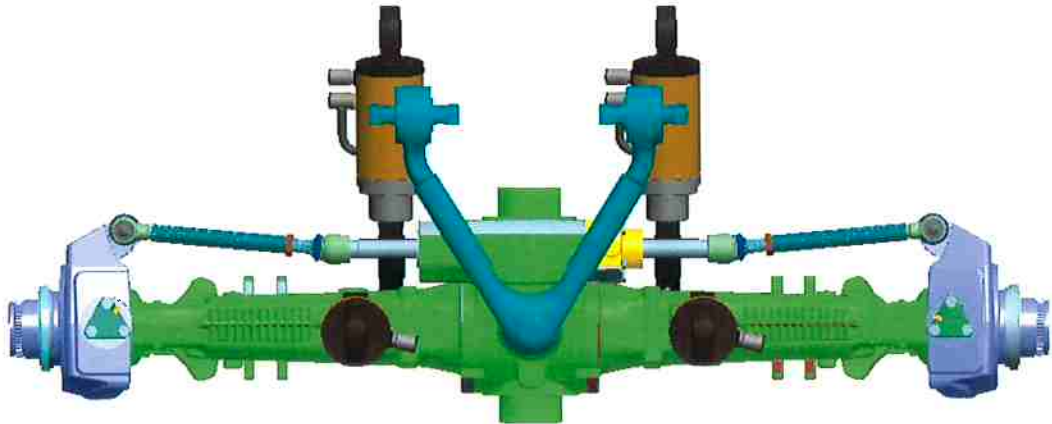


Figura 7.1.4 – Vista superior do eixo

Fisicamente é possível entender que a construção deste modelo é muito simples e não requer muitos componentes novos. Todo o modelo é baseado em um eixo de série hoje fornecido para as principais montadoras. No entanto, a análise dos ângulos principais em um modelo de eixo, tais como Cáster, Câmara, erro de Ackerman devem ser estudados, pois anteriormente esses ângulos eram fixos devido à fixação do eixo. No modelo oscilante, juntamente com esses ângulos, temos também as limitações das juntas, que podem ocasionar falhas no componente. Por isso essa atenção especial é necessária, principalmente no “V” Link.

A carcaça central do modelo deverá ter um novo ponto de fixação, ponto este localizado exatamente no centro do eixo, evitando deslocamentos indesejados quando o eixo girar em torno deste ponto. Esse conceito é muito utilizado em transportes, como por exemplo, as carretas, Bi-Trens, Rodo-Trens, etc. Tomando outro exemplo mais antigo, podemos citar as carroças, que tinham esse sistema de direção muito conhecida como esterçamento por “5^a roda”, onde todo o conjunto do eixo é direcional. O que é importante é a confiabilidade deste sistema.

Para as pontes laterais serão disponibilizados quatro novos pontos de fixação, dois para os cilindros de suspensão e outros dois para os cilindros de Sobre-Esterçamento.

A nova proposta prevê dois cilindros hidráulicos adicionais capazes de serem gerenciados eletronicamente. Muitas máquinas já são equipadas com esses cilindros, conforme visto anteriormente. Usaremos modelos convencionais para que o custo seja o menor possível. Ainda com as peças novas, também utilizaremos uma barra de fixação conhecida no mercado como “V-Link”, fornecida atualmente para veículos comerciais. Um dos fornecedores deste componente é uma das divisões da empresa ZF, a Lemförder.

Embora o conceito do eixo imponha uma restrição perante aos tamanhos dos braços de articulação (isso se deve aos diferentes tipos de interface com o veículo), ou seja, sabemos que estes braços sempre poderão variar de acordo com a necessidade do cliente. Neste sentido, temos que deixar esse estudo previamente realizado. A maneira que será estudada é com referência ao ângulo de Cáster.

É possível prever sem muitos estudos, que se temos dois pontos de articulação, com diferentes tamanhos, estes vão percorrer trajetórias distintas entre si. Na vista lateral do eixo, ver na figura 7.1.5, fica fácil de interpretar que o ângulo que será variado devido a essa condição de projeto é o Cáster:

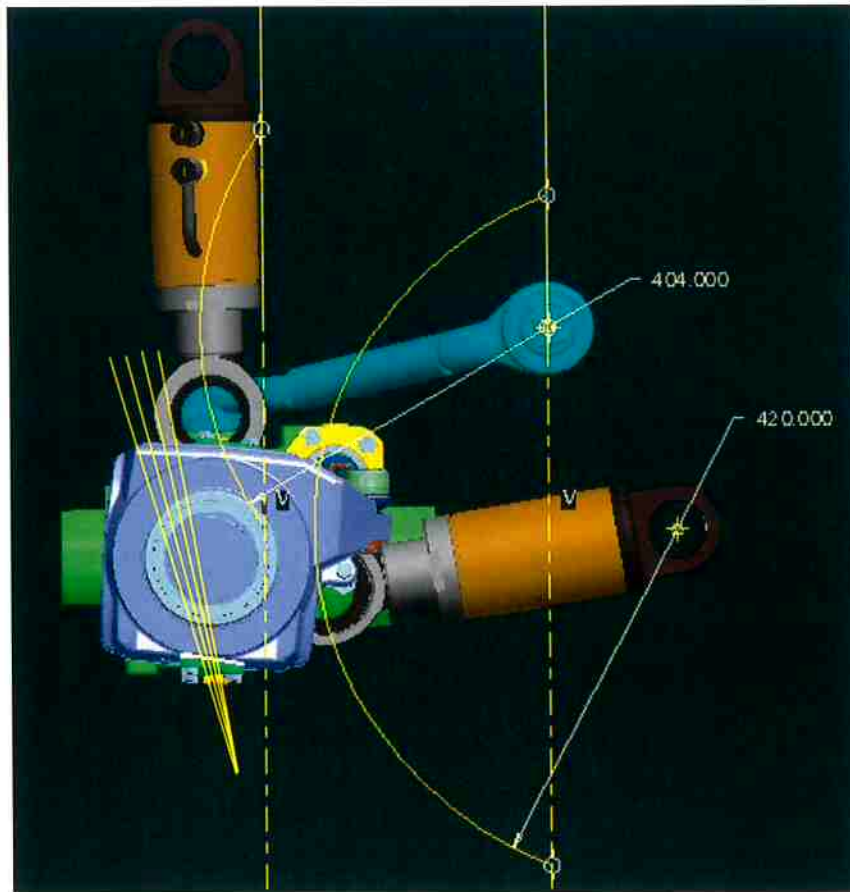


Figura 7.1.5 – Exemplo de um tipo de fixação para o eixo.

Assim podemos entender que os raios descritos nos dois pontos de fixação serão diferentes, sendo cada caso, um caso particular. E para cada um desses casos, teremos um comportamento diferente para o ângulo de Cáster. O ângulo de Cáster deixa de ser uma constante, como deveria ser ou, pelo menos, como é em todos os modelos hoje conhecidos.

8. Resultados do modelo computacional

Para a análise cinemática foi desenvolvido um modelo computacional. Entre os resultados mais esperados do modelo, temos o efeito do Super-Steer. Sabemos que todo o estudo se baseia em uma nova proposta de eixo, que deve ser, acima de tudo, funcional. Para que possa ser demonstrado o comportamento do eixo com o novo sistema de direção, comparamos o eixo sem o efeito Super-Steer (como é vendido hoje) com o Super-Steer incorporado.

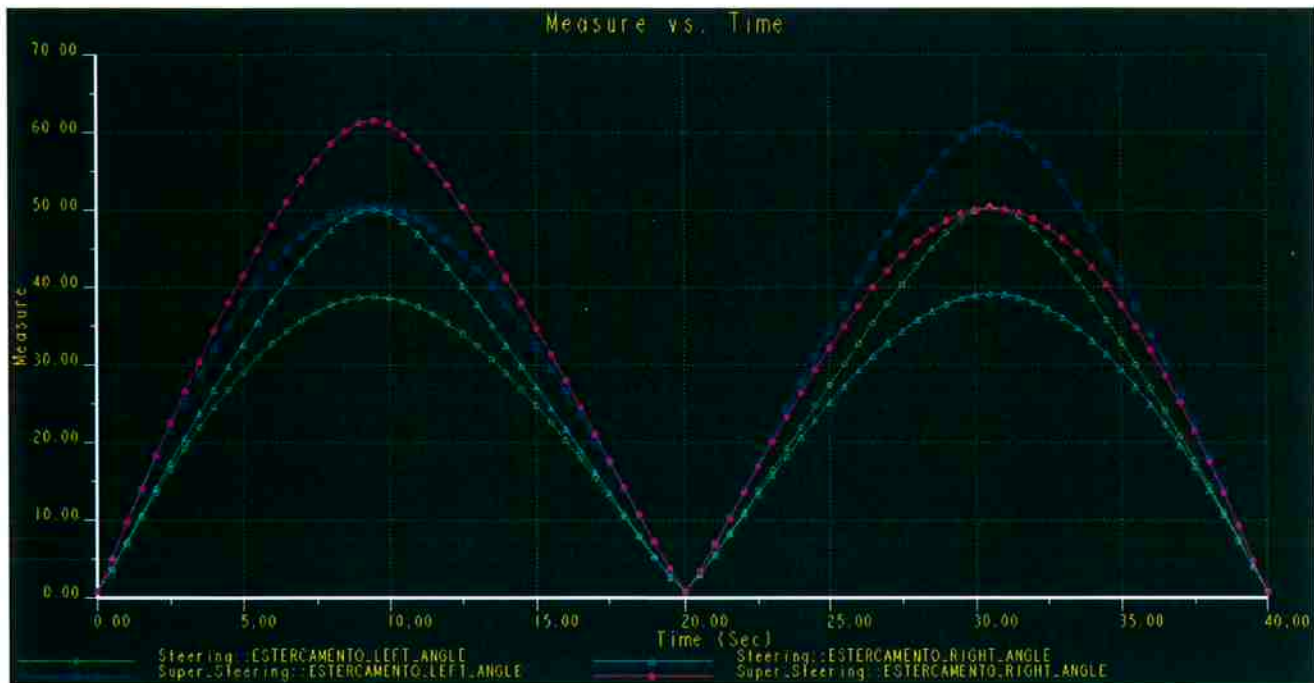


Figura 8.1 – Comparação dos dois tipos de sistema de esterçamento das rodas.

Pode-se verificar na figura 8.1 que o erro de esterçamento não é influenciado quando passamos a atuar com o sistema Sobre-Esterçamento (5^a roda). Basta compararmos as diferenças entre os picos dos dois sistemas direcionais. Sabe-se que o erro de esterçamento (Geometria de Ackerman) é uma consequência da geometria das pontas de eixo, o que não foi

alterado com o novo sistema de direção. Isso mostra que o modelo computacional não contém erros grosseiros. Essa situação favorece a continuação dos estudos do eixo.

A figura 8.2 mostra claramente a variação desfavorável do ângulo de Cáster, onde pode-se observar dentro de uma oscilação do eixo, como se comporta o ângulo de Cáster em relação ao deslocamento do “V” Link (em graus).

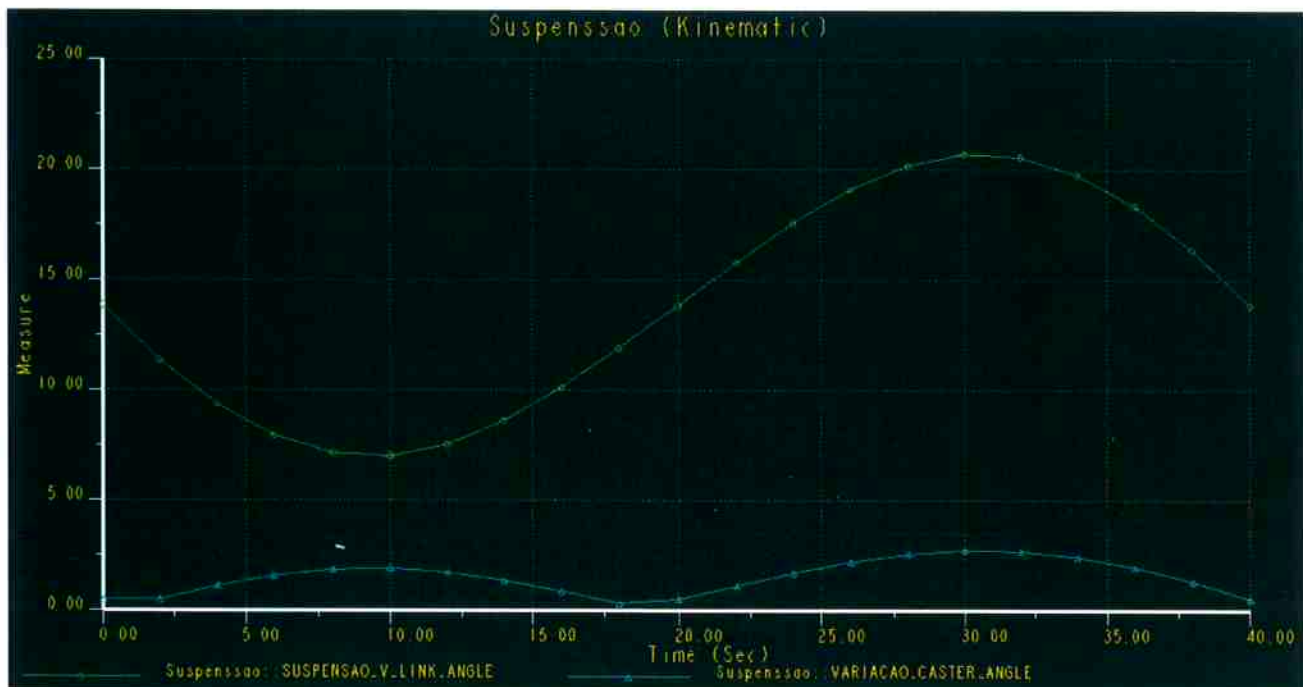


Figura 8.2 – Ilustração da variação do ângulo de Cáster em função do deslocamento do “V” Link, que inicialmente está com 13,85° neste caso.

Dentro desse panorama desfavorável, temos que considerar que o comprimento do braço inferior terá que variar de acordo com o deslocamento do eixo na direção Y, ou seja, sempre que o eixo estiver trabalhando em uma oscilação, o braço inferior deverá variar para compensar a diferença de tamanhos entre os dois braços, mantendo assim o ângulo de Cáster constante durante uma oscilação.

Mais uma análise que é necessária para o bom funcionamento do eixo é com relação aos ângulos permitidos para as articulações. Temos a restrição de 15° para cada uma das

articulações. Para esse estudo a Figura 8.3 esclarece que as juntas ainda estarão trabalhando dentro do que é permitido. Outro ponto citado é com referência ao “V” Link.

Hoje os eixos já dispõem de um sistema de batente de oscilação, o que protegeria o “V” Link. Para todos os efeitos de segurança desse importante elemento do eixo, temos ainda uma outra proteção para excesso de deslocamento deste ponto, que são os dois cilindros responsáveis pela suspensão do conjunto. Eles podem ser programados para implementar um batente hidráulico.

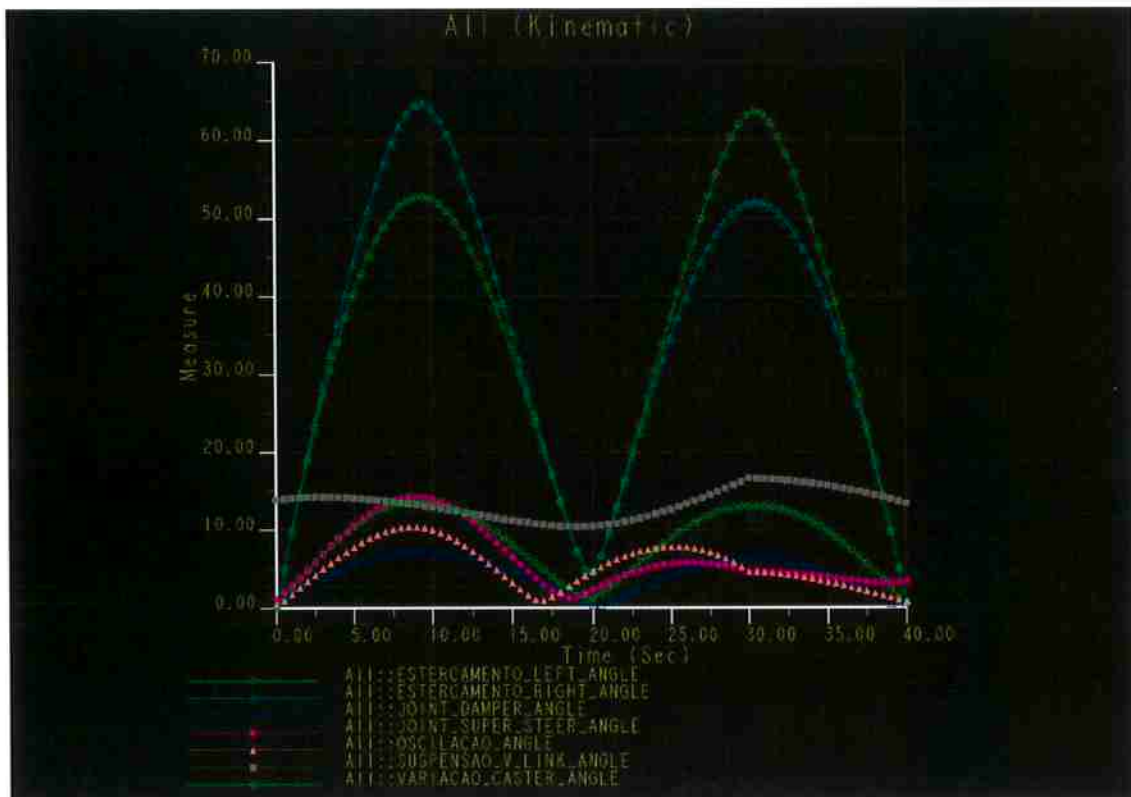


Figura 8.3 – Ilustração da pior condição para as juntas esféricas.

Com a interpretação desta figura, podemos concluir que mesmo na condição em que existem mais deslocamentos para os pontos fixados em juntas esféricas, estamos dentro da tolerância de trabalho, tendo em vista que o maior deslocamento atingiu 13° na junta do cilindro do sistema de Sobre-Esterçamento.

Para melhor compreensão do gráfico acima, foi feita uma análise separada para cada situação do eixo, ou seja, vamos analisar cada movimento do eixo e sua consequência para as juntas.

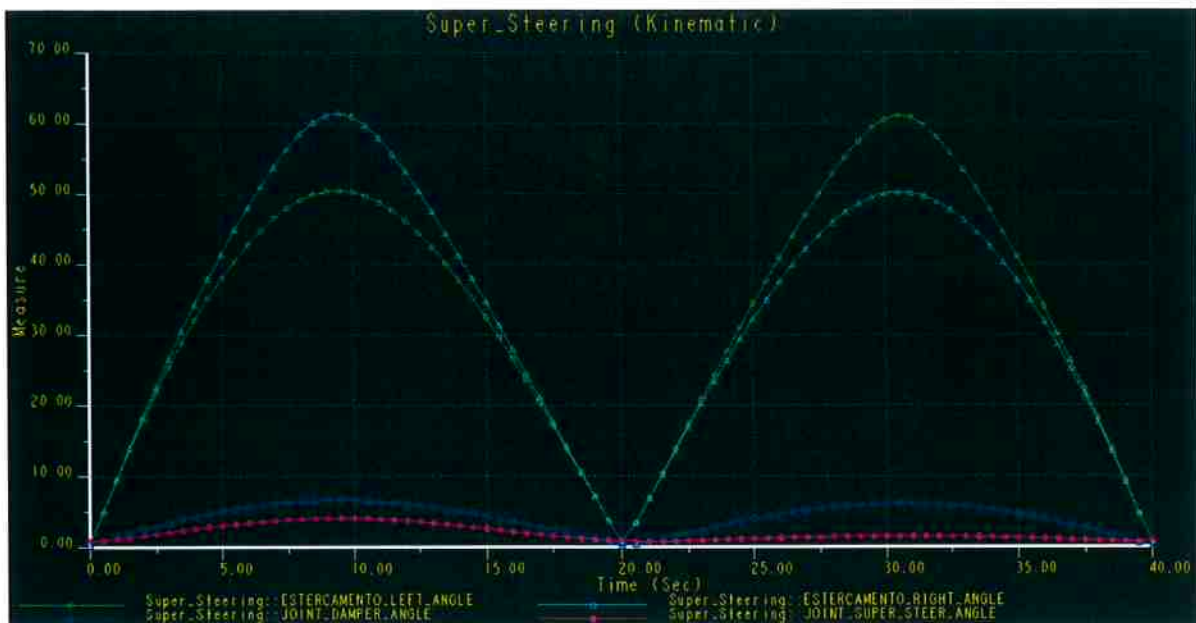
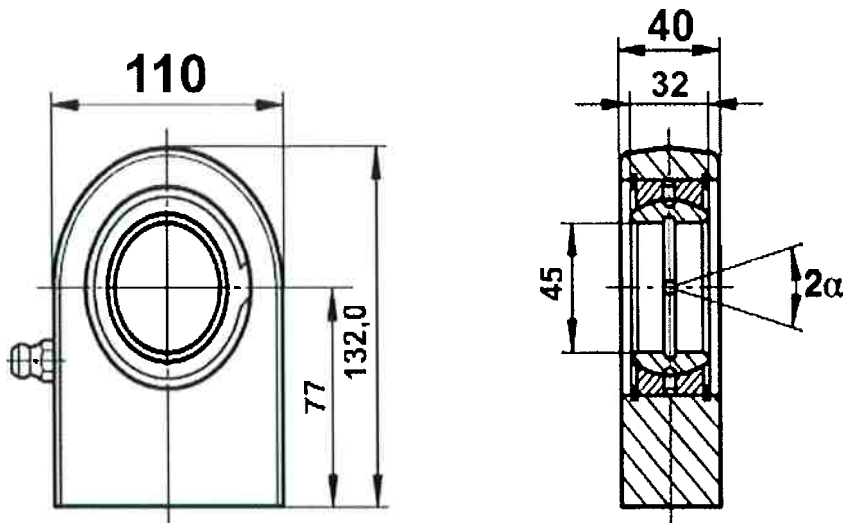


Figura 8.4 – Ilustração do Sobre-Esterçamento X juntas esféricas.

Um desenho com as principais características técnicas das juntas esféricas, pode ser encontrado na figura 8.5. Neste estudo não abordaremos as forças envolvidas no projeto, mas as informações necessárias para o cálculo da junta encontra-se disponível no desenho que foi retirado da Internet no endereço www.fluro.de.



FLURO-No. FS45N

Carga estática C _e kN	Carga dinâmica C kN	Angulo de Pivotamento α
380,0	127	7

Figura 8.5 – Informações técnicas das juntas esféricas utilizadas com as suas limitações de ângulos e cargas.

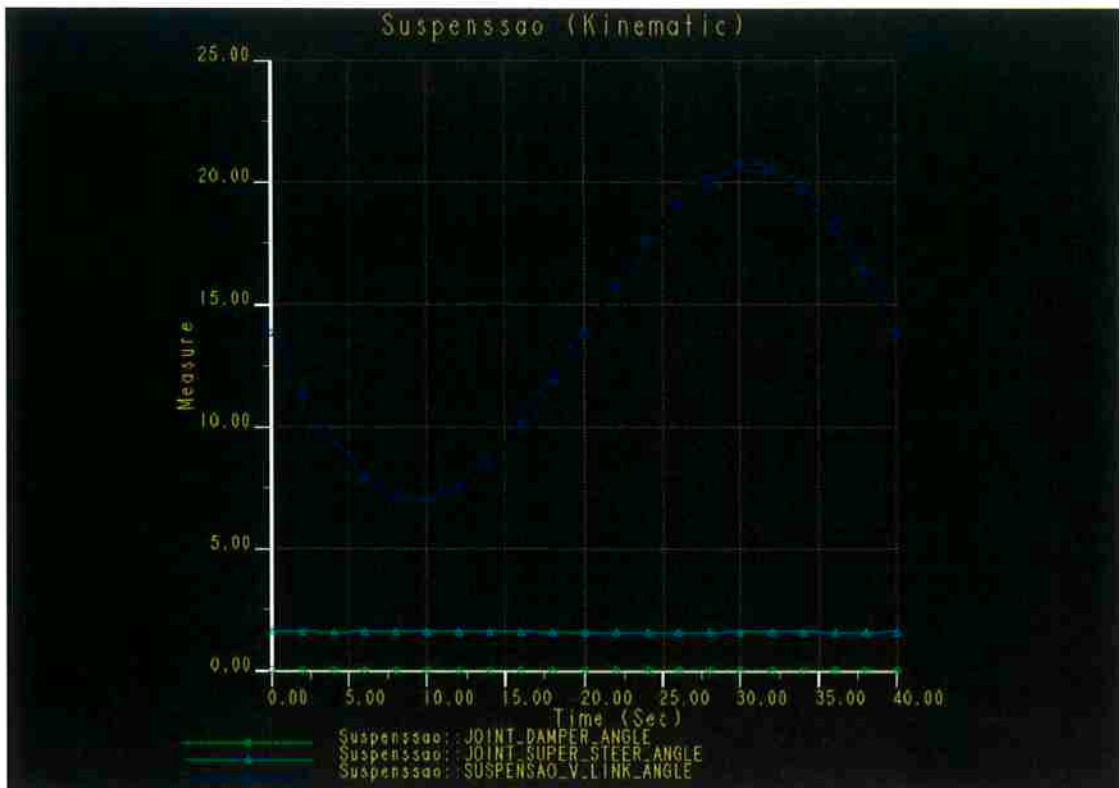


Figura 8.6 – Ilustração da suspensão do eixo (somente o V Link Trabalhando) e a consequência para as juntas esféricas.

Existe uma junta diferente das demais que é exatamente a que está fazendo o papel de 5ª roda para o eixo. Esta que está na ponta do V Link e conectada no eixo, também tem restrição quanto a movimento. Na figura 8.6 podemos constatar que esta junta (representada na figura 8.7) também trabalha dentro do aceitável que é de 13°.

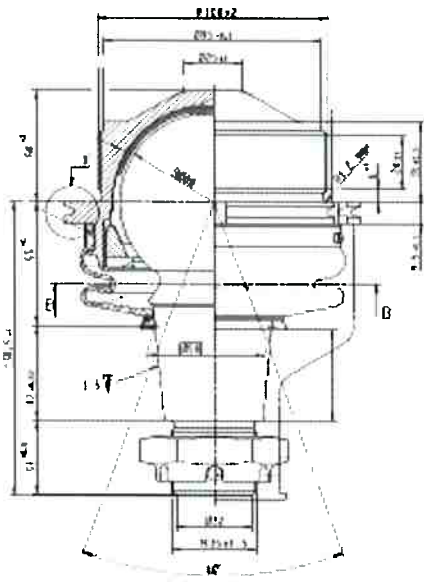


Figura 8.7 – Junta esférica da ponta do “V” Link

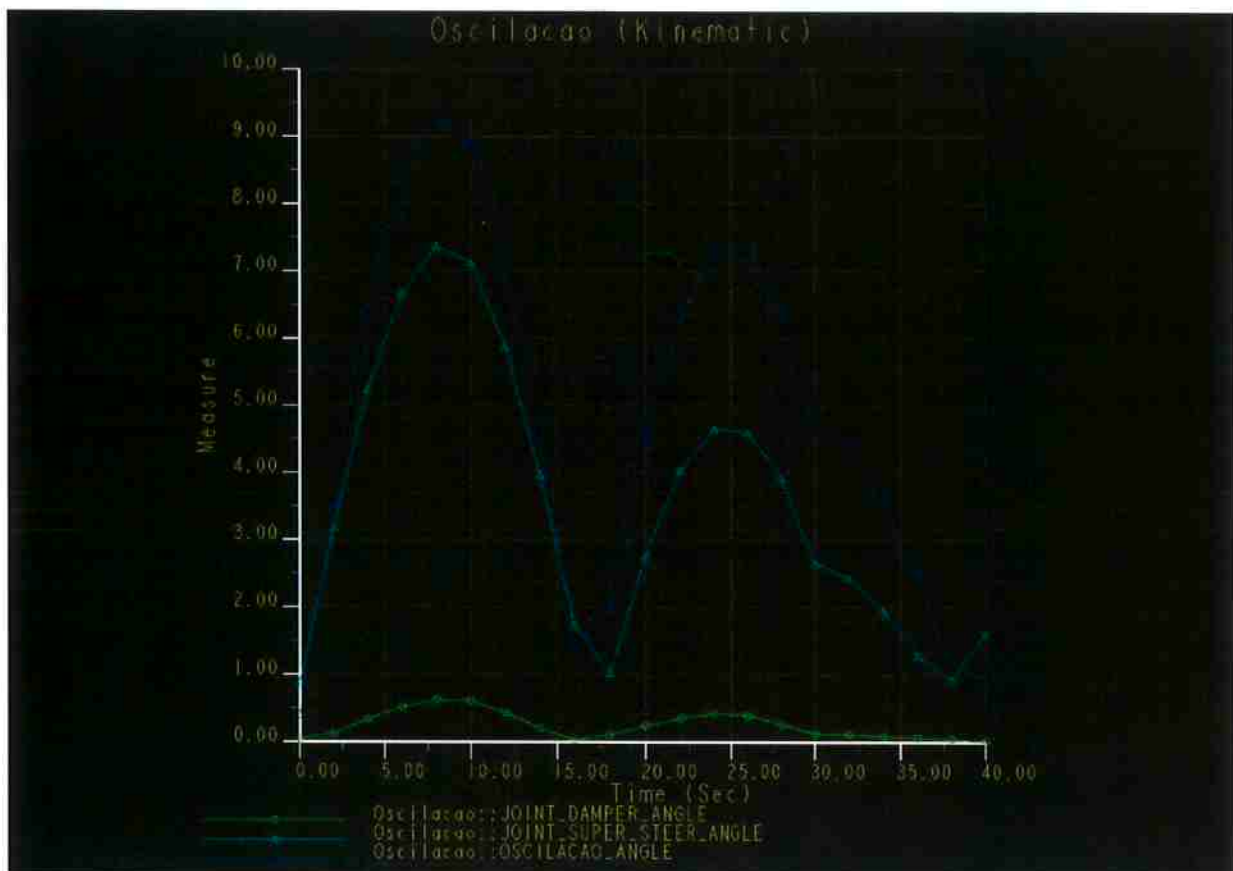


Figura 8.8 – Ilustração de uma oscilação do eixo e a consequência para as juntas esféricas.

9. Estudo das forças atuantes nos cilindros hidráulicos

Utilizando um processador de elementos finitos, foi feito uma análise preliminar das forças atuantes nos cilindros hidráulicos e no “V”-Link. Com esse modelo pode ser feita a seleção do cilindro e do “V”-Link necessários para as cargas aplicadas nos mesmos.

Para que isso se tornasse possível, um modelo correto quanto a geometria foi desenvolvido. O modelo simplificado é composto por elementos de vigas, e apenas os esforços em cada elemento tem interesse. Este capítulo servirá de base para um estudo de como o modelo está desenvolvido dentro do software, ou seja, poderemos fazer verificações dos dados de entrada e saída do *solver* comparando com os dados esperados.

Os anexos F, G e H estão as matrizes que ilustram o comportamento do eixo nas condições cinemáticas extremas (batente de suspensão superior, sobre-esterçamento e oscilação). O modelo de elementos finitos é uma linearização de uma estrutura que é não linear do ponto de vista geométrico.

Praticamente as forças verticais serão absorvidas pelos dois cilindros de amortecimento, ficando simples escolher o cilindro mais adequado. As cargas (peso bruto do trator) podem variar de acordo com a máquina bem como os cilindros. As forças horizontais (provenientes das rodas em contato com o solo) serão absorvidas em sua maioria pelos cilindros auxiliares de direção, sendo que parte dela será aplicada no “V”-Link. A figura 9.1 demonstra uma situação de carregamento na direção Y, onde todas as cargas tem valores iguais e estão aplicadas em distâncias iguais do centro do eixo. A figura 9.2 demonstra os esforços laterais que serão absorvidos, em sua maioria, pelo V-Link. Na figura 9.3 os esforços estão na direção Z, igualmente distribuídas e com mesma intensidade.

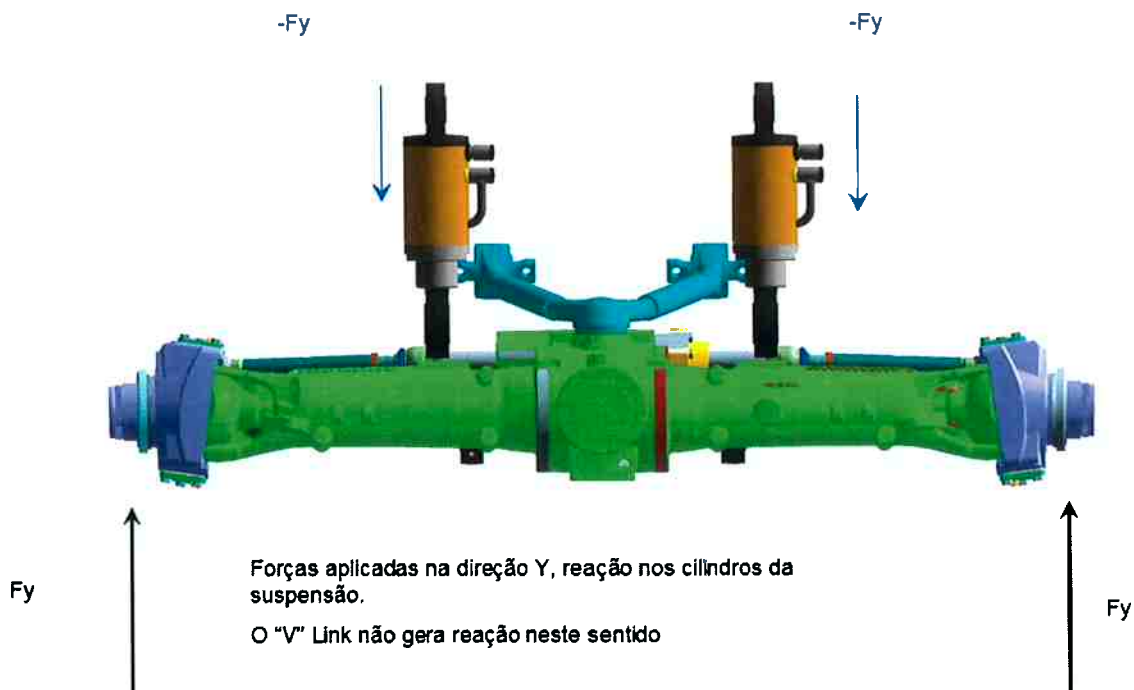


Figura 9.1 – Demonstração das cargas na direção Y

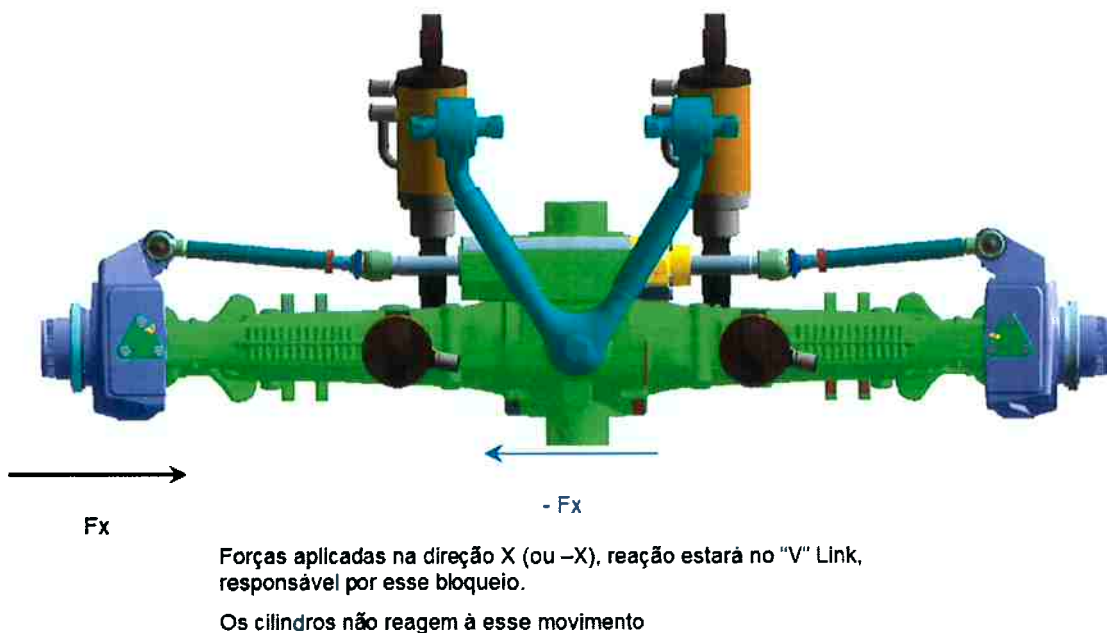


Figura 9.2 – Demonstração das cargas na direção X

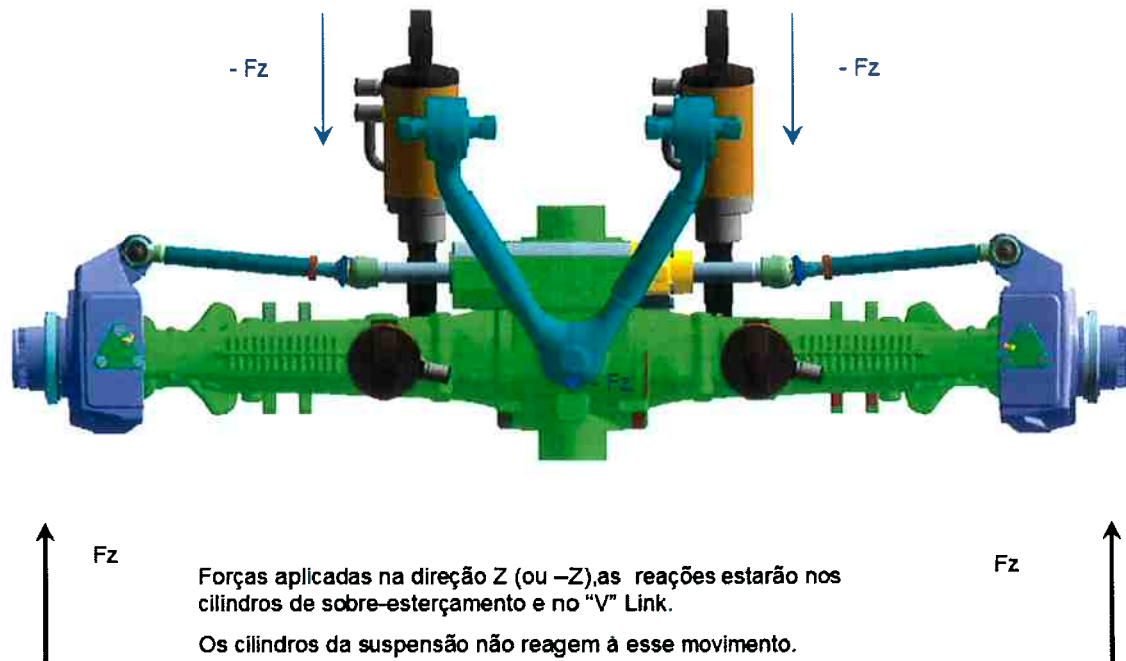


Figura 9.3 – Demonstração das cargas na direção Z

Estruturalmente, todas as peças que são utilizadas neste eixo suspenso são hoje aplicadas em eixos oscilantes, ou seja, pode-se garantir (por meios de testes e análises feitas no passado) que o eixo é capaz de suportar as novas cargas a ele designada. Algumas ilustrações do trabalho realizado anteriormente (na fase de desenvolvimento do eixo) estão apresentadas nas figuras 9.4. e 9.5.

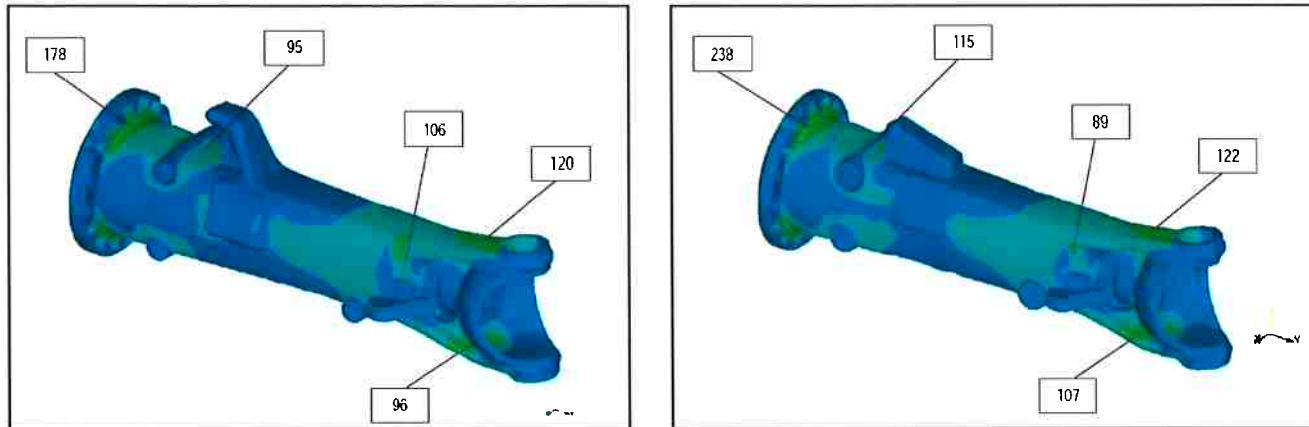


Figura 9.4 e 9.5 – Ilustram os estudos de Elementos Finitos realizados.

Um estudo feito pela ZFF prova que os eixos suspensos podem ter a sua massa reduzida, pois a energia que seria dissipada em impactos anteriormente pela estrutura, agora terá dois amortecedores que irão dissipar parte desta energia. [Gefederte Schleppvorderachse APL 2000, ZFP, 1992]. Todo o estudo é baseado em vibrações coletadas em veículos de teste e os resultados demonstram que é possível reduzir massa na ordem de 15% das pontes laterais.

10. Viabilidade de controle do eixo

Nessa etapa do projeto temos o objetivo de assegurar o controle do eixo. Como temos uma variável que não pode ser diretamente mensurada, temos que, por meio de um estudo de observabilidade e controlabilidade, garantir que esse mecanismo possa ser controlado.

10.1. Princípios de sistemas de controle

A idéia do sistema de controle é, por meio de um atuador (onde este pode ser mecânico, eletrônico, pneumático, etc.), intervir na resposta natural de um sistema. Ou seja, sua resposta será manipulada.

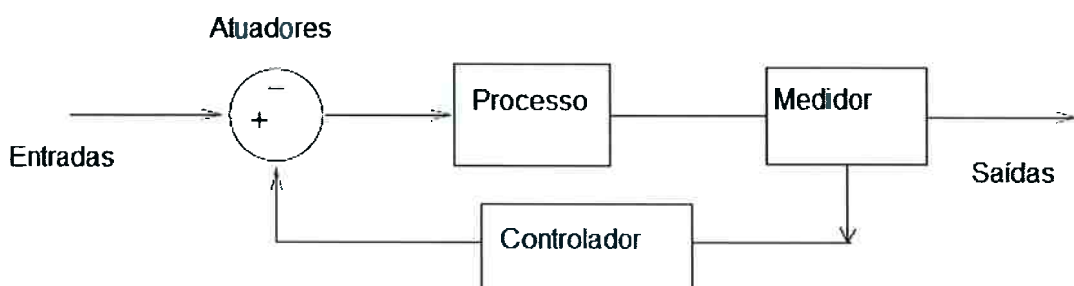


Figura 10.1.1 – Ilustração de controle automático a realimentação

10.2. Teste de controlabilidade de um sistema

Um sistema é dito controlável se for possível transferir o sistema de um estado arbitrário para outro estado desejado e arbitrário em período de tempo finito.

Considere o sistema descrito por:

$$x(k+1) = Gx(k) + Hu(k) \quad (10.2.1)$$

Onde assume-se que o controle é constante por trechos.

O sistema discreto no tempo é considerado controlável se existe uma história de controle $u(k)$ com um número finito de intervalos tal que o estado inicial $x(0)$ pode ser transferido para o estado final desejado x_f em no máximo 'n' períodos. No n-ésimo instante de tempo temos:

$$x(n) - G^n x(0) = [H \ G H \ \dots \ G^{n-1} H] \begin{bmatrix} u(n-1) \\ u(n-2) \\ \vdots \\ u(0) \end{bmatrix} \quad (10.2.2)$$

Pelo teorema de Cayley-Hamilton não adianta aumentar o número de intervalos de tempo além de n, pois G^n não irá aumentar o posto da matriz entre colchetes, doravante denominada matriz de controlabilidade.

Se o posto da matriz de controlabilidade for completo, então o sistema é dito controlável. Existem outros critérios para verificar a controlabilidade de um sistema numericamente mais estáveis.

10.3. Teste de observabilidade de um sistema

Considere um sistema não forçado descrito por:

$$x(k+1) = Gx(k) \quad (10.3.1)$$

$$y(k) = Cx(k)$$

O sistema é dito observável se o vetor estado inicial $x(0)$ for determinável a partir de um vetor de observação de $y(k)$ em tempo finito de intervalos. Vamos observar os primeiros n valores de $y(k)$.

$$\begin{aligned} y(0) &= Cx(0) \\ y(1) &= CGx(0) \\ \vdots &\quad \vdots \quad \vdots \\ y(n-1) &= CG^{n-1}x(0) \end{aligned} \tag{10.3.2}$$

As equações 10.3.2 podem ser agrupadas

$$\left\{ \begin{array}{c} y(0) \\ \vdots \\ y(n-1) \end{array} \right\} = \left[\begin{array}{c} C \\ CG \\ \vdots \\ CG^{n-1} \end{array} \right] \tag{10.3.3}$$

Para que o estado inicial seja determinável, é necessário que a matriz da equação (10.3.3) tenha posto completo.

$$O = \left[\begin{array}{c} C \\ CG \\ \vdots \\ CG^{n-1} \end{array} \right] \tag{10.3.4}$$

Pelo teorema de Cayley-Hamilton não adianta estender o número de observações por que G^n não irá alterar o posto da matriz de observabilidade. Define-se a matriz da equação 10.3.3 como matriz de observabilidade e o sistema será observável se ela tiver posto completo.

A partir do modelo de elementos finitos, equação 10.3.5

$$\dot{\mathbf{M}\ddot{\mathbf{d}}} + \mathbf{Kd} = \mathbf{f} \quad (10.3.5)$$

Pode-se determinar as matrizes A e B do sistema de controle. Inicialmente isola-se o vetor de acelerações conforme a equação 10.3.6

$$\ddot{\mathbf{d}} = -\mathbf{M}^{-1} \mathbf{K} \mathbf{d} + \mathbf{M}^{-1} \mathbf{f} \quad (10.3.6)$$

A seguir defini-se o vetor estado:

$$\mathbf{x} = \begin{Bmatrix} \mathbf{d} \\ \dot{\mathbf{d}} \end{Bmatrix}_{12 \times 1} \quad (10.1.7)$$

O sistema pode ser representado no espaço dos estados conforme a equação 10.3.8. E de forma mais compacta conforme a equação 10.3.9.

$$\begin{Bmatrix} \dot{\mathbf{d}} \\ \ddot{\mathbf{d}} \end{Bmatrix} = \begin{bmatrix} 0 & \mathbf{I} \\ -\mathbf{M}^{-1} \mathbf{K} & 0 \end{bmatrix} \begin{Bmatrix} \mathbf{d} \\ \dot{\mathbf{d}} \end{Bmatrix} + \begin{bmatrix} 0 \\ \mathbf{M}^{-1} \end{bmatrix} \mathbf{f} \quad (10.3.8)$$

$$\dot{\mathbf{x}} = \mathbf{Ax} + \mathbf{Bf}_{4 \times 1} \quad (10.3.9)$$

O sistema de coeficientes constantes, para o qual a matriz A tem autovalores distintos, é completamente observável se, e somente se, não há colunas nulas na matriz $\mathbf{Cn} = \mathbf{C}^* \mathbf{M}$, onde M é a matriz de autovetores de A. [Brogan, W] Anexo M. Os resultados podem ser encontrados no anexo N.

10.4. Sistema de controle para o eixo

Depois de assegurar que o ângulo de Cáster é realmente observável e controlável, é que será definida a estratégia de controle para o eixo. A teoria de controle assegura a existência de estratégia de controle conforme a equação 10.3.9.

Um modelo de vigas de elementos finitos foi desenvolvido, para que fossem geradas as matrizes de controlabilidade e observabilidade do sistema proposto. [Anexos I, J, K]

O sistema de coeficientes constantes, para o qual a matriz A tem autovalores distintos, é completamente controlável se e somente se não há linhas nulas em $B_n = \text{inv}(M)^*B$, onde M é a matriz modal de A. Essa rotina está calculada no anexo L.

As matrizes de análise para os três modelos propostos encontram-se nos anexos F, G e H. Respectivamente simulando batente de suspensão; sobre-esterçamento; oscilação.

A patente ainda visa um controle variável de ângulo de Cáster. Esse efeito foi acrescentado no controle do eixo devido a um simples fator: o veículo tem duas funções bastante distintas - o trabalho; e o deslocamento até o trabalho. Com a possibilidade de variar o ângulo de Cáster, podemos otimizar o ângulo de Cáster para cada função. Sabemos que o ângulo de Cáster é o gerador do torque de auto alinhamento do veículo. Para o trabalho é interessante um ângulo de Cáster maior, o que manterá melhor o veículo na sua direção. Já para o deslocamento, podemos diminuir o ângulo para diminuir os esforços no sistema de direção.

11. Cilindros de suspensão com dupla ação

Esses cilindros são hoje fornecidos para as grandes montadoras, e em breve seu funcionamento será descrito.

Os cilindros são componentes que viabilizam o mecanismo. Estes possuem dupla atuação, ou seja, na compressão e na expansão. Possuem reservatórios de óleo que possibilitam prescindir as molas helicoidais ou de qualquer outro tipo. Esses reservatórios são colocados com gerenciadores para controle de fluxo, variando assim a ação dos cilindros.

O corpo de válvulas responsável pelo gerenciamento da ação dos cilindros de suspensão pode ser observado na figura 11.1.



Figura 11.1 – Corpo de válvulas para gerenciamento da suspensão.

O desenho de instalação dos cilindros hidráulicos utilizados no estudo, todos fornecidos pela Ognibene, também pode ser encontrado na figura 11.2 a seguir.

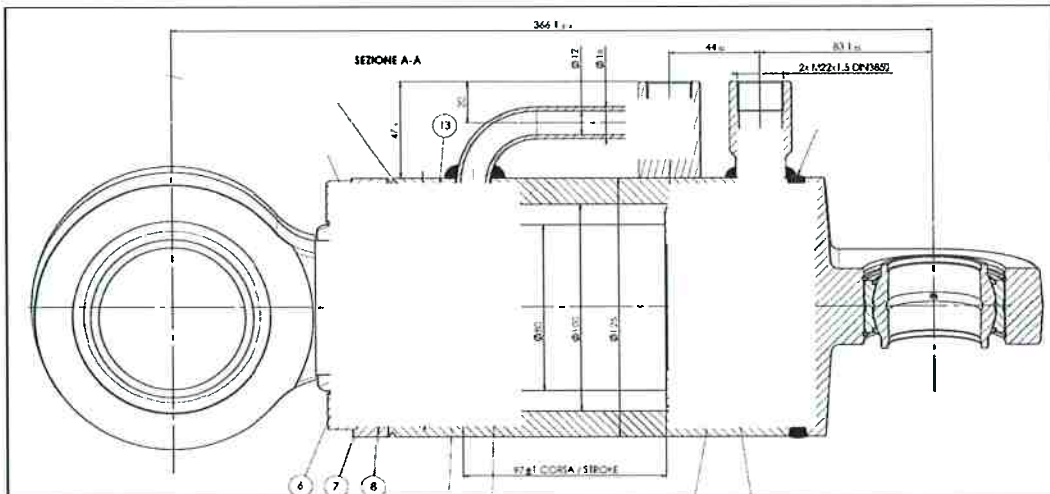


Figura 11.2 – Cilindro de dupla ação fornecidos pela Ognibene.

Um exemplo de como é instalado o cilindro que estamos descrevendo pode ser observado na figura 11.3, bem como um possível esquema hidráulico de sua instalação na figura 11.4.

Uma breve descrição de como pode trabalhar a suspensão: uma possível maneira de instalação para o eixo proposto, onde a bomba hidráulica (P) gera uma pressão para os cilindros de suspensão (CYL-L, CYL-R) e para os três acumuladores de pressão (ACC, ACCL e ACCR). As válvulas e também as válvulas de restrição (SVL, SVR, VM, WV e DIS) de fluxo estão todas montadas no bloco de válvulas ilustrado anteriormente. Os reservatórios de pressão trabalham como atuadores que determinam a constante da mola (sempre variável) e também o nível indicado para a suspensão. O sensor de posição (LS) registra o nível da suspensão, este está monitorado por um software, e será capaz de ajustar as válvulas para o controle do curso dos cilindros.



Figura 11.3 – Modelo de suspensão da Jonh Deere. Detalhes dos cilindros de suspensão com os acumuladores de pressão responsáveis pelo gerenciamento da suspensão.

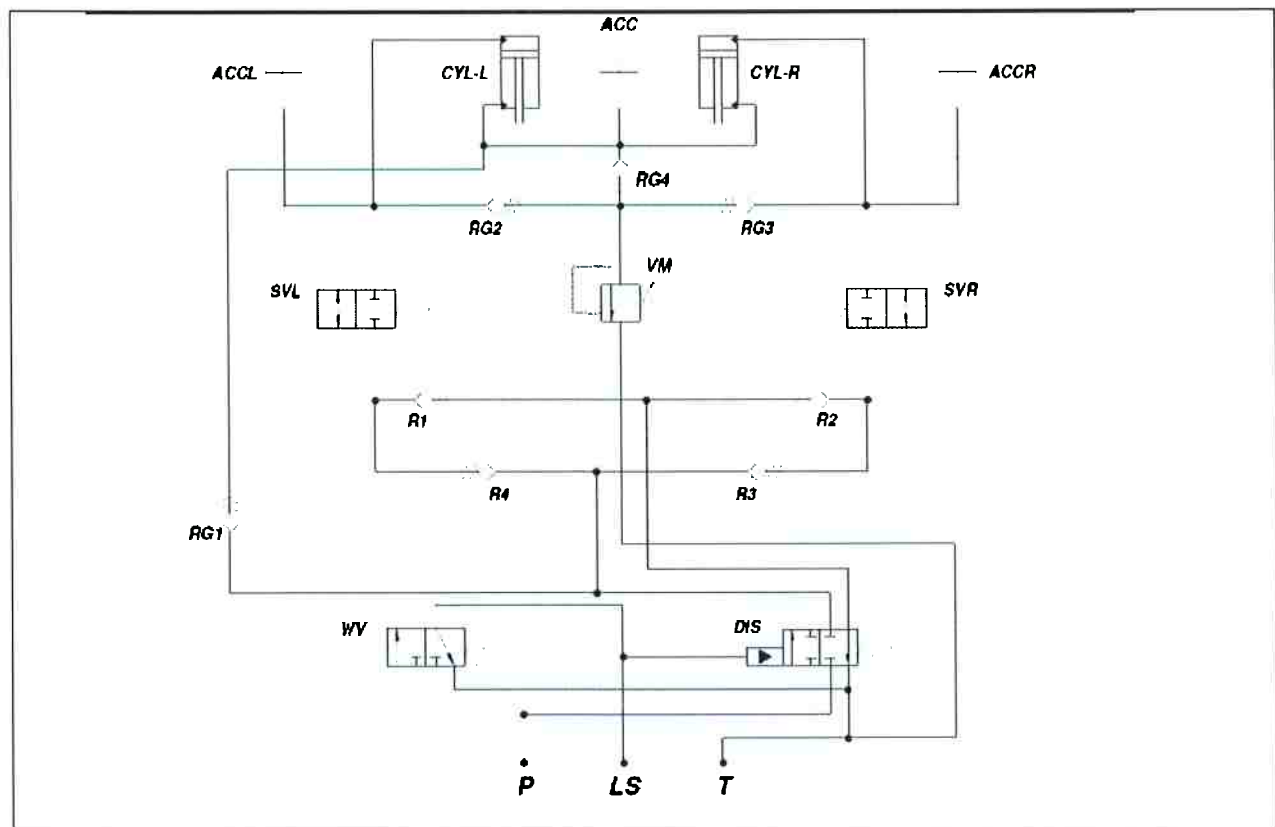


Figura 11.4 – Ilustração de um possível esquema hidráulico para o sistema

Um exemplo de gerenciamento de hidráulica, está representado na figura 11.5, utilizado em um eixo da Carraro.

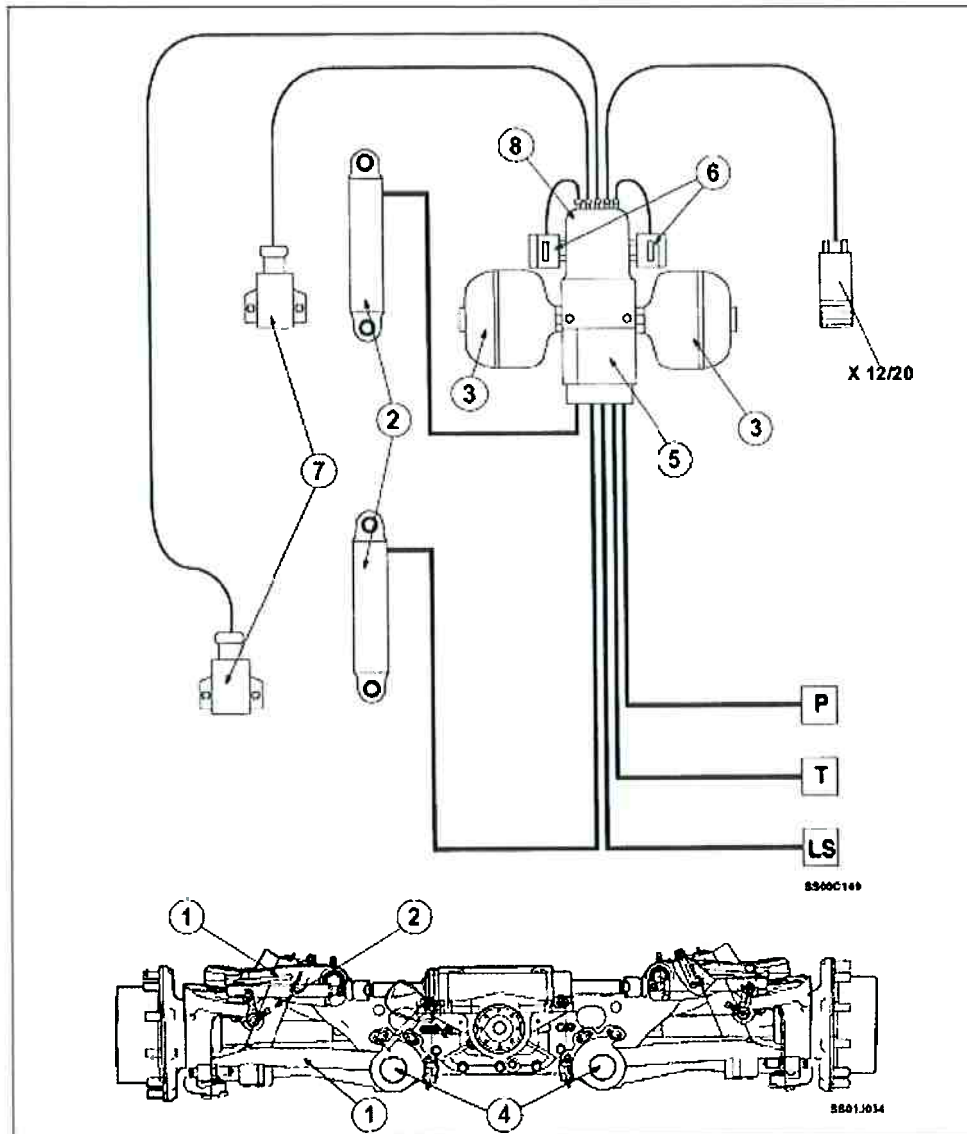


Figura 11.5 – Modelo extraído da Carraro

- | | |
|----------------------------|--------------------------------|
| 1- Braços de suspensão | 5- Comando hidráulico |
| 2- Cilindro Hidráulico | 6- Válvulas solenóide |
| 3- Reservatório hidráulico | 7- Sensor de ângulo de rotação |
| 4- Barras de torção | 8- Módulo eletrônico |

12. Proposta para redução de custos

Com um mercado tão competitivo, o conceito apresentado neste trabalho, pode se tornar algo que o mercado não esteja preparado para absorver diretamente. Pensando nisso, com a utilização dos mesmos componentes, pode-se oferecer o eixo suspenso sem o sistema de Super-Steer. Seria então ofertado um eixo sem os dois cilindros que atuam no sobreesterçamento. Juntamente com essa opção, pode-se ainda viabilizar o uso de cilindros de suspensão sem o gerenciamento eletrônico, isso tornaria o eixo menos oneroso para o consumidor final, tendo em vista que a parte eletrônica ainda é a mais cara da patente. Agora o ângulo de Cáster passa a ser constante.

Pode-se comparar com outras aplicações veiculares, que também trabalham exatamente desta forma, podemos citar o Jeep JPX, a Dodge Ram 1500 4x4, o Jeep Willis 4x4 e o Troller 4x4. Todos possuem fixação no eixo dianteiro com barras alocadas na parte inferior (cilindros no Super-Steer) e feixes de mola na parte superior (também usamos cilindros no eixo). Em nenhum desses exemplos, estão presentes barras para fixação do eixo no sentido longitudinal (como a Panhard, 4 points link ou mesmo o V link), diferentemente desta proposta que terá o V-Link para tal fixação.

Para ilustração, igualmente foi desenvolvido um modelo cinemático dentro do software para melhor entendimento do conceito proposto para redução de custos, veja as figuras 12.1 até 12.3.

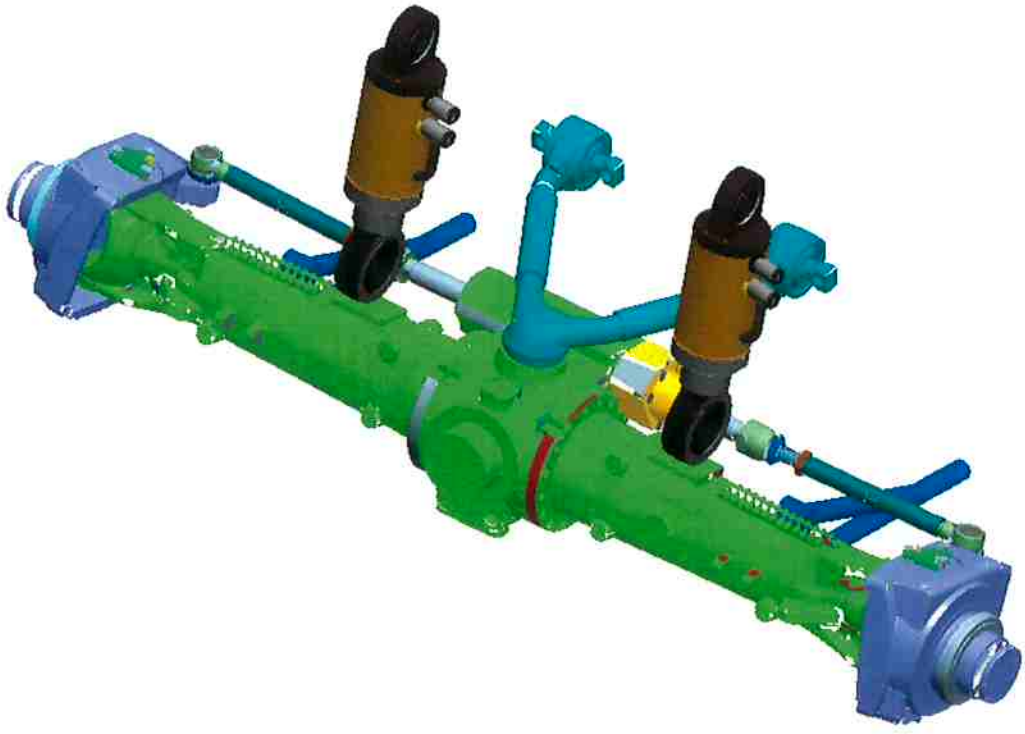


Figura 12.1 – Ilustração das novas barras de fixação traseira do eixo

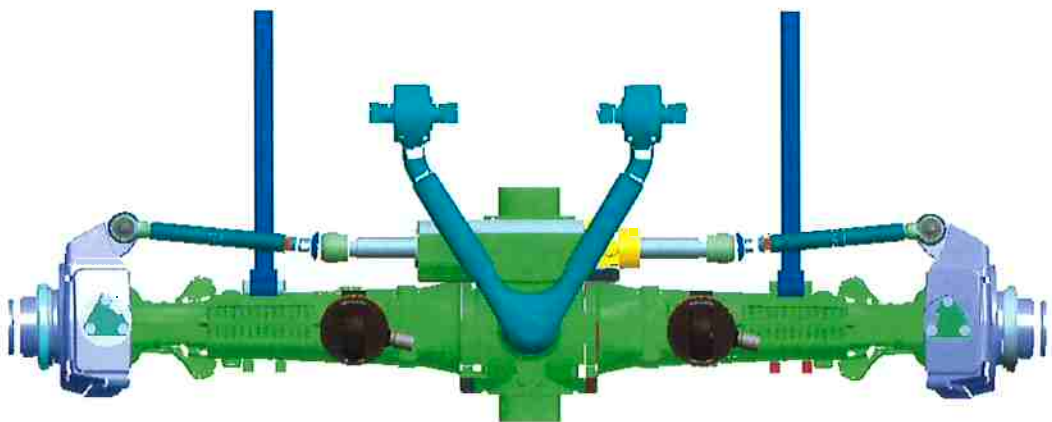


Figura 12.2 – Vista de topo do eixo suspenso sem sobre-esterçamento.



Figura 12.3 – Vista lateral do eixo sem sobre-esterçamento

Dos veículos citados como usuários desse tipo de fixação, alguns exemplos também podem ser encontrados posteriormente nas figuras 12.4 e 12.5.



Figura 12.4 – Veículo Willis montando o eixo dianteiro. Pode-se observar claramente as barras de ancoragem do eixo



Figura 12.5 – Fotos tiradas de um eixo dianteiro de Troller 4x4

Com toda a pesquisa feita em veículos normais de linha, podemos entender que esse tipo de suspensão é muito bem difundida e utilizada, mostrando que o eixo pode ser promissor no mercado que visa atender, desde de que com a redução de custo necessária.

13. Comentários Finais

Foi proposto um mecanismo de sobre-esterçamento de uma máquina agrícola. A viabilidade física do mecanismo de sobre-esterçamento foi verificada sob o ponto de vista cinemático, sob o ponto de vista de controlabilidade, sob o ponto de vista de observabilidade e as forças nos cilindros necessárias para resistir carregamentos preliminares, estando dentro de limites admissíveis dos cilindros comerciais. É necessário traçar a estratégia de controle para o eixo e suas atribuições específicas em estudos posteriores.

14. Referências:

Brasil. ANFAVEA. Anuário Estatístico da Indústria Automobilística Brasileira. São Paulo: Anfavea, 2006.

Brunstein, I. **Economia de Empresas**. São Paulo, Brasil – Editora Atlas S.A.:2005.

Castrucci, P. **Contrôle automático: teoria e projeto**. São Paulo, Brasil – Editora Edgard Blücher Ltda: 1969.

Brogan, W. **Modern Control Theory**. Eglewood Cliffs, New Jersey – Prentice Hall, 3rd Edition: 1991

Logan, D. L. **A fisrt course in the Finite Element Method 3rd edition**. Asia, Bangalore - Thomson books/cole, 2004.

Gillespie, T. D. **Fundamentals of vehicle dymamics** Ed. Society of automotive Engineers, Inc. – Warrendale PA, 1992.

Kaminski, C.P. **Desenvolvendo produtos com planejamento, criatividade e qualidade**. LTC Editora – Rio de Janeiro, RJ: 2000.

Madureira, O. M. de. **Projeto de Mecanismos**. São Paulo – Escola Politécnica, Universidade de São Paulo: 1975.

Puhn, F. **How to make your car handle**. Los Angeles – HP Books, California USA: 1981.

Wellstead, E.P.;Zarrop, B.M. **Self-tuning systems** – Baffins Lane, Chichester, England: 1991.

EUROPEAN PATENT SPECIFICATION. **A suspension system with an oscillating, rigid axle, particularly for tractors**. 99119479.6, 05 Setembro 2003.

EUROPEAN PATENT APPLICATION. **Compound steering mechanism**. 03016785.2, 10 março 2004.

EUROPEAN PATENT APPLICATION. **Oscillations stops for tractors with compound steering mechanism**. 93202935.8, 20 Outubro 1993.

EUROPEAN PATENT APPLICATION. **Compound steering mechanism with front mounted implement attachment apparatus**. 94201371.5, 16 Maio 1994.

EUROPEAN PATENT APPLICATION. Tie rod configuration for compound steering mechanism. 94201369.9, 16 Maio 1994.

UNITED STATES PATENT. Steering mechanism for tractors. 490245, 8 Março 1990.

UNITED STATES PATENT. Compound steering mechanism. 61470, 17 Maio 1993.

BOOK ANNOUNCEMENT 15 DECEMBER 2006. Produced by Wikimedia Foundation, Inc. Disponivel em <[http://en.wikipedia.org/wiki/Suspension %28vehicle%29](http://en.wikipedia.org/wiki/Suspension_%28vehicle%29)>. Acesso em 15/12/2006.

BOOK ANNOUNCEMENT 15 DECEMBER 2006. Produced by Wikimedia Foundation, Inc. Disponivel em <http://pt.wikipedia.org/wiki/Suspens%C3%A3o_automotiva>. Acesso em 15/12/2006.

BOOK ANNOUNCEMENT 15 DECEMBER 2006. Produced by Robert Q. Riley Enterprises, LLC. Disponivel em <<http://www.rqriley.com/suspensn.htm>>. Acesso em 15/12/2006.

BOOK ANNOUNCEMENT 15 DECEMBER 2006. Produced by Off-Road Direct. Disponivel em <<http://www.offroaddir.com/tech.htm>>. Acesso em 15/12/2006.

BOOK ANNOUNCEMENT 15 DECEMBER 2006. Produced by FreePatentsOnline.com Disponivel em <<http://www.freepatentsonline.com/6729207.html>>. Acesso em 15/12/2006.

BOOK ANNOUNCEMENT 15 DECEMBER 2006. Produced by Ognibene.com Disponivel em <http://www.ognibene.com/eng/frset_01.htm> Acesso em 15/01/2007.

Achsaufhängung mit einer lenkbaren Radachse

Die Erfindung betrifft eine Achsaufhängung mit einer lenkbaren Radachse nach der im Oberbegriff von Anspruch 1 näher definierten Art.

Gattungsgemäße Achsaufhängungen werden insbesondere in landwirtschaftlichen Fahrzeugen, wie beispielsweise Ackerschleppern, eingesetzt. Hierbei ist es wesentlich, einen möglichst kleinen Wendekreis für das Fahrzeug zu erreichen.

Die WO 89/07545 A1 offenbart eine Achsaufhängung mit einer lenkbaren Radachse, bei welcher die Radköpfe im Sinne einer Lenkbewegung verdrehbar an der Achsbrücke angelenkt sind, und zusätzlich die Achsbrücke um einen Drehpunkt am Ende des Schublenkers verdrehbar ist. Dadurch ist es möglich, einen verringerten Wendekreis zu schaffen.

Der vorliegenden Erfindung liegt die Aufgabe zugrunde, eine Achsaufhängung mit einer lenkbaren Radachse zu schaffen, welche sich durch einen einfachen Aufbau und einen geringen Wendekreis für das Fahrzeug auszeichnet.

Die Aufgabe wird mit einer, auch die kennzeichnenden Merkmale des Hauptanspruchs aufweisenden, gattungsgemäßen Achsaufhängung gelöst.

Erfnungsgemäß weist die Achsaufhängung eine Radachse auf, bei welcher zwei Radköpfe im Sinne einer Lenkbewegung drehbar an der Achsbrücke angelenkt sind und auf der Achsbrücke ein Drehpunkt angeordnet ist, um welchen die Achsbrücke zusätzlich drehbar ist. Vorzugsweise ist der Drehpunkt mittig zwischen den Radköpfen angeordnet.

In einer Ausgestaltungsform der Erfindung ist ein V-förmiger Lenker drehbar mit dem Drehpunkt verbunden und zusätzlich drehbar an einem Fahrzeugrahmen des Fahrzeugs befestigt. Zwei hydraulische Zylinder sind einerseits mit einem Fahrzeugrahmen und andererseits mit der Achsbrücke verbindbar, wodurch die Achsbrücke um den Drehpunkt drehbar ist.

Es besteht auch die Möglichkeit, nur einen Lenkzylinder in Form eines doppelt wirkenden Lenkzylinders oder einen Lenkzylinder in Verbindung mit einer Feder zur Erzeugung der Rückstellkraft zu verwenden. Soll die Fahrzeugachse als gefederte Achse ausgeführt sein, so besteht die Möglichkeit, mittig zwischen den Radköpfen einen hydraulischen Federzylinder oder zwei auf der Achsbrücke angeordnete, von der Mitte der Achsbrücke beabstandete Federzyliner anzuordnen.

In einer weiteren Ausgestaltungsform der Erfindung besteht die Möglichkeit, die beiden hydraulischen Zylinder zur Verdrehung der Achsbrücke zu blockieren oder durch zwei in ihrer Länge nicht veränderbare Stäbe zu ersetzen, wodurch ohne weiteren Aufwand eine Achsaufhängung geschaffen wird, bei welcher nur die Radköpfe lenkbar sind.

Weitere Merkmale sind der Figuren-Beschreibung zu entnehmen.

Die einzige Figur zeigt eine Achsaufhängung mit einer Achsbrücke 1, an deren Enden Radköpfe 2 drehbar angelenkt sind. Ein Lenkzylinder 3 ist über Spurstangen 4 mit den Radköpfen 2 verbunden, wodurch die Radköpfe 2 im Sinne einer Lenkbewegung verdrehbar sind. Ein Drehpunkt 5 ist mittig zwischen den Radköpfen 2 angeordnet, wodurch ein V-förmiger Lenker 6 drehbar mit der Achsbrücke 1 verbunden ist. Der V-förmige Lenker 6 ist einerseits mit dem Drehpunkt 5 und andererseits mit seinen Enden 7 mit einem nicht dargestellten Fahrzeugrahmen verbunden. Zwei Federzylinder 8 sind mit der Achsbrücke 1 und dem nicht dargestellten Fahrzeugrahmen verbunden. Federn die

Federzylinder 8 ein, so bewegt sich die Radachse in den Enden 7 im Fahrzeugrahmen, da die Enden 7 im Fahrzeugrahmen drehbar gelagert sind. Zwei hydraulische Zylinder 9 sind einerseits mit dem nicht gezeigten Fahrzeugrahmen und andererseits mit der Achsbrücke verbunden, wodurch bei der Druckbeaufschlagung eines hydraulischen Zylinders 9 die Achsbrücke 1 um den Drehpunkt 5 verdreht wird, wodurch ein geringerer Wendekreis für das Fahrzeug ermöglicht wird.

Es besteht die Möglichkeit, den Lenkzylinder 3 und die hydraulischen Zylinder 9 mit einer gemeinsamen Steuereinheit anzusteuern, wodurch die Lenkzylinder 9 in Abhängigkeit des Lenkwinkels bzw. der Beaufschlagung des Lenkzylinders 3 angesteuert werden.

In einer weiteren Ausgestaltungsform besteht die Möglichkeit, die hydraulischen Zylinder 9 zu blockieren oder durch in der Länge nicht veränderbare Stäbe zu ersetzen, wodurche eine Achse entsteht, welche ausschließlich über den Lenkzylinder 3 die Radköpfe 2 im Sinne einer Lenkbewegung dreht, um ein Fahrzeug mit einem üblichen Lenkverhalten zu schaffen.

Bezugszeichen

- 1 Achsbrücke
- 2 Radköpfe
- 3 Lenkzylinder
- 4 Spurstangen
- 5 Drehpunkt
- 6 V-förmiger Lenker
- 7 Enden
- 8 Federzylinder
- 9 hydraulischer Zylinder

Patentansprüche

1. Achsaufhängung mit einer lenkbaren Radachse, welche eine Achsbrücke (1) aufweist, an welcher im Lenksinne Radköpfe (2) drehbar angelenkt sind, wobei die Achsbrücke (1) um einen Drehpunkt (5) drehbar angeordnet ist, und mit Mittel (9) zum Verdrehen der Achsbrücke (1) um diesen Drehpunkt (5), dadurch *gekennzeichnet*, dass der Drehpunkt (5) auf der Achsbrücke (1) angeordnet ist, wobei durch das Verdrehen der Achsbrücke (1) ein geringerer Wendekreis möglich ist.

2. Achsaufhängung nach Anspruch 1, dadurch *gekennzeichnet*, dass der Drehpunkt (5) mittig zwischen den Radköpfen (2) angeordnet ist.

3. Achsaufhängung nach Anspruch 1, dadurch *gekennzeichnet*, dass mindestens ein V-förmiger Lenker (6) am Drehpunkt (5) drehbar angelenkt ist.

4. Achsaufhängung nach Anspruch 3, dadurch *gekennzeichnet*, dass der V-förmige Lenker (6) drehbar mit einem Fahrzeugrahmen verbindbar ist.

5. Achsaufhängung nach Anspruch 1, dadurch *gekennzeichnet*, dass die Mittel zum Verdrehen (9) der Achsbrücke (1) zwei hydraulische Zylinder (9) sind, welche einerseits mit einem Fahrzeugrahmen verbindbar und andererseits mit der Achsbrücke (1) verbunden sind.

6. Achsaufhängung nach Anspruch 1, dadurch *gekennzeichnet*, dass benachbart zum Drehpunkt (5) mindestens ein Federzylinder (8) mit der Achsbrücke (1) verbunden ist.

7. Achsaufhängung nach Anspruch 5, dadurch ~~g e k e n n z e i c h -~~
~~n e t , dass die hydraulischen Zylinder (9) feststellbar oder durch in der Länge~~
~~unveränderbare Stäbe ersetzbar sind.~~

8. Achsaufhängung nach Anspruch 1, dadurch ~~g e k e n n z e i c h -~~
~~n e t , dass die Mittel zum Verdrehen (9) der Achsbrücke (1) in Abhängigkeit~~
~~des Lenkeinschlages der Radköpfe (2) anlenkbar sind.~~

Zusammenfassung

Achsaufhängung mit einer lenkbaren Radachse

Eine Achsaufhängung einer lenkbaren Radachse weist eine Achsbrücke (1) auf, welche um einen Drehpunkt (5) über zwei hydraulische Zylinder (9) zusätzlich verdrehbar ist, um einen geringeren Lenkeinschlag zu schaffen.

Figur

ZF 000310

1/1

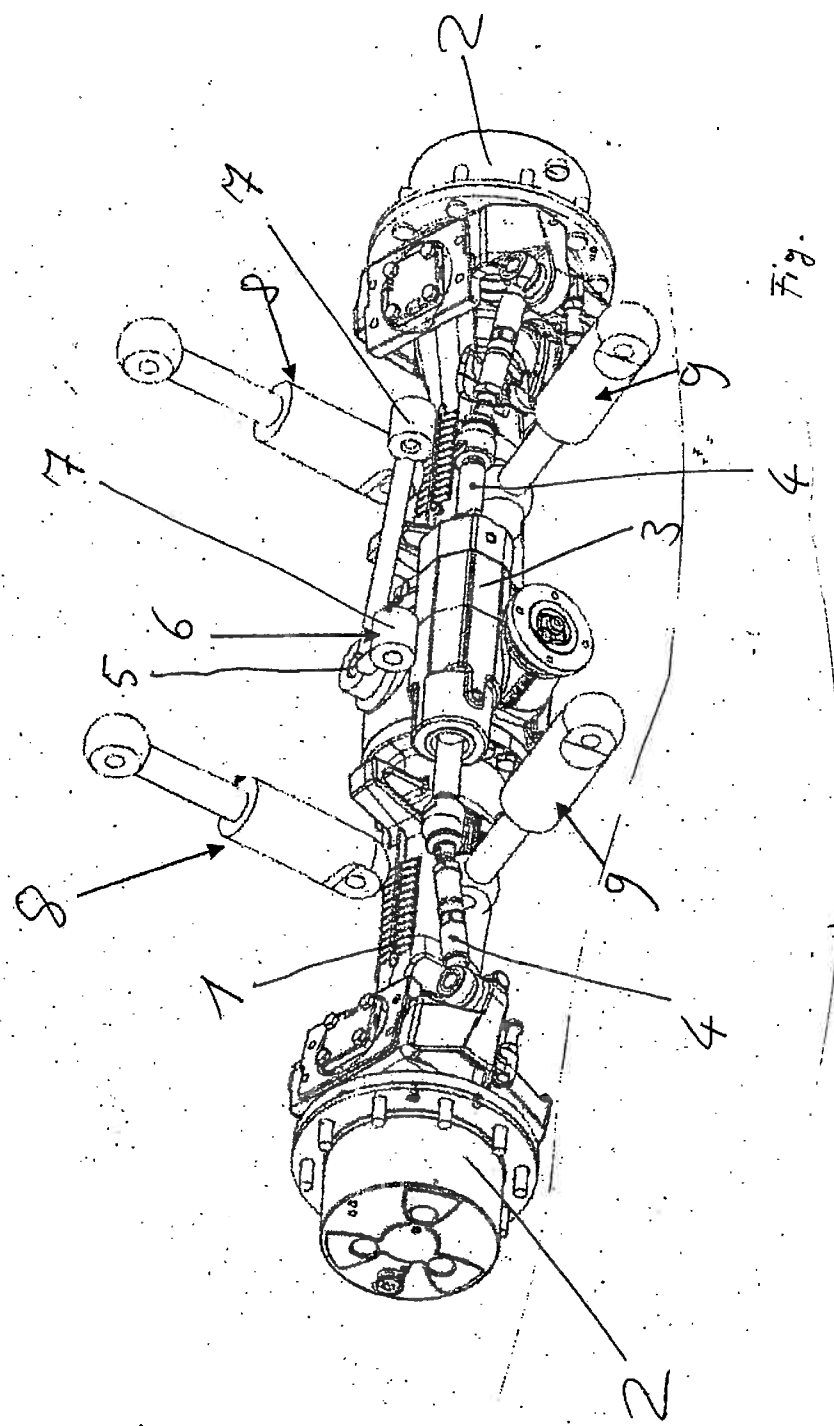
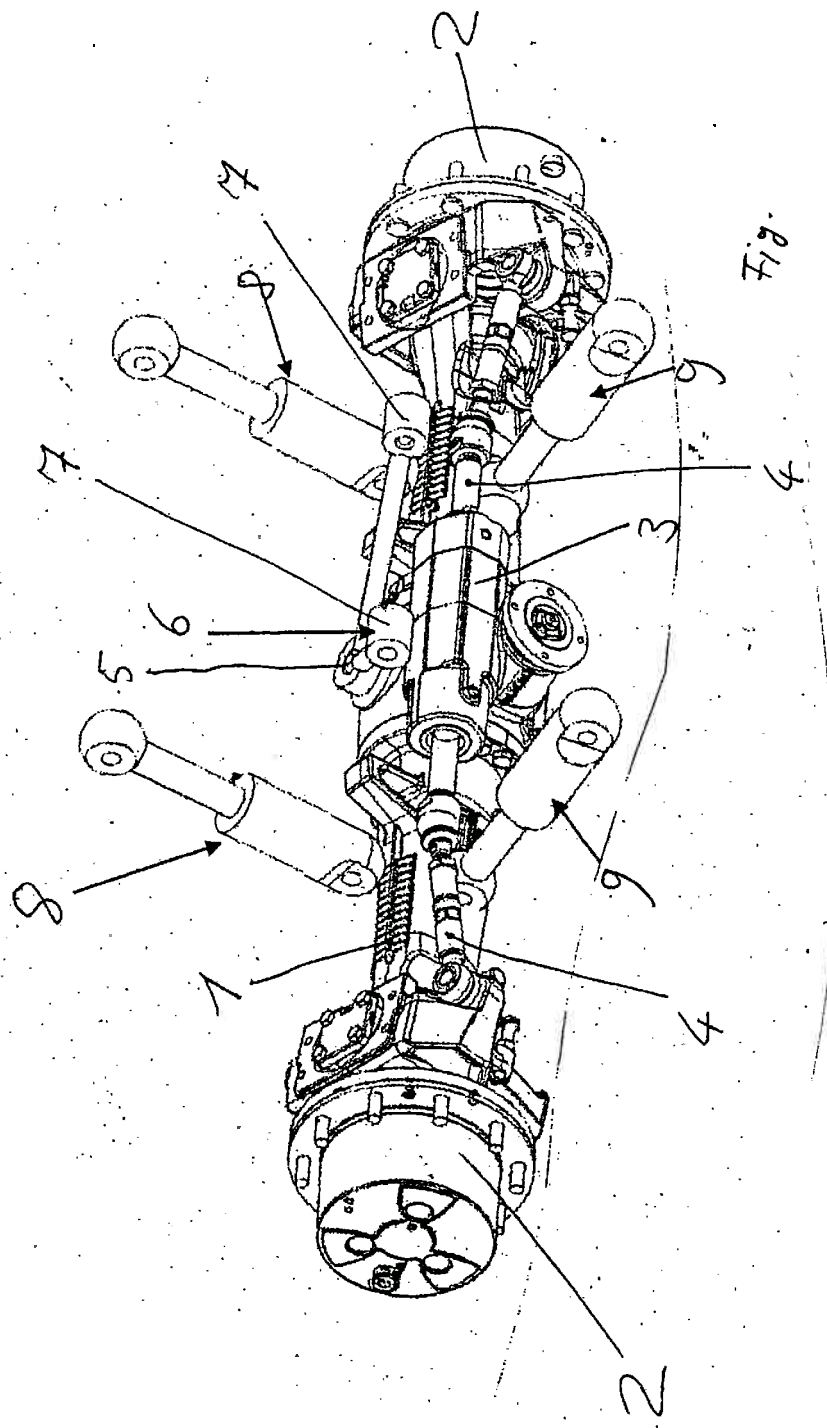


Fig.

ZF 000310



ANFAVEA - Associação Nacional dos Fabricantes de Veículos Automotores
Assessoria de Planejamento Econômico e Estatístico

Indústria Automobilística Brasileira
Empresa : NEW HOLLAND LATINO AMERICANA LTDA
Referencia : PRODUÇÃO / MODELO
Setor : Tratores
Ano : 2003 (Jan - Dez)
Tabela n°: 1 Fl.: 5
Emissao : 23/12/04 Hora : 16:14:01

	M	E	S	JAN	FEV	MAR	ABR	MAY	JUN	JUL	AGO	SET	OUT	NOV	DEZ	TOTAL
4.1.1 TRATOES DE RODAS	4781	7341	7761	9361	10401	9291	10841	11261	10631	8671	8861	91011	104491			
4.1.2 DE 50 CV A 99 CV	1291	3111	1871	3141	2971	3341	3641	3961	1901	1331	2071	6411	29261			
TL65	D	01	01	01	01	01	01	01	01	01	01	01	01	01	01	01
TL70	D	01	01	01	01	01	01	01	01	01	01	01	01	01	01	01
TL70 4X4	D	01	01	01	01	01	01	01	01	01	01	01	01	01	01	01
TL80	D	01	11	01	01	01	01	01	01	01	01	01	01	01	01	01
TL80 4X4	D	01	71	51	81	13	41	51	71	21	11	01	01	01	01	53
TL90	D	01	11	01	01	01	01	01	01	01	01	01	01	01	01	01
TL65 4X4	D	01	01	01	01	01	01	01	01	01	01	01	01	01	01	01
TL90 4X4	D	31	41	71	21	81	11	11	01	01	01	01	01	01	01	121
TL75	D	01	01	01	01	01	01	01	01	01	01	01	01	01	01	01
TL55E	D	15	141	21	01	01	01	01	01	01	01	01	01	01	01	46
TL55E 4X4	D	01	31	9	35	22	6	23	12	12	12	12	2	3	3	127
TL65E	D	101	61	01	01	11	41	11	01	01	01	01	01	01	01	41
TL75E	D	101	661	36	76	8	70	541	391	3	0	0	42	7	411	
TL75E 4X4	D	501	1981	102	1231	211	2061	2151	3151	1431	87	120	181	18	63	
TS 90 TR	D	01	01	01	01	01	01	01	01	01	01	01	01	01	01	01
TL65E 4X4	D	25	21	2	21	16	20	41	01	01	01	01	71	7	97	
TL85E 4X4	D	41	11	5	21	61	41	26	91	1	1	1	81	8	101	
TL95E 4X4	D	51	101	13	17	12	10	31	61	19	14	14	71	7	446	
TL85S	D	01	01	01	01	11	01	01	01	01	01	01	01	01	01	2
TL95S	D	01	01	01	01	01	01	01	01	01	01	01	01	01	01	5
TL55E 4X4	D	01	01	01	01	01	01	01	01	01	01	01	01	01	01	11
TL65E 4X4	D	01	01	01	01	01	01	01	01	01	01	01	01	01	01	3
TL75E 4X4	D	01	01	01	01	01	01	01	01	01	01	01	01	01	01	8
4.1.3 DE 100 CV A 159 CV		3491	4231	5891	6121	7431	5951	7201	7301	8731	7341	6191	44611	75231		
7630	D	01	01	01	01	01	01	01	01	01	01	01	01	01	01	01
8430 DT	D	01	01	01	01	01	01	01	01	01	01	01	01	01	01	01
8630 DT	D	01	01	01	01	01	01	01	01	01	01	01	01	01	01	01
8830 DT	D	01	101	101	51	161	101	21	41	101	21	131	01	01	01	92
TL100 4X4	D															

A = Álcool D = Diesel E = Elétrico G = Gásolina KG = Gasolina KD = CKD Diesel

Empresa : NEW HOLLAND LATINO AMERICANA LTDA
 Referencia : PRODUCAO / MODELO
 Setor : Tratores
 Ano : 2003 (Jan - Dez)
 Tabela n.: 1 P1.: 6
 Emissao : 23/12/04 Hora : 16:14:02

	M	E	S	JAN	FEV	MAR	ABR	MAY	JUN	JUL	AGO	SET	OUT	NOV	DEZ	TOTAL
	7830		D	0	0	0	0	0	0	0	0	0	0	0	0	0
	TM110		D	0	0	0	0	0	0	0	0	0	0	0	0	51
	TM110 TR		D	0	0	0	0	0	0	0	0	0	0	0	0	0
	TM120 TR		D	0	0	0	0	0	0	0	0	0	0	0	0	0
	TM130 TR		D	0	0	0	0	0	0	0	0	0	0	0	0	0
	TM140 TR		D	0	0	0	0	0	0	0	0	0	0	0	0	0
	7630 4X4		D	1161	88	320	292	262	201	330	341	363	381	418	1571	3269
	7830 TR4		D	0	0	0	0	0	0	0	0	0	0	0	0	0
	8030 4X4		D	741	27	101	21	47	27	18	17	39	50	24	161	370
	TM135 4X4		D	151	23	30	25	53	47	40	55	54	51	50	281	471
	TM150 4X4		D	141	49	441	83	54	92	83	92	139	94	71	461	861
	TM165 4X4		D	71	671	131	651	76	61	42	81	33	8	141	553	350
	TS100 4X4		D	61	541	7	341	53	43	48	17	45	25	9	91	329
	TS100 4X4		D	91	381	181	171	43	27	29	44	29	34	17	13	312
	TS120 4X4		D	211	281	28	26	40	40	40	26	33	30	10	9	281
	TS90 4X4		D	61	391	94	19	80	41	48	63	53	59	314	736	736
	TS90		D	151	0	301	42	151	0	31	42	41	1	0	211	173
	TS100		D	11	0	0	0	0	0	0	0	0	0	0	0	2
	4.4 COLHEITADEIRAS			2201	2381	2471	1281	1321	1961	2201	3171	3241	3951	3471	28711	31121
	TC 55		D	1	1	1	1	1	1	1	1	1	1	1	1	1
	TC 57		D	1251	81	4	11	71	1	21	51	41	71	31	49	1640
	TC 59		D	881	1151	1301	1131	1251	981	1401	1431	2271	2251	1191	1191	1423
	TOTAL GERAL			6981	9721	10231	10851	11221	11251	13041	14431	13871	12621	12331	79711	13561
	A - Alcool		D - Diesel	E - Eletrico	G - Gasolina	KG - Gasolina										
	RD - C KD Gasolina															

A - Alcool D - Diesel E - Eletrico G - Gasolina KG - Gasolina

RD - C KD Gasolina

Empresa : AGCO DO BRASIL COM. E IND. LTDA
 Referencia : PRODUCAO / MODELO
 Setor : Tratores
 Ano : 2003 (Jan - Dez)
 Tabela n.: 1 Fl.: 9
 Emissao : 23/12/04 Hora : 16:14:03

		M	E	S	JAN	FEB	MAR	ABR	MAI	JUN	JUL	AUG	SET	OCT	NOV	DEZ	TOTAL
		4.1.1	TRATORES DE RODAS		936	1074	1366	1606	1659	1840	1578	2236	1857	2066	2096	11111	19348
		4.1.2	DE 50 CV A 99 CV		701	868	1064	1275	1307	1335	1239	1590	1266	1363	1538	798	14344
	MF 265	D		331	16	58	32	47	35	30	84	38	53	33	21	461	
	MF 265	E		331	13	24	24	19	18	42	22	18	33	10	22	278	
	MF 265	4X4		5							10	14	11	5	16	13	15
	MF 250	D		2				7	0	3	2	2	0	6	1	9	34
	MF 275	D		611		151		96	148	112	95	112	99	138	87	65	1142
	MF 275	4X4		59		48		61	86	125	156	125	156	138	68	60	1012
	MF 275	4X4		59		48		61	86	125	156	125	156	138	68	60	1012
	MF 250	D		19		18		13	14	35	64	44	21	23	34	61	337
	MF 250	D		19		18		13	14	35	64	44	21	23	34	61	337
	MF 290	D		381	32	47	39	59	39	31	39	31	39	31	62	58	502
	MF 290	D		381	16	14	8	6	26	29	21	37	31	13	2	13	187
	MF 292	D		1111		182		177	238	226	241	148	217	216	195	204	2276
	MF 292	4X4		14		11		19	11	30	18	26	9	6	9	83	242
	MF 283	D		14		11		19	11	1	1	0	1	0	0	0	0
	MF 280	E		0		0		0	1	1	0	1	0	0	0	0	0
	MF 265	4X4	E	15		15		5	15	12	18	8	30	12	7	3	129
	MF 293	4X4	D	71		124		75	262	165	126	208	122	159	115	159	1650
	MF 275	4X4	E	4		4		21	17	18	19	19	19	45	12	54	332
	MF 290	4X4	CANA	11		42		54	11	5	13	0	6	10	28	186	28
	MF 250	4X4	D	0		0		0	5	7	1	2	0	0	6	3	29
	MF 250	4X4	E	4		4		2	0	5	4	10	3	1	4	4	56
	MF 275	E	D	3		2		1	5	3	5	8	7	3	0	8	11
	MF 290	CANA	D	1		0		0	0	3	2	0	0	4	0	0	15
	MF 5275	D		21		0		6	3	5	4	1	4	2	1	1	29
	MF 5275	4X4	D	61	11	3	0	8	9	5	11	7	1	3	0	1	75
	MF 5285	D		61	10	1	0	1	0	2	3	0	0	2	0	1	11
	MF 5285	4X4	D	2		12		8	4	4	4	30	31	14	24	5	130
	MF 5290	D		0		1		2	0	0	0	0	0	1	0	0	4
	MF 5290	4X4	D	2		6		1	4	0	0	0	2	4	2	3	30
	MF 230	SE	D	0		0		0	0	0	0	0	0	0	0	0	0
	MF 5200	4X4	D	0		0		1	3	6	0	1	0	0	0	0	20
	MF 471	D		81		69	0	16	59	83	41	99	127	120	30	0	725
	MF 481	4X4	D	3		5	45	24	0	0	25	16	24	35	9	263	9
	MF 481	D		8		18	35	34	57	24	6	0	9	23	77	0	291
	MF 262	SE	D	0		0		0	0	0	0	0	0	0	0	0	0

A - Alcool D - Diesel E - Eletrico G - Gasolina KG - C K D Gasolina RD - C K D Diesel

Empresa : AGCO DO BRASIL COM. E IND. LTDA
 Referencia : PRODUÇÃO / MODELO
 Setor : Tratores
 Ano : 2003 (Jan - Dez)
 Tabela n.: 1 Fl.: 10
 Emissao : 23/12/04 Hora : 16:14:03

	M	E	S	JAN	FEV	MAR	ABR	MAY	JUN	JUL	AGO	SET	OUT	NOV	DEZ	TOTAL
MF 451	D		0	42	36	59	34	30	25	7	11	19	6	0	289	
MF 451 4X4	D		0	41	71	99	14	18	40	49	41	55	24	1	507	
MF 471 4X4	D		41	46	40	5	17	5							329	
AA 6.125	D		1	31	6	3	7	9	41	33	11	4	2	0	83	
MF 435	D		3	0	18	9	67	23	18	51	45	72	71		506	
MF 435 4X4	D		6	0	7	9	15	18	12	1	1	59			158	
MF 440	D		15	0	20	55	0	57	69	79	23	37	67	0	422	
MF 440 4X4	D		15	0	50	37	32	57	71	109	20	74	99		578	
MF 445	D		0	0	10	2	1	2	0	0			6	0	52	
MF 445 4X4	D		3	0	0	1	0	0	0	0	3	0	6	0	45	
MF 535	D		6	0	0	23	18	19	11	9	91	14	21		172	
MF 535 4X4	D		0	0	2	6	20	51	31	25	19	13	15	0	113	
MF 415	D		0	0	3	5	31	1	41	61	1	5	13	0	45	
MF 415 4X4	D		0	0	1	0	1	1	0	0	1	3	4	1	16	
MF 425	D		0	0	0	1	1	0	0	0	0	0	1	0	51	
MF 425 4X4	D		0	0	0	1	1	0	0	0	0	0	0	0	16	
MF 490	D		16	0	6	0	0	0	0	0	0	0	0	0	2	
MF 5340	D		0	1	2	1	1	4	6	3	1	3	0	0	22	
MF 5340 4X4	D		0	0	12	2	8	3	12	10	10	15	0	0	42	
AA 6.65	D		0	1	0	1	0	5	1	11	1	0	2	0	113	
AA 6.85 4X4	D		0	0	3	4	1	1	1	5	10	10	13	0	48	
MF 445	D		0	0	0	0	0	0	0	0	0	0	0	0	15	
AA 6.85	D		0	0	0	0	0	0	0	0	0	0	0	0	23	
MF 491	D		0	0	0	0	0	0	0	31	61	6	6	0	59	
MF 492	D		0	0	0	0	0	0	0	29	51	10	6	0	50	
MF 492 4X4	D		0	0	0	0	0	0	0	30	51	7	10	0	52	
AA 6.65	D		0	0	0	0	0	0	0	1	0	0	0	0	1	
MF 491	D		0	0	0	0	0	0	0	0	0	0	10	0	46	
MF 460	D		0	0	0	0	0	0	0	0	0	0	22	14	0	
MF 5300	D		0	0	0	0	0	0	0	0	0	0	0	0	81	
MF 1.1.3 DE 100 CV A 199 CV			235	206	302	331	362	505	339	646	591	643	531	313	504	
MF 297	D		6	4	5	2	1	1	11	16	4	13	5	1	1	
MF 297 4X4	D		17	49	47	35	39	70	13	65	41	55	76	24	531	
MF 297 4X4	D		14	43	36	43	60	46	116	104	99	17	11		657	
MF 299	D		0	0	1	0	0	0	0	0	0	0	0	0	1	
MF 650 4X4	D		21	31	43	47	100	43	100	42	62	40	42		583	
MF 660 4X4	D		26	10	18	23	25	171	48	29	36	20	27		297	
MF 680 4X4	D		22	28	48	76	110	94	671	106	108	179	139	114	1091	

A - Alcool D - Diesel E - Elétrico G - Gásolina KG - Gasolina RG - C X D Gasolina KD - C K D Diesel

ANFAVEA - Associação Nacional dos Fabricantes de Veículos Automotores
Assessoria de Planejamento Econômico e Estatístico

Empresa : JOHN DEERE BRASIL S.A.

Referencia : PRODUÇÃO / MODELO

Sector :

Tratores

Ano : 2003 (Jan - Dez)

Tabela n.: 1 Fl.: 13

Emissão : 23/12/04 Hora : 16:14:04

Hora : 16:14:04

	M	E	S	JAN	FEV	MAR	ABR	MAI	JUN	JUL	SET	OUT	NOV	DEZ	TOTAL	
14.1 TRATORES DE RODAS				0	270	402	439	420	567	646	595	876	624	516	414	5829
14.1.2 DE 50 CV A 99 CV				0	162	245	234	204	312	315	286	395	299	295	210	2927
5600 D	0	0	0	0	0	0	0	0	0	0	0	0	0	0	0	0
5700 4X4	0	0	0	0	0	0	0	0	0	0	0	0	0	0	0	0
5600 4X4	0	0	0	0	0	0	0	0	0	0	0	0	0	0	0	0
5700 4X4	0	0	0	0	0	0	0	0	0	0	0	0	0	0	0	0
5403 D	0	1	9	17	21	18	18	21	29	17	10	7	15	9	71	159
5403 4X4	0	1	9	17	21	18	18	21	29	17	10	7	15	9	71	159
5403 4X4	0	1	9	17	21	18	18	21	29	17	10	7	15	9	71	159
6400 4X4	0	0	0	0	0	0	0	0	0	0	0	0	0	0	0	0
5605 D	0	1	6	14	7	6	6	6	12	13	13	13	13	12	12	123
5605 4X4	0	1	6	14	7	6	6	6	12	13	13	13	13	12	12	123
5705 D	0	1	2	2	1	1	1	1	2	2	2	2	2	2	2	22
5705 4X4	0	1	2	2	1	1	1	1	2	2	2	2	2	2	2	22
6405 4X4	0	1	80	97	102	102	102	102	123	123	123	123	123	123	123	1269
14.1.3 DE 100 CV A 199 CV				0	108	157	205	216	255	331	309	481	325	311	204	2902
6300 D	0	0	0	0	0	0	0	0	0	0	0	0	0	0	0	0
6300 4X4	0	0	0	0	0	0	0	0	0	0	0	0	0	0	0	0
6600 4X4	0	0	0	0	0	0	0	0	0	0	0	0	0	0	0	0
7500 4X4	0	0	0	0	0	0	0	0	0	0	0	0	0	0	0	0
6500 4X2	0	0	0	0	0	0	0	0	0	0	0	0	0	0	0	0
7810 4X4	0	0	0	0	0	0	0	0	0	0	0	0	0	0	0	0
6605 4X4	0	0	50	60	76	102	102	102	129	129	129	129	129	129	129	1149
7505 4X4	0	0	58	97	129	129	129	129	129	129	129	129	129	129	129	129
14.4 COLETADORES				216	280	301	322	224	235	294	231	296	358	372	311	3389
1165 D	0	1	15	0	0	61	16	16	0	15	0	0	0	0	0	0
1175 D	0	1	80	0	0	55	45	43	0	85	0	187	0	121	67	683
1185 D	0	0	0	0	0	0	0	0	0	0	0	0	0	0	0	0
1170				0	0	0	0	0	0	0	0	0	0	0	0	0

A - Álcool D - Diesel E - Elétrico G - Gasolina KG - Gasolina KD - C/KD Gasolina

KD - C/KD Diesel

ANFAVEA - Associação Nacional dos Fabricantes de Veículos Automotores
 Assessoria de Planejamento Econômico e Estatístico
 Indústria Automobilística Brasileira

Empresa : JOHN DEERE BRASIL S.A.

Referencia : PRODUÇÃO / MODELO

Sector : Automóveis

Ano : 2003 (Jan - Dez)

Tabela n.: 1 Fl.: 14

Emissão : 23/12/04 Hora : 16:14:04

	M	E	S	JAN	FEV	MAR	ABR	MAI	JUN	JUL	AGO	SET	OCT	NOV	DEZ	TOTAL
1450	D	77	160	158	136	86	92	61	103	25	119	117	73	1207		
1550	D	0	110	87	15	79	143	133	128	42	169	53	57	1136		
9650	D	13	0	0	0	0	0	0	0	0	5	25	15	21	179	
9750	D	31	10	0	0	0	0	0	0	7	45	21	33	21	147	
TOTAL GERAL	>	216	550	702	761	634	802	940	826	1172	982	948	675	675	9218	
A -	Alcool	D -	Diesel	E -	Elétrico	G -	Gasolina	KG -	C K D	Gasolina	RD -	C K D	Diesel	RD -	C K D	Diesel

Empresa : VALTRA DO BRASIL S.A.

Referencia : PRODUÇÃO / MODELO

Setor : Tratores

Ano : 2003 (Jan - Dez)

Tabela n.º 1 Fl.: 15

Emissão : 23/12/04 Hora : 16:14:05

	M	E	S	JAN	FEV	MAR	ABR	MAY	JUN	JUL	AGO	SET	OUT	NOV	DEZ	TOTAL
14.1 TRATORES DE RODAS				434	800	789	893	937	914	974	952	724	934	495	2111	90871
14.1.2 DE 50 CV A 99 CV				202	337	440	282	419	385	321	216	352	133	60	11	35371
685 F	D	D	D	0	0	0	0	0	0	0	0	0	0	0	0	0
685	F	D	D	23	22	121	26	9	33	25	39	37	33	3	31	245
685 4x4	D	D	D	5	9	14	8	7	8	26	7	18	7	11	11	117
785 F	D	D	D	0	0	0	0	0	0	0	0	0	0	0	0	0
785	F	D	D	30	61	53	27	22	42	39	29	14	24	11	0	352
785 4x4	D	D	D	50	55	129	155	115	142	104	96	55	91	18	31	1013
785 4x4	D	D	D	51	10	13	43	45	117	83	70	23	35	13	0	457
985 4x4	D	D	D	885 S	D	D	D	D	D	D	D	D	D	D	D	0
985 TS	D	D	D	885	S	D	D	D	D	D	D	D	D	D	D	0
885 4x4	D	D	D	2	7	0	0	0	0	0	0	0	0	0	0	0
885	D	D	D	5	0	2	0	0	0	0	0	0	0	0	0	0
800	D	D	D	31	10	21	0	0	0	1	0	0	1	0	0	17
800 4x4	D	D	D	21	14	15	13	8	12	8	7	3	3	9	2	95
685 4x4 F	D	D	D	0	0	0	0	0	0	0	0	0	0	0	0	0
785 4x4 F	D	D	D	0	0	0	0	0	0	0	0	0	0	0	0	0
885 4x4 S	D	D	D	0	0	0	0	0	0	0	0	0	0	0	0	0
885 4x4 TS	D	D	D	0	0	0	0	0	0	0	0	0	0	0	0	0
PREMIUM 4x4	D	D	D	0	0	0	0	0	0	0	0	0	0	0	0	0
PCR	D	D	D	0	0	0	0	0	0	0	0	0	0	0	0	0
PCR 4x4 S	D	D	D	0	0	0	0	0	0	0	0	0	0	0	0	0
700	D	D	D	31	7	4	2	0	1	0	1	2	0	0	0	21
900 4x4	D	D	D	11	16	17	15	36	12	6	7	3	14	20	10	151
B775 4x4	D	D	D	16	17	15	35	11	15	14	22	6	13	22	11	213
B775 4x4	D	D	D	14	29	23	34	20	23	41	21	37	12	0	0	258
BF65	D	D	D	12	0	2	1	6	4	1	7	1	1	0	0	27
BF65 4x4	D	D	D	0	3	3	1	1	1	0	0	0	0	0	0	6
BF65	D	D	D	9	7	4	14	4	23	14	5	10	2	7	0	99
BF75	D	D	D	6	19	20	1	3	0	2	2	0	1	0	0	54
BH85	D	D	D	2	11	21	3	1	0	4	1	0	1	0	0	31
BH85 PCR	D	D	D	4	27	20	22	7	7	2	5	3	14	0	2	113
BH85 4x4 PCR	D	D	D	10	13	21	18	10	3	7	10	20	12	4	11	129

A - Álcool D - Diesel E - Eletricôo G - Gasolina KG - C K D Gasolina RD - C K D Diesel

Empresa : OUTRAS EMPRESAS
Referencia : PRODUCAO / MODELO

EMPRESAS / MODELO

Anexo C – Produção de máquinas agrícolas de 2004

ANFAVEA - Associação Nacional dos Fabricantes de Veículos Automotores
Assessoria de Planejamento Econômico e Estatístico
Indústria Automobilística Brasileira

AGRALE S.A.
PRODUCAO / MODELO
Tratores
Jan - Dez
1
24/02/05
2

Empresa : NEW HOLLAND LATINO AMERICANA LTDA
 Referencia : PRODUCIO / MODELO
 Setor : Tratores
 Ano : 2004 (Jan - Dez)
 Tabela : n. 1 Fl.: 5
 Emissao : 24/02/05 Hora : 20:05:17

	M	E	S	JAN	FEV	MAR	ABR	MAY	JUN	JUL	AGO	SET	OUT	NOV	DEZ	TOTAL
4.1 TRATORES DE RODAS																
4.1.2 DE 50 CV A 99 CV																
TL70	D	0	0	1	1	1	1	1	1	1	1	1	1	1	1	1
TL70 4X4	D	0	0	0	1	0	0	0	0	0	0	0	0	0	0	0
TL80	D	3	8	8	4	4	3	12	0	6	12	7	14	6	5	83
TL80 4X4	D	0	0	1	1	1	0	1	0	0	0	0	2	0	1	5
TL90	D	0	0	8	8	8	8	5	12	8	2	7	3	4	6	68
TL90 4X4	D	2	0	8	8	9	8	5	8	9	0	10	4	8	2	65
TL95E	D	0	0	8	13	14	14	13	15	9	4	4	10	7	1	102
TL95E 4X4	D	0	0	3	2	25	9	7	20	2	11	0	7	0	0	86
TL65E	D	0	0	8	22	39	20	36	37	49	11	16	12	10	1	261
TL75E	D	47	158	191	142	153	161	172	185	201	22	22	121	43	1	1776
TL75E 4X4	D	3	1	2	3	7	3	6	20	7	0	5	0	0	0	57
TL85E	D	0	0	14	23	23	23	61	45	44	17	34	8	1	0	254
TL85E 4X4	D	3	0	13	19	19	19	34	16	11	20	9	13	0	0	154
TL85E	D	0	0	0	0	0	0	0	0	0	0	0	0	0	0	0
TL95E	D	0	0	0	0	0	0	0	0	0	0	0	0	0	0	0
TL95E 4X4	D	0	0	0	0	0	0	0	0	0	0	0	0	0	0	0
TL65F	D	0	0	0	0	0	0	0	0	0	0	0	0	0	0	0
TL65F 4X4	D	0	0	0	0	0	0	0	0	0	0	0	0	0	0	0
4.1.3 DE 100 CV A 199 CV																
TL100	D	1	1	1	2	15	4	8	11	2	3	1	1	1	1	1
TL100 4X4	D	0	0	1	1	0	0	0	0	0	0	0	41	0	0	81
7630	D	171	148	239	226	162	229	273	405	258	223	221	121	0	1	2713
8030	D	11	37	26	20	39	38	59	49	62	43	31	31	0	471	471
TM135	D	13	29	32	21	37	36	51	60	37	33	56	18	1	423	423
TM150	D	20	66	62	84	72	103	115	126	79	130	127	52	1	1036	1036
TM165	D	10	41	22	19	56	38	61	29	46	7	26	0	0	440	440
TS100	D	25	41	34	19	26	31	83	36	41	20	29	8	1	393	393
TS110	D	21	26	24	28	22	16	54	17	51	15	15	6	1	309	309

A - Alcohol D - Diesel E - Eletrico G - Gasolina KG - C K D Gasolina KD - C K D Diesel

Empresa : NEW HOLLAND LATINO AMERICANA LTDA

Referencia : PRODUÇÃO / MODELO

Seror : Tratores

Ano : 2004 (Jan - Dez)

Tabela n.: 1 Fl.: 6

Emissao : 24/02/05 Rota : 200518

	M	E	S	JAN	FEV	MAR	ABR	MAY	JUN	JUL	AGO	SET	OUT	NOV	DEZ	TOTAL	
				12	31	44	33	46	25	30	51	26	31	53	88	470	
				46	71	68	28	48	88	46	55	61	39	128	288	966	
				43	21	37	0	0	0	30	11	14	34	17	0	287	
				0	1	1	0	0	0	1	2	2	27	38	8	31	
				0	0	0	0	0	0	0	0	0	0	1	0	4	
				0	0	0	0	0	0	0	0	0	0	6	0	6	
				198	408	399	227	228	213	162	242	242	301	265	290	3147	
				1	1	1	1	1	1	1	1	1	1	1	1	1	
				0	0	13	8	5	6	8	12	0	10	0	0	65	
				90	165	210	172	115	99	64	153	105	164	158	10	1492	
				108	243	176	147	110	107	88	81	95	111	85	118	149	
				0	0	0	0	0	0	2	4	0	2	26	22	65	
				638	1103	1295	993	1023	1155	1344	1417	1218	1348	1196	1037	13766	
				1	1	1	1	1	1	1	1	1	1	1	1	1	
	A -	Alcool	D -	Diesel	E -	Eletrico	G -	Gasolina	KG -	C K D Gasolina	KD -	C K D Diesel					

Empresa : OUTRAS EMPRESAS
 Referencia : PRODÚCÃO / MODELO
 Setor : Tratores
 Ano : 2004 (Jan - Dez)
 Tabela n.: 1 Fl.: 16
 Emissão : 24/02/05 Hora : 20:05:22

	M	E	S	JAN	FEV	MAR	ABR	MAY	JUN	JUL	AGO	SET	OUT	NOV	DEZ	TOTAL	
4.1 TRATORES DE RODAS				45 	56 	80 	72 	77 	77 	62 	83 	65 	90 	90 	47 	84 	
4.1.1 ATE 49 CV				10 	19 	22 	12 	10 	6 	9 	17 	15 	24 	17 	8 	169 	
1030	D	D	D	0	0	0	0	0	0	0	0	0	0	0	0	2	
1045	D	D	D	0	0	0	0	1	0	0	0	0	0	0	0	1	
1145 4X4	D	D	D	0	0	0	1	1	0	0	1	0	0	0	0	3	
1045 4X4	D	D	D	4	4	4	4	0	0	0	0	0	0	0	0	16	
1145 4X4	D	D	D	6	15	18	7	8	6	9	16	15	24	17	6	147	
4.1.2 DE 50 CV A 99 CV				35 	37 	58 	60 	67 	71 	53 	66 	50 	66 	73 	39 	65 	
1055 4X4	D	D	D	1	14	11	13	10	12	7	1	0	0	0	0	1	
1155-4	D	D	D	17	21	41	45	50	58	52	59	43	58	67	0	69	
2060 4X4	D	D	D	4	5	4	5	5	6	0	6	7	8	6	3	547	
4.3 CULTIVADORES MOTORIZADOS				105 	140 	157 	118 	158 	140 	148 	162 	170 	150 	155 	100 	1703 	
YANMAR	D	D	D	1	105	140	157	118	140	148	162	170	150	155	100	1703	
TOTAL GERAL ----->					150 	196 	237 	190 	235 	217 	210 	245 	235 	240 	245 	147 	2547

+ A - Álcool D - Diesel E - Eletrico G - Gasolina KG - C K D Gasolina RD - C K D Diesel

Empresa : NEW HOLLAND LATINO AMERICANA LTDA
 Referencia : PRODUÇÃO / MODELO
 Setor : Tratores
 Ano : 2005 (Jan - Dez)
 Tabela n.: 1 F1.: 6
 Emissão : 10/01/06 Hora : 18:47:27

	M	E	S	JAN	FEV	MAR	ABR	MAY	JUN	JUL	AGO	SET	OUT	NOV	DEZ	TOTAL
TM165 4X4	0	0	0	3	3	4	3	0	3	4	0	0	1	10	1	34
TS100 4X4	D	D	D	5	5	2	3	11	13	2	28	1	6	8	1	84
TS110 4X4	D	D	D	8	11	17	29	23	25	12	11	7	1	10	1	165
TS120 4X4	D	D	D	5	14	20	34	22	14	27	12	37	16	12	1	240
TS80 4X4	D	D	D	83	207	174	135	188	160	93	20	48	67	61	1	521
TS90	D	D	D	0	91	30	14	23	41	20	21	0	0	9	1	218
TM180 4X4	D	D	D	3	8	0	2	14	33	0	16	4	5	4	1	89
TS100	D	D	D	0	0	0	0	0	0	0	0	0	0	0	1	0
TS120	D	D	D	0	0	0	0	0	0	0	0	0	0	0	1	0
TS100 4X4 CANA	D	D	D	2	0	12	19	41	11	0	12	0	0	0	1	60
14.4 COLHETADORES				60	118	90	34	19	25	53	54	69	100	64	1	811
TC 55	D	D	D	0	11	0	0	1	1	9	15	1	1	1	1	74
TC 57	D	D	D	8	58	55	21	19	9	44	21	23	55	42	1	372
TC 59	D	D	D	28	36	19	4	0	10	2	8	31	36	19	1	261
CS 660	D	D	D	24	131	16	2	0	5	6	16	0	0	0	1	104
TOTAL GERAL				306	745	928	782	705	935	604	659	501	358	367	4	7255
A - Alcohol				1	1	1	1	1	1	1	1	1	1	1	1	1
D - Diesel																
E - Eletrico																
G - Gasolina																
KD - C KD Gasolina																

A - Alcohol D - Diesel E - Eletrico G - Gasolina KD - C KD Gasolina

Empresa : AGCO DO BRASIL COM. E IND. LTDA
 Referencia : PRODUCAO / MODELO
 Setor : Tratores
 Ano : 2005 (Jan - Dez)
 Tabela n.: 1 F1.: 9
 Emissao : 10/01/06 Hora : 18:47:27

	M	E	S	JAN	FEV	MAR	ABR	MAY	JUN	JUL	AGO	SET	OUT	NOV	DEZ	TOTAL
4.1 TRATORES DE RODAS				18521	17031	21971	21351	21471	20641	19331	20571	13311	13161	12781	011	20031
4.1.2 DE 50 CV A 99 CV				16621	15141	18591	17371	17561	15811	14401	15621	11271	10631	10881	011	16391
MF 265 D	20	21	11	61	37	21	46	36	24	1	1	0	0	0	0	278
MF 265 E	36	56	90	55	88	79	48	159	31	64	16	16	011	011	594	
MF 265 4X4	91	121	14	30	17	10	24	98	18	17	11	13	011	011	250	
MF 250 D	61	21	8	1	71	2	2	3	01	0	54	011	011	011	98	
MF 275 D	87	46	121	147	1271	50	59	72	106	60	241	011	011	011	890	
MF 275 4X4	62	58	60	110	1361	99	441	29	63	108	53	011	011	011	822	
MF 290 D	62	22	38	371	22	31	24	18	8	18	70	011	011	011	235	
MF 290 CV	70	9	33	52	661	45	201	39	23	77	011	011	011	011	508	
MF 292 D	81	4	12	20	41	13	9	8	1	20	6	011	011	011	105	
MF 292 4X4	182	129	202	2381	1271	43	87	1021	1021	1021	1021	011	011	011	165	
MF 283 D	12	7	18	10	331	18	29	15	12	8	5	011	011	011	167	
MF 250 E	3	0	0	1	0	0	41	2	0	0	0	011	011	011	14	
MF 265 4X4 E	6	16	28	32	291	38	151	18	11	19	4	011	011	011	216	
MF 283 4X4 E	131	64	1781	2981	3001	1741	2641	1481	151	751	60	011	011	011	1843	
MF 275 4X4 E	18	64	471	44	481	341	231	71	16	86	40	011	011	011	427	
MF 290 4X4 CANA	4	47	17	4	141	15	8	8	2	4	011	011	011	011	129	
MF 250 4X4	31	4	0	2	3	61	11	0	1	5	011	011	011	011	35	
MF 250 4X4 E	41	0	0	5	9	12	3	1	0	4	3	011	011	011	41	
MF 275 E	41	10	8	5	6	12	36	81	91	191	18	011	011	011	135	
MF 290 CANA	0	0	0	0	0	0	0	0	0	0	0	011	011	011	0	
MF 5275 D	0	0	21	0	21	3	0	0	0	0	0	011	011	011	7	
MF 5275 4X4 D	1	0	21	2	2	9	1	0	1	0	2	011	011	011	18	
MF 5285 D	0	1	1	1	0	0	0	0	0	0	1	011	011	011	3	
MF 5285 4X4 D	41	5	11	0	14	91	1	10	1	0	1	011	011	011	64	
MF 5280 4X4 D	0	3	6	0	0	1	1	16	1	71	0	011	011	011	35	
MF 250 SE	0	0	1	2	0	0	0	1	1	1	0	011	011	011	5	
MF 5300 4X4 D	13	5	1	0	0	0	0	0	3	0	0	011	011	011	22	
MF 471 D	1751	1361	64	67	521	461	74	371	16	0	011	011	011	011	820	
MF 481 4X4 D	661	53	80	41	30	581	34	591	61	291	011	011	011	011	511	
MF 481 D	541	781	73	331	321	271	141	371	61	370	011	011	011	011	370	
MF 451 D	341	41	1	16	111	111	171	1	531	61	011	011	011	011	191	
MF 451 D	1111	881	251	591	221	321	161	971	171	0	011	011	011	011	468	

A - Alcool D - Diesel E - Eletrico G - Gasolina KG - C K D Gasolina

KD - C K D Diesel

Empresa : AGCO DO BRASIL COM. E IND. LTDA
Referência : PRODUÇÃO / MODELO
Setor : Tratores

Ano : 2005 (Jan - Dez)

Tabela n.º 1 F1 : 10

Emissão : 10/01/06 Hora : 18:47:27

	M	E	S	JAN	FEV	MAR	ABR	MAY	JUN	JUL	AGO	SET	OUT	NOV	DEZ	TOTAL
MF 471 4X4	D	D	92	116	112	45	56	71	52	94	72	33	0	0	743	
AA 6.125	D	D	2	0	0	22	8	14	13	42	23	15	0	0	139	
MF 435	D	D	4	9	28	6	18	12	33	11	21	155	0	0	297	
MF 435 4X4	D	D	32	19	65	40	24	35	41	21	19	21	55	0	0	372
MF 440	D	D	52	96	54	84	116	141	301	94	21	11	86	0	0	785
MF 440 4X4	D	D	83	56	135	148	36	65	75	80	26	106	146	0	0	956
MF 445	D	D	3	1	0	0	10	16	24	23	0	7	0	0	0	84
MF 445 4X4	D	D	0	0	0	0	0	0	0	4	1	31	31	0	0	149
MF 5335	D	D	10	7	15	19	13	24	10	7	16	14	14	0	0	149
MF 5335 4X4	D	D	0	0	5	2	7	4	41	10	13	16	67	0	0	128
MF 415	D	D	2	0	1	7	10	4	7	5	1	0	1	0	0	44
MF 415 4X4	D	D	0	0	1	3	4	0	0	1	1	0	0	0	0	14
MF 425	D	D	0	0	2	3	0	0	0	1	1	1	0	0	0	9
MF 425	D	D	2	1	7	19	1	1	0	1	0	2	31	0	0	36
MF 5340	D	D	21	7	31	7	13	81	81	9	3	81	11	0	0	103
MF 5340 4X4	D	D	71	31	0	0	0	0	0	0	0	0	0	0	0	0
AA 6.85	D	D	0	0	0	0	0	0	0	0	0	0	0	0	0	0
AA 6.85 4X4	D	D	0	0	0	0	0	0	0	0	0	0	0	0	0	0
MF 491	D	D	28	6	42	18	13	16	2	13	7	81	0	0	153	
MF 492	D	D	40	26	37	28	23	61	15	34	12	81	0	0	229	
MF 492 4X4	D	D	84	46	53	53	22	28	81	108	58	23	41	0	0	580
MF 491	D	D	19	17	35	51	71	11	7	10	5	4	0	0	0	120
MF 460	D	D	12	16	25	11	10	24	11	0	17	6	31	0	0	135
MF 460 4X4	D	D	15	0	0	0	0	0	0	0	0	0	0	0	0	0
MF 5300	D	D	0	3	0	0	0	0	15	0	3	31	0	0	0	24
MF 460	D	D	0	0	0	0	0	0	0	0	3	4	0	0	0	10
AA 6.75	D	D	0	0	5	0	6	0	0	18	7	5	3	1	0	53
AA 6.95	D	D	8	5	0	0	2	0	0	5	5	0	0	0	0	25
AA 6.95 4X4	D	D	5	3	0	0	2	1	0	2	1	0	0	0	0	61
MF 250 A	D	D	0	0	0	0	0	0	0	0	0	0	0	0	0	15
MF 5250	D	D	0	0	0	0	0	0	0	0	0	0	0	0	0	0
MF 290 CANA BM	D	D	0	9	0	0	0	0	0	0	0	0	0	0	0	91
AA 6.65	D	D	0	10	0	0	0	0	0	0	0	0	0	0	0	10
AA 6.65 4X4	D	D	0	0	5	0	0	0	0	0	0	0	0	0	0	5
AA 6.75	D	D	0	0	0	0	0	0	0	0	4	3	0	0	0	9
AA 6.75 4X4 E	D	D	0	0	0	0	0	0	0	0	0	0	0	0	0	1
MF 481	D	D	0	0	0	0	0	0	0	0	0	0	0	1	0	1
MF 283	D	E	0	0	0	0	0	0	0	0	0	0	2	0	0	2
4.1.3 DE 100 CV A 199 CV			1	190	189	338	398	391	483	493	204	253	190	0	0	3624
MF 297	D	D	1	61	9	8	5	41	13	9	9	14	6	0	0	92
A - Alcool			E - Diesel		E - Elétrico	G - Gasolina	G - Gásolina	G - Gasolina	KG - Gasolina	KG - C KD Gasolina	KG - CKD Diesel					

ANFAVEA - Associação Nacional dos Fabricantes de Veículos Automotores
 Assessoria de Planejamento Econômico e Estatístico
 Indústria Automotiva Brasileira

Empresa : AGCO DO BRASIL COM. E IND. LTDA

Referencia : PRODUÇÃO / MODELO

Setor : Tratores

Año : 2005 (Jan - Dez)

Tabela n.: 1 F.: 12

Emissão : 10/01/06 Hora : 18:47:27

	M	E	S	JAN	FEV	MAR	ABR	MAY	JUN	JUL	AGO	SET	OCT	NOV	DEZ	TOTAL
+	3640	D		5	14	5	6	0	1	6	26	6	2	2	2	75
+	5650	D		137	67	22	44	0	43	38	21	42	64	67	30	575
MF 38	D			11	11	3	3	0	0	6	2	2	0	0	0	42
MF 34	D			41	37	44	17	0	10	9	12	11	7	11	1	200
AA 550 GTH	D			25	25	29	20	0	0	15	15	4	4	0	0	149
AA 660 GTH	D			0	0	4	0	0	0	2	0	9	0	0	0	15
+	TOTAL GERAL			2071	1857	2304	2347	2225	2135	2131	1406	1395	1362	33	1	21069
+	A - Alcohol	-	D - Diesel													

A - Alcohol D - Diesel E - Elétrico G - Gasolina KG - C KD Gasolina KD - C KD Diesel

Empresa : JOHN DEERE BRASIL S.A.
Referencia : PRODUÇÃO / MODELO
Setor : Tratores
Ano : 2005 (Jan - Dez)
Tabela n. : 1 Fl.: 14
Emissão : 10/01/06 Hora : 18:47:27

	M	E	S	JAN	FEV	MAR	ABR	MAY	JUN	JUL	AGO	SET	OUT	NOV	DEZ	TOTAL	
4.1 TRATORES DE RODAS	1			196	356	98	95	271	415	700	589	406	553	397	341	4417	
4.1.1.2 DE 50 CV A 99 CV	1			96	233	64	95	146	304	415	319	267	396	233	210	2778	
5403	D			5	17	1	0	-14	9	17	16	53	12	14	6	136	
5403 1X4	D			11	20	15	0	21	28	15	14	24	21	28	17	248	
5605 1X4	D			0	5	2	12	13	19	5	14	10	4	8	6	100	
5603 1X4	D			2	7	5	16	32	49	11	25	34	1	12	11	205	
5705	D			3	21	1	0	5	4	7	11	2	10	6	9	79	
5705 1X4	D			28	91	14	67	66	121	133	101	21	138	88	67	935	
6405 1X4	D			47	72	26	0	21	5	4	0	0	0	0	0	155	
6415 4X4	D			0	0	0	0	22	69	190	137	123	210	77	92	920	
4.1.1.3 DE 100 CV A 199 CV	1			100	123	34	0	125	111	285	270	139	157	164	131	169	
6605 1X4	D			51	32	0	0	40	0	30	20	50	0	0	0	0	223
7505 1X4	D			49	91	34	0	50	45	25	30	0	0	0	0	324	
6615 1X4	D			0	0	0	0	16	31	102	87	40	99	112	59	546	
7515 4X4	D			0	0	0	0	19	35	128	133	49	57	52	72	545	
7815 4X4	D			0	0	0	0	0	0	0	0	0	0	0	0	1	
14.4 COLHITADEIRAS				240	61	136	206	82	183	170	133	146	306	216	187	2066	
1165	D			21	0	12	0	0	0	0	0	0	0	0	0	6	336
1175	D			55	60	19	0	54	63	50	19	62	46	42	52	556	
1450	D			96	0	47	116	15	58	51	23	18	54	31	57	467	
1550	D			72	0	18	71	6	22	20	25	62	89	51	31	115	
9650	D			1	0	0	0	0	0	0	0	2	26	21	36	59	
9750	D			5	0	4	0	0	0	0	0	7	5	23	15	115	
1650 CTS	D			0	1	0	0	0	1	0	6	0	0	0	0	8	
TOTAL GERAL ----->				436	417	234	301	353	598	870	722	552	859	613	528	6083	
A - Alcool	D - Diesel	E - Elettrico	G - Gasolina	KG - Gasolina													

A - Alcool D - Diesel E - Elettrico G - Gasolina KG - Gasolina KD - C KD Gasolina KD - C KD Diesel

Empresa : VALTRA DO BRASIL S.A.
 Referencia : PRODUCAO / MODELO
 Setor : Tratores
 Ano : 2005 (Jan - Dez)
 Tabela n.º : 1 F.l.: 15
 Emissão : 10/01/06 Hora : 16:47:27

	M	E	S	JAN	FEB	MAR	ABR	MAY	JUN	JUL	AGO	SET	OUT	NOV	DEZ	TOTAL
14.1.1 TRATORES DE RODAS	1	550	804	840	767	910	900	756	826	567	567	457	0	0	7324	
14.1.2 DE 50 CV A 99 CV	1	270	345	340	364	473	456	361	339	294	294	245	0	0	3840	
685 4x4	0	20	14	11	6	11	8	6	7	9	17	13	0	122		
685 4x4	D	29	28	8	24	100	86	72	51	65	50	37	0	550		
785 4x4	D	13	24	44	31	13	19	15	8	14	16	11	0	208		
785 4x4	D	84	83	79	71	63	103	70	112	66	117	31	0	879		
985 4x4	0	0	0	0	0	0	0	0	0	0	0	0	0	0		
800 4x4	D	0	0	0	0	0	0	0	0	0	0	0	0	0	56	
800 4x4	D	0	0	0	1	1	1	1	1	1	1	2	0	0		
700 4x4	D	0	0	0	0	0	0	0	0	0	0	0	2	0	6	
700 4x4	D	31	2	4	5	1	1	3	1	4	3	1	0	0	36	
900 4x4	D	1	4	6	3	3	8	19	4	5	10	29	0	0	92	
BFT5 4x4	D	31	22	26	21	40	54	40	36	14	24	15	0	0	323	
BFT5 4x4	D	6	6	4	9	23	12	8	4	3	12	9	0	0	93	
BF65 4x4	D	0	2	15	10	41	1	1	4	3	1	2	5	0	47	
BF75 4x4	D	5	9	4	12	32	18	15	9	5	16	5	0	0	130	
BF85 PCR	D	0	0	0	0	0	0	0	0	0	0	0	0	0	0	
BM85 4x4 PCR	D	4	1	4	0	0	0	0	0	0	0	0	0	0	12	
BM85 4x4	D	24	37	19	6	15	14	4	2	15	41	20	0	0	160	
600 4x4	D	0	0	0	0	0	0	0	0	0	0	0	0	0	0	
BL77 4x4	D	1	5	2	22	1	6	4	0	0	0	0	0	0	42	
BL77 4x4	D	14	24	36	29	42	42	5	16	11	6	0	0	0	23	
BL88 4x4	D	32	77	76	91	79	70	74	62	59	29	24	0	0	673	
BL88	D	3	4	16	9	9	8	0	0	3	7	2	0	0	61	
WT315N 4X4	D	0	0	0	0	0	0	0	5	0	6	0	0	0	11	
WT380 4X4	D	0	0	0	0	0	0	0	8	6	4	6	0	0	32	
MT144	D	0	0	0	0	0	0	0	0	3	0	0	0	0	3	
WT390 4X4	D	0	0	0	0	0	0	0	0	2	1	0	0	0	25	
WT460 4X4	D	0	0	0	0	0	0	0	0	0	0	2	0	0	5	
WT460 4X4	D	0	0	0	0	0	0	0	0	0	0	0	0	0	16	
WT490 4X4 PCR	D	0	0	0	0	0	0	0	0	0	0	0	0	0	3	
WT490 4X4 PCR	D	0	0	0	0	0	0	0	0	0	0	0	0	0	18	
14.1.3 DE 100 CV A 199 CV	1	280	439	500	403	437	444	395	487	253	214	212	0	0	4084	
A - Alcool	-	D - Diesel	-	E - Eletrico	-	G - Gasolina	-	KG - C K D Gasolina	-	KD - C K D Diesel	-	-	-	-	-	

Empresa : VALTRA DO BRASIL S.A.

Referencia : PRODÍCIO / MODELO

Sector : Tratores

Ano : 2005 (Jan - Dez)

Tabela n.: 1 F.i.: 16

Emissão : 10/01/06 Hora : 18:47:27

	M	E	S	JAN	FEV	MAR	ABR	MAY	JUN	JUL	AGO	SET	OUT	NOV	DEZ	TOTAL
1580 4X4	D		0	0	0	0	0	0	0	0	0	0	0	0	0	0
1780 4X4	D		27	55	44	50	48	64	33	32	23	14	23	0	0	413
1280 4X4	D		20	48	21	16	19	16	19	20	13	13	19	4	0	201
BM100 4X4	D		2	4	12	3	1	7	6	0	2	1	0	0	0	38
BM100 4X4 PCR	D		WT180 4X4	D		31	75	68	36	58	78	24	28	15	0	506
MT164 4X4	D		84	33	137	91	114	119	69	90	43	49	60	43	0	889
WT170 4X4	D		24	48	36	100	69	39	31	97	21	21	71	0	493	
WT120 4X4	D		24	68	53	13	41	45	12	51	51	51	51	51	0	336
BT140 4X4	D		9	21	25	10	20	25	21	16	8	19	0	0	0	201
BT160 4X4	D		39	78	77	58	81	72	110	55	39	42	0	0	0	761
WT180 4X4	D		18	29	31	20	12	0	10	5	14	15	26	0	0	180
WT164 4X4	D		0	0	0	0	0	0	0	4	0	7	3	0	0	21
WT164 4X4 PCR	D		0	0	0	0	0	0	0	0	0	0	0	0	0	0
WT176 4X4	D		0	0	0	0	0	0	0	0	0	0	0	0	0	0
WT190 4X4	D		0	0	0	0	0	0	0	0	0	0	0	0	0	0
WT410 4X4	D		0	0	0	0	0	0	0	0	0	0	0	0	0	0
WT540 4X4	D		0	0	0	0	0	0	0	0	0	0	0	0	0	0
WT560 4X4	D		0	0	0	0	0	0	0	0	0	0	0	0	0	0
TOTAL GERAL			550 	804 	840 	767 	910 	900 	756 	826 	547 	567 	457 	0 	0 	724

A - Alcohol D - Diesel E - Elétrico G - Gasolina KG - C KD Gasolina KD - C KD Diesel

Empresa : OUTRAS EMPRESAS
Referencia : PRODUCAO / MODELO
Sector : Tratores
Ano : 2005 (Jan - Dez)
Tabella n.º 1 F1.
Emissao : 10/01/06 Hora : 09:45

Empresa : NEW HOLLAND LATINO AMERICANA LTDA
 Referencia : PRODUTO / MODELO
 Setor : Tratores
 Ano : 2006 (Jan - Nov)
 Tabela n.º : 1 Fl.: 5
 Emissão : 19/12/06 Hora : 17:43:02

	M	E	S	JAN	FEV	MAR	ABR	MAY	JUN	JUL	AGO	SET	OUT	NOV	DEZ	TOTAL
14.1 TRATORES DE RODAS				450	484	633	579	849	822	897	582	657	671	551	0	7175
14.1.2 DE 50 CV A 99 CV				218	205	201	224	372	330	360	235	185	154	132	0	2516
TL55E 4X4	D			5	0	0	0	0	0	451	3	0	0	20	0	73
TL75E 4X4	D			9	17	12	7	21	14	441	16	18	21	10	0	189
TL75E 4X4	D			95	83	113	120	202	198	141	60	21	31	0	125	
TL85E 4X4	D			53	55	43	51	74	67	571	25	50	69	37	0	581
TL85E 4X4	D			13	39	33	27	61	37	541	30	33	29	30	0	386
TL80E	D			18	21	0	4	0	0	0	1	2	6	4	0	37
TL80E 4X4	D			26	9	0	15	14	19	191	22	8	0	146	0	146
TL80	D			-1	0	0	0	0	0	0	0	0	0	0	0	-1
14.1.3 DE 100 CV A 199 CV				232	279	432	355	477	492	537	347	472	517	419	0	459
TL100	D			0	0	0	0	0	0	0	0	0	0	0	0	0
7630 4X4	D			36	77	88	160	197	136	246	122	142	189	134	0	1527
8030 4X4	D			5	13	34	15	36	53	59	30	33	104	86	0	468
TM135 4X4	D			19	16	38	10	29	50	24	18	55	31	19	0	309
TM150 4X4	D			20	21	10	22	77	61	34	80	41	47	31	0	469
TM165 4X4	D			-7	5	11	4	28	9	26	4	11	9	8	0	108
TM180 4X4	D			13	3	1	10	41	13	0	0	0	0	2	0	46
TS110 4X4	D			-1	38	19	29	28	44	25	42	9	16	14	0	263
TS110 4X4 CANA	D			17	18	46	14	22	26	47	19	27	25	57	0	338
TS120 4X4	D			99	69	177	69	31	47	14	46	68	78	42	0	740
TS90 4X4	D			0	15	0	0	1	11	0	20	34	0	4	0	85
TM180 4X4 CANA	D			29	0	1	10	24	29	31	12	13	18	22	0	189
TS110 4X4 CANA	D			2	4	7	12	0	10	2	0	0	0	0	0	37
14.4 COLHITADEIRAS				62	82	67	48	44	15	0	24	46	50	56	0	494
TC 55	D			3	1	5	1	1	1	0	0	1	1	1	0	57
TC 57	D			6	31	14	13	16	10	6	1	5	0	0	0	197
TC 59	D			46	28	36	14	16	14	1	0	37	29	0	0	184

A - Álcool D - Diesel E - Elétrico G - Gasolina RG - Gasolina RD - C KD Gasolina RD - C KD Diesel

ANFAVEA - Associação Nacional dos Fabricantes de Veículos Automotores
Assessoria de Planejamento Econômico e Estatístico
Indústria Automobilística Brasileira

Empresa : NEW ROLLAND LATINO AMERICANA LTDA
 Referencia : PRODUCCION / MODELO
 Setor : Autopeçarios
 Ano : 2006 (Jan - Nov)
 Tabela n.º : 1 Fl.: 6
 Emissao : 19/12/06 Hora : 17:43:03

Empresa : AGCO DO BRASIL COM. E IND. LTDA
 Referencia : PRODUÇÃO / MODELO
 Setor : Tratores
 Ano : 2006 (Jan - Nov)
 Tabela n.: 1 Fl.: 9
 Emissao : 19/12/06 Hora : 17:43:03

	M	E	S	JAN	FEV	MAR	ABR	MAY	JUN	JUL	AGO	SET	OUT	NOV	DEZ	TOTAL					
14.1 TRATORES DE RODAS				1018		1173		1449		1206		1436		1205		1409	1266	14571	13151	011 140621	
14.1.2 DE 50 CV A 99 CV				917		1012		1139		927		1172		1009		8731	12011	10131	11201	10851	011 114681
MF 265	D			17		18		33		32		42		77		33	45	41	54	13	011 405
MF 265 E	D			46		48		49		14		4		91		6	71	01	24	31	011 213
MF 265 4X4	D			81		7		15		15		38		42		35	29	11	81	31	011 211
MF 250	D			111		3		7		21		5		16		10	21	01	31	1	011 87
MF 275	D			90		54		57		52		107		86		33	81	103	781	16	011 7571
MF 275 4X4	D			83		51		71		97		149		100		77	118	831	1381	87	011 10601
MF 290	D			151		13		26		15		17		11		11	11	11	71	15	011 158
MF 290 4X4	D			221		33		31		24		37		30		61	61	68	59	45	011 411
MF 292	D			2		10		15		8		11		5		5	1	1	3	0	011 61
MF 292 4X4	D			2021		131		161		111		183		90		38	88	152	194	174	011 1524
MF 283	D			61		10		17		28		51		16		9	10	17	8	21	011 147
MF 250 E	D			01		1		0		0		0		0		0	0	0	0	0	011 1
MF 265 4X4 E	D			101		12		16		15		11		01		2	0	0	12	01	011 79
MF 283 4X4	D			801		108		191		97		86		68		50	143	101	179	148	011 1251
MF 275 4X4 E	D			301		28		29		19		11		0		0	0	0	46	01	011 153
MF 290 4X4 CANA	D			21		32		25		39		17		11		12	91	11	11	41	011 67
MF 250 4X4	D			31		1		1		1		21		6		21	31	25	71	14	011 181
MF 275 E	D			1		19		26		20		131		31		23	21	25	01	11	011 25
MF 5275 4X4	D			31		8		3		0		0		0		0	0	0	0	0	011 6
MF 5285 4X4	D			01		1		1		0		24		0		0	0	1	0	1	011 1
MF 5230 4X4	D			01		3		2		31		0		1		1	1	0	1	1	011 22
MF 250 SS	D			01		1		0		0		5		6		1	21	0	0	0	011 4
MF 5300 4X4	D			1		1		0		0		1		1		2	0	0	3	0	011 9
MF 471	D			361		23		1		0		0		0		0	0	0	0	0	011 60
MF 481 4X4	D			121		31		22		0		0		0		0	0	0	0	0	011 65
MF 481	D			131		16		6		0		0		0		0	0	0	0	0	011 35
MF 451	D			31		11		0		0		0		0		0	0	0	0	0	011 42
MF 451 4X4	D			19		191		6		0		0		0		0	0	0	0	0	011 44
MF 471 4X4	D			14		25		1		0		0		0		0	0	0	0	0	011 40
AA 6.125	D			3		6		8		4		11		0		6	5	3	21	1	011 49
MF 435	D			01		0		28		10		01		16		32	36	84	61	75	011 3871

A - Alcohol D - Diesel E - Eletrico G - Gasolina KG - C K D Gasolina RD - C K D Diesel

Empresa : AGCO DO BRASIL COM. E IND. LTDA
 Referencia : PRODUCAO / MODELO
 Setor : Tratores
 Ano : 2006 (Jan - Nov)

Tabela n.º 1 10 F1.: 10

Emissão : 19/12/06 Hora : 17:43:03

	M	E	S	JAN	FEV	MAR	ABR	MAY	JUN	JUL	AGO	SET	OUT	NOV	DEZ	TOTAL
MF 435 4X4	D			33	24	19	31	1	29	0	6	8	4	0	0	174
MF 440	D			10	28	55	55	35	53	94	41	67	0	0	0	531
MF 440 4X4	D			35	106	59	74	15	53	0	0	37	42	0	0	952
MF 535 4X4	D			0	1	0	3	0	3	0	0	0	0	0	0	0
MF 535 4X4	D			10	7	17	26	26	26	25	3	78	0	0	0	257
MF 415	D			2	1	2	0	8	0	1	0	9	3	0	0	26
MF 415 4X4	D			2	4	3	1	9	6	0	0	0	1	0	0	61
MF 425	D			0	1	0	0	0	0	0	0	0	0	0	0	2
MF 5340	D			0	3	15	2	0	0	1	0	0	0	0	0	21
MF 5340 4X4	D			0	1	2	4	4	1	20	1	4	0	0	0	39
MF 491	4X4	D		2	0	4	0	0	0	0	0	0	0	0	0	6
MF 492	4X4	D		5	6	0	0	0	0	0	0	0	0	0	0	17
MF 492 4X4	D			43	56	26	0	0	0	0	0	0	0	0	0	125
MF 491	D			3	5	6	0	0	0	0	0	0	0	0	0	14
MF 460 4X4	D			7	9	27	11	19	65	8	15	20	91	0	0	334
MF 460	D			0	4	5	4	8	3	6	0	0	3	0	0	36
AA 6.75	D			1	1	6	5	15	2	0	2	1	1	0	0	29
AA 6.95 4X4	D			2	3	6	6	7	11	0	17	9	2	0	0	63
AA 6.95	D			1	2	8	6	6	6	0	0	3	2	0	0	35
AA 6.75 4X4	D			1	0	4	0	4	1	0	0	1	0	2	0	11
MF 481 4X4 E	D			0	0	0	0	0	0	0	0	0	0	0	0	1
MF 490 4X4	D			0	1	0	0	0	0	0	0	0	0	0	0	1
MF 473	D			0	1	3	0	0	0	0	0	0	0	0	0	34
MF 473 4X4	D			0	1	2	0	0	0	0	0	0	0	0	0	34
MF 493	D			0	0	0	0	0	0	0	0	0	0	0	0	3
MF 493 4X4	D			0	0	0	0	0	0	0	0	0	0	0	0	11
MF 496	D			0	0	0	0	0	0	0	0	0	0	0	0	4
MF 496 4X4	D			0	0	0	0	0	0	0	0	0	0	0	0	5
MF 573	D			0	0	0	0	0	0	0	0	0	0	0	0	144
MF 573 4X4	D			0	0	0	0	0	0	0	0	0	0	0	0	208
MF 583	D			0	0	0	0	0	0	0	0	0	0	0	0	66
MF 583 4X4	D			0	0	0	0	0	0	0	0	0	0	0	0	191
MF 593	4X4	D		0	0	0	0	0	0	0	0	0	0	0	0	73
MF 596	D			0	0	0	0	0	0	0	0	0	0	0	0	110
MF 596 4X4	D			0	0	0	0	0	0	0	0	0	0	0	0	93
MF 5225	D			0	0	0	0	0	0	0	0	0	0	0	0	2
MF 593	D			0	0	0	0	0	0	0	0	0	0	0	0	1
MF 5225	D			0	0	0	0	0	0	0	0	0	0	0	0	4
AA 6.80 4X4	D			0	0	0	0	0	0	0	0	0	0	0	0	5
MF 445 4X4	D			0	0	0	0	0	0	0	0	0	0	0	0	9

A - Alcool D - Diesel E - Elétrico G - Gasolina KG - C KD Gasolina KG - C KD Gasolina

KD - C KD Diesel KD - C KD Diesel

Empresa : AGCO DO BRASIL COM. E IND. LTDA
 Referencia : PRODUCAO / MODELO
 Setor : Tratores
 Ano : 2006 (Jan - Nov)
 Tabela n.: 1
 Emissao : 19/12/06 Hora : 17:43:03

	M	E	S	JAN	FEV	MAR	ABR	MAI	JUN	JUL	AGO	SET	OUT	NOV	DEZ	TOTAL
+ 14.1.3 DE 1000 CV A 199 CV				101	161	210	219	264	196	255	208	231	237	230	01	2594
+ MF 283 4X4 E	D			1	3	9	0	0	0	0	0	0	0	0	0	0
+ MF 297	D			11	28	37	30	21	23	32	29	59	51	01	45	354
- MF 299 4X4	D			22	25	42	39	18	24	17	42	21	01	01	01	316
- MF 297 4X4	D			3	7	23	14	8	6	20	19	29	17	01	01	178
- MF 650 4X4	D			20	18	25	13	43	9	15	25	11	13	01	01	199
- MF 660 4X4	D			21	34	59	60	56	61	52	39	69	68	01	01	569
- MF 680 4X4	D			1	2	0	1	1	3	1	5	3	41	01	01	26
- MF 5310 4X4	D			1	1	2	2	1	1	0	0	0	0	01	01	9
- MF 5320 4X4	D			1	1	1	1	1	1	0	0	0	0	01	01	40
- AA 6.110	D			1	1	1	1	1	1	1	1	1	1	01	01	44
- AA 6.110 4X4	D			2	1	6	7	0	11	5	5	11	01	01	01	104
- AA 6.125 4X4	D			2	6	11	16	17	01	14	16	7	10	01	01	104
- AA 6.175 4X4	D			2	1	8	0	0	0	0	0	0	0	01	01	14
- MF 298 4X4	D			0	1	17	0	14	0	0	5	0	4	01	01	60
- MF 630 4X4	D			21	21	5	14	11	7	10	3	5	0	01	01	49
- AA 6.150 4X4	D			3	1	8	32	1	0	0	0	0	0	01	01	52
- MF 465 4X4	D			2	4	2	5	31	38	9	6	01	16	01	01	174
- MF 475 4X4	D			0	21	27	17	12	18	46	24	1	01	01	01	35
- MF 5360 4X4	D			1	2	3	0	0	0	0	0	0	0	01	01	8
- MF 5365 4X4	D			5	3	10	11	1	5	1	1	0	0	01	01	49
- AA 6.190 4X4	D			1	2	0	0	0	0	0	0	0	0	01	01	6
- AA 6.220 4X4	D			0	1	1	4	0	0	0	0	0	0	01	01	2
- MF 5365	D			0	1	0	0	0	0	0	0	0	0	01	01	22
- AA 6.60 4X4	D			0	2	0	1	3	2	1	1	1	1	01	01	11
- AA 6.80	D			0	4	4	2	3	1	1	1	1	1	01	01	18
- MF 6350 4X4	D			0	0	0	0	0	1	1	1	4	11	01	01	22
- MF 6360 4X4	D			0	0	0	0	0	1	4	5	0	4	01	01	39
+ 14.4 COLHATADIRAS				102	88	67	48	0	0	52	0	0	42	11	01	410
+ 3640	D			2	7	0	4	0	0	4	0	0	4	01	01	23
- 5650	D			64	55	42	31	0	0	48	0	0	30	6	01	276
- MF 38	D			0	31	2	1	0	0	0	0	1	3	01	01	10
- MF 34	D			20	9	6	0	0	0	0	0	2	0	01	01	46

A - Alcool D - Diesel E - Eletrico G - Gasolina KG - C K D Gasolina KD - C K D Diesel

ANFAVEA - Associação Nacional dos Fabricantes de Veículos Automotores
 Assessoria de Planejamento Econômico e Estatístico
 Indústria Automobilística Brasileira

Empresa : AGCO DO BRASIL COM. E IND. LTDA
 Referencia : Produtico / MODELO
 Setor : Automóveis
 Ano : 2006 (Jan - Nov)
 Tabela n.: 1 Fl.: 12
 Emissão : 19/12/06 Hora : 17:43:03

	M	E	S	JAN	FEV	MAR	ABR	MAY	JUN	JUL	AGO	SET	OUT	NOV	DEZ	TOTAL
AA 550 GTH	D			14	12	11	6	0	0	0	0	0	5	0	0	48
AA 660 GTH	D			2	2	3	0	0	0	0	0	0	0	0	0	7
TOTAL GERAL ----->				1120	1261	1516	1254	1436	1205	1180	1409	1266	1199	1326	0	14472
A - Alcohol																-
D - Diesel																-
E - Elétrico																-
G - Gasolina																-
KG - C K D Gasolina																-
KD - C K D Diesel																-

A - Alcohol D - Diesel E - Elétrico G - Gasolina KG - C K D Gasolina KD - C K D Diesel

Empresa : JOHN DEERE BRASIL S.A.

Referencia : PRODUÇÃO / MODELO

Sator : Tratores

Ano : 2006 (Jan - Nov)

Tabela n.: 1 Fl.: 14

Emissao : 19/12/06 Hora : 17:43:03

	M	E	S	JAN	FEV	MAR	ABR	MAY	JUN	JUL	SET	OUT	NOV	DEZ	TOTAL	
4.1 TRATORES DE RODAS				871	248	229	367	310	412	223	235	270	217	324	0	2912
4.1.1 DE 50 CV A 99 CV				481	104	119	150	229	255	159	173	160	130	211	0	1738
5403	D			0	6	3	6	21	16	25	9	14	4	12	0	116
5403 4X4	D			71	16	21	29	32	27	13	21	7	34	0	228	
5605	D			0	4	-2	4	12	19	6	12	3	6	18	0	82
5605 4X4	D			41	6	23	5	23	37	21	21	5	15	10	0	186
5705	D			3	2	-21	5	6	31	5	5	11	3	0	0	27
5705 4X4	D			20	38	60	59	89	95	34	64	50	55	91	0	655
6415	X4			141	32	35	42	46	56	57	41	46	32	43	0	444
4.1.1.3 DE 100 CV A 159 CV				391	144	110	217	81	157	64	82	110	87	113	0	1244
6615	4X4	D		161	31	32	72	37	44	10	25	27	11	39	0	344
7515	4X4	D		231	113	78	145	44	113	54	57	83	76	74	0	850
4.4 COHETE/TRAÇAS				961	240	204	148	0	0	1	0	82	63	87	0	921
1165	D			0	2	3	0	0	1	0	0	0	3	0	0	16
1175	D			101	107	35	2	0	0	0	0	0	8	30	0	200
1450	D			43	35	61	107	0	0	0	0	0	2	0	0	248
1550	D			111	35	52	36	0	0	0	0	0	4	0	0	138
9650	D			24	34	42	0	0	0	0	0	55	38	30	0	223
9750	D			81	23	12	0	0	0	0	0	19	8	20	0	90
1650 CMS	D			0	6	0	0	0	0	0	0	0	0	0	0	6
TOTAL GERAL ----->				1831	488	433	515	310	412	224	255	352	280	411	0	3833
A - Alcool	D - Diesel	E - Eletrico	G - Gasolina	KG - Gasolina												

KD - C KD Gasolina

Empresa : VALTRA DO BRASIL S.A.

Referencia : PRODUÇÃO / MODELO

Sector : Tratores

Ano : 2006 (Jan - Nov)

Tabela n.: 1 F1.: 15

Emissão : 19/12/06 Hora : 17:43:03

	M	E	S	JAN	FEV	MAR	ABR	MAY	JUN	JUL	AGO	SET	OUT	NOV	DEZ	TOTAL
4.1 TRATORES DE RODAS				436	568	742	569	743	681	641	697	579	611	579	0	6846
4.1.2 DE 50 CV A 99 CV				230	251	317	217	268	290	318	358	277	190	182	0	2918
685 4X4	D			25	14	12	2	13	3	5	19	13	5	4	0	115
685 4X4	D			15	25	6	16	16	16	26	25	22	28	18	0	213
785 4X4	D			7	22	5	7	10	22	28	20	17	7	10	0	155
785 4X4	D			40	50	80	57	53	46	38	38	69	27	27	0	565
800 4X4	D			21	0	0	0	0	2	0	1	4	0	21	0	86
700 4X4	D			1	0	0	0	0	0	0	0	1	0	0	0	7
700 4X4	D			51	0	0	0	0	0	0	0	1	1	0	0	53
200 4X4	D			10	4	5	3	11	7	10	10	12	12	11	0	92
BF75 4X4	D			24	38	56	26	39	37	34	32	32	16	44	0	380
BF65	D			10	1	1	5	5	7	10	6	4	16	3	0	83
BF65 4X4	D			1	1	4	7	6	10	5	4	5	5	6	0	54
BF75	D			6	12	10	7	7	8	12	10	10	9	6	0	90
BM85 PCR	D			0	0	9	0	4	2	0	0	0	0	0	0	165
BM85 4X4 PCR	D			18	15	47	5	5	8	7	26	11	17	8	3	0
BL77	D			0	2	4	2	1	4	5	5	5	5	1	0	25
BL77 4X4	D			23	12	3	10	23	22	28	20	17	12	5	0	175
BL88 4X4	D			34	34	48	16	48	61	32	70	39	26	37	0	445
BL88	D			1	4	5	1	0	1	4	0	2	1	1	0	23
WT315N 4X4	D			0	3	0	1	2	6	7	2	4	0	0	0	25
WT315N 4X4	D			3	1	0	1	1	12	14	8	0	0	0	0	76
WT460 4X4	D			4	3	0	0	0	0	2	1	1	0	1	0	16
WT315N	D			0	0	1	0	0	0	0	0	0	0	0	0	1
585 4X4	D			0	0	0	0	0	0	0	0	0	0	0	0	43
800	D			0	0	0	0	0	0	0	0	0	0	0	0	41
WT390	D			0	0	0	0	0	0	0	0	0	0	0	0	8
585	D			0	0	0	0	0	0	0	0	0	0	0	0	8
14.1.3 DE 100 CV A 199 CV				2061	317	425	352	455	391	323	339	302	421	397	0	3926
1780 4X4	D			1	1	1	1	1	1	1	1	1	1	1	1	348
1280 4X4	D			25	25	28	16	14	22	21	13	11	10	26	0	198

A - Alcool D - Diesel E - Elettrico G - Gasolina KG - C K D Gasolina RD - C K D Diesel

Empresa : OUTRAS EMPRESAS
Referencia : PRODUCAO / MODELO
Setor : Tratores
Ano : 2006 (Jan - Nov)
Emissoa n. : 1 F1.
Hora : 19/12/06

ANEXO F – Modelo simulando batente superior

Apenas os elementos não nulos das matrizes de massa e rigidez estão representados

$m(1,1)=47.5741;$	$m(37,37)=13.2559;$	$m(73,73)=38.1507;$
$m(2,2)=47.5741;$	$m(38,38)=13.2559;$	$m(74,74)=38.1507;$
$m(3,3)=47.5741;$	$m(39,39)=13.2559;$	$m(75,75)=38.1507;$
$m(4,4)=0.247434;$	$m(40,40)=0.0939244;$	$m(76,76)=2.24107;$
$m(5,5)=0.247434;$	$m(41,41)=0.0939244;$	$m(77,77)=2.24107;$
$m(6,6)=0.247434;$	$m(42,42)=0.0939244;$	$m(78,78)=2.24107;$
$m(7,7)=114.829;$	$m(43,43)=13.1318;$	$m(79,79)=37.8105;$
$m(8,8)=114.829;$	$m(44,44)=13.1318;$	$m(80,80)=37.8105;$
$m(9,9)=114.829;$	$m(45,45)=13.1318;$	$m(81,81)=37.8105;$
$m(10,10)=14.0101;$	$m(46,46)=0.0936255;$	$m(82,82)=2.23492;$
$m(11,11)=14.0101;$	$m(47,47)=0.0936255;$	$m(83,83)=2.23492;$
$m(12,12)=14.0101;$	$m(48,48)=0.0936255;$	$m(84,84)=2.23492;$
$m(13,13)=61.2105;$	$m(49,49)=13.2559;$	$m(85,85)=67.5031;$
$m(14,14)=61.2105;$	$m(50,50)=13.2559;$	$m(86,86)=67.5031;$
$m(15,15)=61.2105;$	$m(51,51)=13.2559;$	$m(87,87)=67.5031;$
$m(16,16)=2.12209;$	$m(52,52)=0.0939244;$	$m(88,88)=2.12456;$
$m(17,17)=2.12209;$	$m(53,53)=0.0939244;$	$m(89,89)=2.12456;$
$m(18,18)=2.12209;$	$m(54,54)=0.0939244;$	$m(90,90)=2.12456;$
$m(19,19)=6.58762;$	$m(55,55)=13.1318;$	$m(91,91)=6.2926;$
$m(20,20)=6.58762;$	$m(56,56)=13.1318;$	$m(92,92)=6.2926;$
$m(21,21)=6.58762;$	$m(57,57)=13.1318;$	$m(93,93)=6.2926;$
$m(22,22)=0.110216;$	$m(58,58)=0.0936255;$	$m(94,94)=0.0024707;$
$m(23,23)=0.110216;$	$m(59,59)=0.0936255;$	$m(95,95)=0.0024707;$
$m(24,24)=0.110216;$	$m(60,60)=0.0936255;$	$m(96,96)=0.0024707;$
$m(25,25)=3.23176;$	$m(61,61)=38.1507;$	$m(97,97)=145.063;$
$m(26,26)=3.23176;$	$m(62,62)=38.1507;$	$m(98,98)=145.063;$
$m(27,27)=3.23176;$	$m(63,63)=38.1507;$	$m(99,99)=145.063;$
$m(28,28)=0.0549588;$	$m(64,64)=2.24107;$	$m(100,100)=14.142;$
$m(29,29)=0.0549588;$	$m(65,65)=2.24107;$	$m(101,101)=14.142;$
$m(30,30)=0.0549588;$	$m(66,66)=2.24107;$	$m(102,102)=14.142;$
$m(31,31)=3.23176;$	$m(67,67)=37.8105;$	$m(103,103)=30.2337;$
$m(32,32)=3.23176;$	$m(68,68)=37.8105;$	$m(104,104)=30.2337;$
$m(33,33)=3.23176;$	$m(69,69)=37.8105;$	$m(105,105)=30.2337;$
$m(34,34)=0.0549588;$	$m(70,70)=2.23492;$	$m(106,106)=0.131896;$
$m(35,35)=0.0549588;$	$m(71,71)=2.23492;$	$m(107,107)=0.131896;$
$m(36,36)=0.0549588;$	$m(72,72)=2.23492;$	$m(108,108)=0.131896;$

$k(1,1)=4.40737e+10;$
 $k(1,6)=-6.69239e+07;$
 $k(1,19)=-3.9367e+08;$
 $k(1,97)=-2.184e+10;$
 $k(1,103)=-2.184e+10;$
 $k(2,2)=2.26628e+10;$
 $k(2,20)=-2.47059e+09;$
 $k(2,98)=-1.00961e+10;$
 $k(2,102)=-1.26202e+09;$
 $k(2,104)=-1.00961e+10;$
 $k(2,108)=1.26202e+09;$
 $k(3,3)=2.05859e+10;$
 $k(3,4)=6.69239e+07;$
 $k(3,21)=-3.9367e+08;$
 $k(3,99)=-1.00961e+10;$
 $k(3,101)=1.26202e+09;$
 $k(3,105)=-1.00961e+10;$
 $k(3,107)=-1.26202e+09;$
 $k(4,3)=6.69239e+07;$
 $k(4,4)=7.64811e+07;$
 $k(4,21)=-6.69239e+07;$
 $k(4,100)=-3.2552e+07;$
 $k(4,106)=-3.2552e+07;$
 $k(5,5)=4.20672e+08;$
 $k(5,99)=-1.26202e+09;$
 $k(5,101)=1.05168e+08;$
 $k(5,105)=-1.26202e+09;$
 $k(5,107)=1.05168e+08;$
 $k(6,1)=-6.69239e+07;$
 $k(6,6)=4.32049e+08;$
 $k(6,19)=6.69239e+07;$
 $k(6,98)=1.26202e+09;$
 $k(6,102)=1.05168e+08;$
 $k(6,104)=-1.26202e+09;$
 $k(6,108)=1.05168e+08;$
 $k(7,7)=4.5124e+09;$
 $k(7,97)=-4.5124e+09;$
 $k(8,8)=8.90469e+07;$
 $k(8,12)=-5.38734e+07;$
 $k(8,98)=-8.90469e+07;$
 $k(8,102)=-5.38734e+07;$
 $k(9,9)=8.90469e+07;$
 $k(9,11)=5.38734e+07;$
 $k(9,99)=-8.90469e+07;$
 $k(9,101)=-5.38734e+07;$
 $k(10,10)=6.72562e+06;$
 $k(10,100)=-6.72562e+06;$
 $k(11,9)=5.38734e+07;$
 $k(11,11)=4.34579e+07;$
 $k(11,99)=-5.38734e+07;$
 $k(11,101)=2.17289e+07;$
 $k(12,8)=-5.38734e+07;$
 $k(12,12)=4.34579e+07;$
 $k(12,98)=-5.38734e+07;$
 $k(12,102)=2.17289e+07;$
 $k(13,13)=8.46512e+09;$
 $k(13,85)=-8.46512e+09;$
 $k(14,14)=5.8789e+08;$
 $k(14,18)=1.89594e+08;$
 $k(14,86)=-5.8789e+08;$
 $k(14,90)=1.89594e+08;$
 $k(15,15)=5.8789e+08;$
 $k(15,17)=-1.89594e+08;$
 $k(15,87)=-5.8789e+08;$
 $k(15,89)=-1.89594e+08;$
 $k(16,16)=1.26171e+07;$
 $k(16,88)=-1.26171e+07;$

 $k(17,15)=-1.89594e+08;$
 $k(17,17)=8.15256e+07;$
 $k(17,87)=1.89594e+08;$
 $k(17,89)=4.07628e+07;$
 $k(18,14)=1.89594e+08;$
 $k(18,18)=8.15256e+07;$
 $k(18,86)=-1.89594e+08;$
 $k(18,90)=4.07628e+07;$
 $k(19,1)=-3.9367e+08;$
 $k(19,6)=6.69239e+07;$
 $k(19,19)=7.79613e+08;$
 $k(19,25)=-1.92971e+08;$
 $k(19,26)=-1.89029e+07;$
 $k(19,27)=-3.6976e+08;$
 $k(19,28)=1.00711e-11;$
 $k(19,29)=-841306;$
 $k(19,30)=43009.4;$
 $k(19,31)=-1.92971e+08;$
 $k(19,32)=1.89029e+07;$
 $k(19,33)=3.6976e+08;$
 $k(19,34)=-1.00711e-11;$
 $k(19,35)=-841306;$
 $k(19,36)=43009.4;$
 $k(20,2)=-2.47059e+09;$
 $k(20,20)=2.47853e+09;$
 $k(20,21)=7.32374e+07;$
 $k(20,25)=-1.89029e+07;$
 $k(20,26)=-3.97005e+06;$
 $k(20,27)=-3.66187e+07;$
 $k(20,28)=841306;$
 $k(20,29)=8.61444e-12;$
 $k(20,30)=-434290;$
 $k(20,31)=1.89029e+07;$
 $k(20,32)=-3.97005e+06;$
 $k(20,33)=-3.66187e+07;$
 $k(20,34)=841306;$
 $k(20,35)=-8.61444e-12;$
 $k(20,36)=434290;$
 $k(21,3)=-3.9367e+08;$
 $k(21,4)=-6.69239e+07;$
 $k(21,20)=7.32374e+07;$
 $k(21,21)=1.83046e+09;$
 $k(21,25)=-3.6976e+08;$
 $k(21,26)=-3.66187e+07;$
 $k(21,27)=-7.18395e+08;$
 $k(21,28)=-43009.4;$
 $k(21,29)=434290;$
 $k(21,30)=1.86321e-13;$
 $k(21,31)=3.6976e+08;$
 $k(21,32)=-3.66187e+07;$
 $k(21,33)=-7.18395e+08;$
 $k(21,34)=-43009.4;$
 $k(21,35)=-434290;$
 $k(21,36)=-1.86321e-13;$
 $k(22,22)=3;$
 $k(23,23)=3;$
 $k(24,24)=3;$
 $k(25,19)=-1.92971e+08;$
 $k(25,20)=-1.89029e+07;$
 $k(25,21)=-3.6976e+08;$
 $k(25,25)=1.92971e+08;$
 $k(25,26)=1.89029e+07;$
 $k(25,27)=3.6976e+08;$
 $k(25,28)=-1.00711e-11;$
 $k(25,29)=841306;$
 $k(25,30)=-43009.4;$
 $k(26,19)=-1.89029e+07;$
 $k(26,20)=-3.97005e+06;$

 $k(26,21)=-3.66187e+07;$
 $k(26,25)=1.89029e+07;$
 $k(26,26)=3.97005e+06;$
 $k(26,27)=-3.66187e+07;$
 $k(26,28)=-841306;$
 $k(26,29)=-8.61444e-12;$
 $k(26,30)=434290;$
 $k(27,19)=-3.6976e+08;$
 $k(27,20)=-3.66187e+07;$
 $k(27,21)=-7.18395e+08;$
 $k(27,25)=3.6976e+08;$
 $k(27,26)=-3.66187e+07;$
 $k(27,27)=7.18395e+08;$
 $k(27,28)=43009.4;$
 $k(27,29)=-434290;$
 $k(27,30)=-1.86321e-13;$
 $k(28,19)=1.00711e-11;$
 $k(28,20)=841306;$
 $k(28,21)=-43009.4;$
 $k(28,25)=-1.00711e-11;$
 $k(28,26)=-841306;$
 $k(28,27)=43009.4;$
 $k(28,28)=338245;$
 $k(28,29)=-8902.94;$
 $k(28,30)=-174150;$
 $k(29,19)=-841306;$
 $k(29,20)=8.61444e-12;$
 $k(29,21)=434290;$
 $k(29,25)=841306;$
 $k(29,26)=-8.61444e-12;$
 $k(29,27)=-434290;$
 $k(29,28)=-8902.94;$
 $k(29,29)=427262;$
 $k(29,30)=-17246.8;$
 $k(30,19)=43009.4;$
 $k(30,20)=-434290;$
 $k(30,21)=1.86321e-13;$
 $k(30,25)=-43009.4;$
 $k(30,26)=434290;$
 $k(30,27)=-1.86321e-13;$
 $k(30,28)=-174150;$
 $k(30,29)=-17246.8;$
 $k(30,30)=90779.7;$
 $k(31,19)=-1.92971e+08;$
 $k(31,20)=1.89029e+07;$
 $k(31,21)=3.6976e+08;$
 $k(31,31)=1.92971e+08;$
 $k(31,32)=-1.89029e+07;$
 $k(31,33)=-3.6976e+08;$
 $k(31,34)=1.00711e-11;$
 $k(31,35)=841306;$
 $k(31,36)=-43009.4;$
 $k(32,19)=1.89029e+07;$
 $k(32,20)=-3.97005e+06;$
 $k(32,21)=-3.66187e+07;$
 $k(32,31)=-1.89029e+07;$
 $k(32,32)=3.97005e+06;$
 $k(32,33)=3.66187e+07;$
 $k(32,34)=-841306;$
 $k(32,35)=8.61444e-12;$
 $k(32,36)=-434290;$
 $k(33,19)=3.6976e+08;$
 $k(33,20)=-3.66187e+07;$
 $k(33,21)=-7.18395e+08;$
 $k(33,31)=-3.6976e+08;$
 $k(33,32)=3.66187e+07;$
 $k(33,33)=7.18395e+08;$
 $k(33,34)=43009.4;$

k(33,35)=434290;
 k(33,36)=1.86321e-13;
 k(34,19)=-1.00711e-11;
 k(34,20)=841306;
 k(34,21)=-43009.4;
 k(34,31)=1.00711e-11;
 k(34,32)=-841306;
 k(34,33)=43009.4;
 k(34,34)=338245;
 k(34,35)=8902.94;
 k(34,36)=174150;
 k(35,19)=-841306;
 k(35,20)=-8.61444e-12;
 k(35,21)=-434290;
 k(35,31)=841306;
 k(35,32)=8.61444e-12;
 k(35,33)=434290;
 k(35,34)=8902.94;
 k(35,35)=427262;
 k(35,36)=-17246.8;
 k(36,19)=43009.4;
 k(36,20)=434290;
 k(36,21)=-1.86321e-13;
 k(36,31)=-43009.4;
 k(36,32)=-434290;
 k(36,33)=1.86321e-13;
 k(36,34)=174150;
 k(36,35)=-17246.8;
 k(36,36)=90779.7;
 k(37,37)=6.93248e+08;
 k(37,43)=-2.99578e+08;
 k(37,48)=-8.76266e+07;
 k(37,85)=-3.9367e+08;
 k(37,90)=6.69239e+07;
 k(38,38)=1.13014e+10;
 k(38,44)=-8.83077e+09;
 k(38,86)=-2.47059e+09;
 k(39,39)=6.93248e+08;
 k(39,45)=-2.99578e+08;
 k(39,46)=8.76266e+07;
 k(39,87)=-3.9367e+08;
 k(39,88)=-6.69239e+07;
 k(40,40)=2;
 k(41,41)=2;
 k(42,42)=2;
 k(43,37)=-2.99578e+08;
 k(43,43)=2.99578e+08;
 k(43,48)=8.76266e+07;
 k(44,38)=-8.83077e+09;
 k(44,44)=8.83077e+09;
 k(45,39)=-2.99578e+08;
 k(45,45)=2.99578e+08;
 k(45,46)=-8.76266e+07;
 k(46,39)=8.76266e+07;
 k(46,45)=-8.76266e+07;
 k(46,46)=-2.56308e+07;
 k(48,37)=-8.76266e+07;
 k(48,43)=8.76266e+07;
 k(48,48)=2.56308e+07;
 k(49,49)=6.93248e+08;
 k(49,55)=-2.99578e+08;
 k(49,60)=-8.76266e+07;
 k(49,91)=-3.9367e+08;
 k(49,96)=6.69239e+07;
 k(50,50)=1.13014e+10;
 k(50,56)=-8.83077e+09;
 k(50,92)=-2.47059e+09;
 k(51,51)=6.93248e+08;
 k(51,57)=-2.99578e+08;
 k(51,58)=8.76266e+07;
 k(51,93)=-3.9367e+08;
 k(51,94)=-6.69239e+07;
 k(52,52)=2;
 k(53,53)=2;
 k(54,54)=2;
 k(55,49)=-2.99578e+08;
 k(55,55)=2.99578e+08;
 k(55,60)=8.76266e+07;
 k(56,50)=-8.83077e+09;
 k(56,56)=8.83077e+09;
 k(57,51)=-2.99578e+08;
 k(57,57)=2.99578e+08;
 k(57,58)=-8.76266e+07;
 k(58,51)=8.76266e+07;
 k(58,57)=-8.76266e+07;
 k(58,58)=2.56308e+07;
 k(60,49)=-8.76266e+07;
 k(60,55)=8.76266e+07;
 k(60,60)=2.56308e+07;
 k(61,61)=3.16626e+07;
 k(61,67)=-1.255e+07;
 k(61,71)=-5.27099e+06;
 k(61,72)=-9.16148e+06;
 k(61,97)=-1.91126e+07;
 k(61,101)=2.48464e+06;
 k(61,102)=-8.5529e+06;
 k(62,62)=3.13998e+09;
 k(62,63)=-1.08396e+09;
 k(62,68)=-2.30735e+09;
 k(62,69)=1.32029e+09;
 k(62,70)=5.27099e+06;
 k(62,98)=-8.32633e+08;
 k(62,99)=-2.3633e+08;
 k(62,100)=-2.48464e+06;
 k(63,62)=-1.08396e+09;
 k(63,63)=8.59939e+08;
 k(63,68)=1.32029e+09;
 k(63,69)=-7.72172e+08;
 k(63,70)=9.16148e+06;
 k(63,98)=-2.3633e+08;
 k(63,99)=-8.77671e+07;
 k(63,100)=8.5529e+06;
 k(64,64)=2;
 k(65,65)=2;
 k(66,66)=2;
 k(67,61)=-1.255e+07;
 k(67,67)=1.255e+07;
 k(67,71)=5.27099e+06;
 k(67,72)=9.16148e+06;
 k(68,62)=-2.30735e+09;
 k(68,63)=1.32029e+09;
 k(68,68)=2.30735e+09;
 k(68,69)=-1.32029e+09;
 k(68,70)=-5.27099e+06;
 k(69,62)=1.32029e+09;
 k(69,63)=-7.72172e+08;
 k(69,68)=-1.32029e+09;
 k(69,69)=-7.72172e+08;
 k(69,70)=-9.16148e+06;
 k(70,62)=5.27099e+06;
 k(70,63)=9.16148e+06;
 k(70,68)=-5.27099e+06;
 k(70,69)=-9.16148e+06;
 k(70,70)=8.90169e+06;
 k(71,61)=-5.27099e+06;
 k(71,67)=5.27099e+06;
 k(71,71)=2.21381e+06;
 k(71,72)=3.84782e+06;
 k(72,61)=-9.16148e+06;
 k(72,67)=9.16148e+06;
 k(72,71)=3.84782e+06;
 k(72,72)=6.68788e+06;
 k(73,73)=3.16626e+07;
 k(73,79)=-1.255e+07;
 k(73,83)=-5.27099e+06;
 k(73,84)=-9.16148e+06;
 k(73,103)=-1.91126e+07;
 k(73,107)=2.48464e+06;
 k(73,108)=-8.5529e+06;
 k(74,74)=3.13998e+09;
 k(74,75)=-1.08396e+09;
 k(74,80)=-2.30735e+09;
 k(74,81)=1.32029e+09;
 k(74,82)=5.27099e+06;
 k(74,104)=8.32633e+08;
 k(74,105)=-2.3633e+08;
 k(74,106)=-2.48464e+06;
 k(75,74)=-1.08396e+09;
 k(75,75)=8.59939e+08;
 k(75,80)=1.32029e+09;
 k(75,81)=-7.72172e+08;
 k(75,82)=9.16148e+06;
 k(75,104)=-2.3633e+08;
 k(75,105)=-8.77671e+07;
 k(75,106)=8.5529e+06;
 k(76,76)=2;
 k(77,77)=2;
 k(78,78)=2;
 k(79,73)=-1.255e+07;
 k(79,79)=1.255e+07;
 k(79,83)=5.27099e+06;
 k(79,84)=9.16148e+06;
 k(80,74)=-2.30735e+09;
 k(80,75)=1.32029e+09;
 k(80,80)=2.30735e+09;
 k(80,81)=-1.32029e+09;
 k(80,82)=-5.27099e+06;
 k(81,74)=1.32029e+09;
 k(81,75)=-7.72172e+08;
 k(81,80)=-1.32029e+09;
 k(81,81)=7.72172e+08;
 k(81,82)=-9.16148e+06;
 k(82,74)=5.27099e+06;
 k(82,75)=9.16148e+06;
 k(82,80)=-5.27099e+06;
 k(82,81)=-9.16148e+06;
 k(82,82)=8.90169e+06;
 k(83,73)=-5.27099e+06;
 k(83,79)=5.27099e+06;
 k(83,83)=2.21381e+06;
 k(83,84)=3.84782e+06;
 k(84,73)=-9.16148e+06;
 k(84,79)=9.16148e+06;
 k(84,83)=3.84782e+06;
 k(84,84)=6.68788e+06;
 k(85,13)=-8.46512e+09;
 k(85,37)=-3.9367e+08;
 k(85,85)=9.28588e+10;
 k(85,90)=-6.69239e+07;
 k(85,97)=-8.4e+10;
 k(86,14)=-5.8789e+08;
 k(86,18)=-1.89594e+08;
 k(86,38)=-2.47059e+09;
 k(86,86)=5.77485e+11;
 k(86,90)=1.84793e+10;
 k(86,98)=-5.74427e+11;
 k(86,102)=1.86689e+10;

$k(87,15) = -5.8789e+08$;
 $k(87,17) = 1.89594e+08$;
 $k(87,39) = -3.9367e+08$;
 $k(87,87) = 5.75409e+11$;
 $k(87,88) = 6.69239e+07$;
 $k(87,89) = -1.84793e+10$;
 $k(87,99) = -5.74427e+11$;
 $k(87,101) = -1.86689e+10$;
 $k(88,16) = -1.26171e+07$;
 $k(88,39) = -6.69239e+07$;
 $k(88,87) = 6.69239e+07$;
 $k(88,88) = 1.49194e+08$;
 $k(88,100) = -1.252e+08$;
 $k(89,15) = -1.89594e+08$;
 $k(89,17) = 4.07628e+07$;
 $k(89,87) = -1.84793e+10$;
 $k(89,89) = 8.9051e+08$;
 $k(89,99) = 1.86689e+10$;
 $k(89,101) = 4.04492e+08$;
 $k(90,14) = 1.89594e+08$;
 $k(90,18) = 4.07628e+07$;
 $k(90,37) = 6.69239e+07$;
 $k(90,85) = -6.69239e+07$;
 $k(90,86) = 1.84793e+10$;
 $k(90,90) = 9.01887e+08$;
 $k(90,98) = -1.86689e+10$;
 $k(90,102) = 4.04492e+08$;
 $k(91,49) = -3.9367e+08$;
 $k(91,91) = 8.43937e+10$;
 $k(91,96) = -6.69239e+07$;
 $k(91,103) = -8.4e+10$;
 $k(92,50) = -2.47059e+09$;
 $k(92,92) = 5.76898e+11$;
 $k(92,96) = -1.86689e+10$;
 $k(92,104) = -5.74427e+11$;
 $k(92,108) = -1.86689e+10$;
 $k(93,51) = -3.9367e+08$;
 $k(93,93) = 5.74821e+11$;
 $k(93,94) = 6.69239e+07$;
 $k(93,95) = 1.86689e+10$;
 $k(93,105) = -5.74427e+11$;
 $k(93,107) = -1.86689e+10$;
 $k(94,51) = -6.69239e+07$;
 $k(94,93) = 6.69239e+07$;
 $k(94,94) = 1.36577e+08$;
 $k(94,106) = -1.252e+08$;
 $k(95,93) = 1.86689e+10$;
 $k(95,95) = -8.08985e+08$;
 $k(95,105) = -1.86689e+10$;
 $k(95,107) = 4.04492e+08$;
 $k(96,49) = -6.69239e+07$;
 $k(96,91) = -6.69239e+07$;
 $k(96,92) = -1.86689e+10$;
 $k(96,96) = 8.20362e+08$;
 $k(96,104) = 1.86689e+10$;
 $k(96,108) = 4.04492e+08$;
 $k(97,1) = -2.184e+10$;
 $k(97,7) = -4.5124e+09$;
 $k(97,61) = -1.91126e+07$;
 $k(97,85) = -8.4e+10$;
 $k(97,97) = 1.10372e+11$;
 $k(97,101) = -2.48464e+06$;
 $k(97,102) = 8.5529e+06$;
 $k(98,2) = -1.00961e+10$;
 $k(98,6) = 1.26202e+09$;
 $k(98,8) = -8.90469e+07$;
 $k(98,12) = 5.38734e+07$;
 $k(98,62) = -8.32633e+08$;
 $k(98,63) = -2.3633e+08$;
 $k(98,86) = -5.74427e+11$;
 $k(98,90) = -1.86689e+10$;
 $k(98,98) = 5.85445e+11$;
 $k(98,99) = 2.3633e+08$;
 $k(98,100) = 2.48464e+06$;
 $k(98,102) = -1.7353e+10$;
 $k(99,3) = -1.00961e+10$;
 $k(99,5) = -1.26202e+09$;
 $k(99,9) = -8.90469e+07$;
 $k(99,11) = -5.38734e+07$;
 $k(99,62) = -2.3633e+08$;
 $k(99,63) = -8.77671e+07$;
 $k(99,87) = -5.74427e+11$;
 $k(99,89) = 1.86689e+10$;
 $k(99,98) = 2.3633e+08$;
 $k(99,99) = 5.847e+11$;
 $k(99,100) = -8.5529e+06$;
 $k(99,101) = 1.7353e+10$;
 $k(100,4) = -3.2552e+07$;
 $k(100,10) = -6.72562e+06$;
 $k(100,62) = -2.48464e+06$;
 $k(100,63) = 8.5529e+06$;
 $k(100,88) = -1.252e+08$;
 $k(100,98) = 2.48464e+06$;
 $k(100,99) = -8.5529e+06$;
 $k(100,100) = 1.68628e+08$;
 $k(101,3) = 1.26202e+09$;
 $k(101,5) = 1.05168e+08$;
 $k(101,9) = 5.38734e+07$;
 $k(101,11) = 2.17289e+07$;
 $k(101,61) = 2.48464e+06$;
 $k(101,87) = -1.86689e+10$;
 $k(101,89) = 4.04492e+08$;
 $k(101,97) = -2.48464e+06$;
 $k(101,99) = 1.7353e+10$;
 $k(101,101) = 1.0631e+09$;
 $k(101,102) = -1.11188e+06$;
 $k(102,2) = -1.26202e+09$;
 $k(102,6) = 1.05168e+08$;
 $k(102,8) = -5.38734e+07$;
 $k(102,12) = 2.17289e+07$;
 $k(102,61) = -8.5529e+06$;
 $k(102,86) = 1.86689e+10$;
 $k(102,90) = 4.04492e+08$;
 $k(102,97) = 8.5529e+06$;
 $k(102,98) = -1.7353e+10$;
 $k(102,101) = -1.11188e+06$;
 $k(102,102) = 1.06661e+09$;
 $k(103,1) = -2.184e+10$;
 $k(103,73) = -1.91126e+07$;
 $k(103,91) = -8.4e+10$;
 $k(103,103) = 1.05859e+11$;
 $k(103,107) = -2.48464e+06$;
 $k(103,108) = 8.5529e+06$;
 $k(104,2) = -1.00961e+10$;
 $k(104,6) = -1.26202e+09$;
 $k(104,74) = -8.32633e+08$;
 $k(104,75) = -2.3633e+08$;
 $k(104,92) = -5.74427e+11$;
 $k(104,96) = 1.86689e+10$;
 $k(104,104) = 5.85356e+11$;
 $k(104,105) = 2.3633e+08$;
 $k(104,106) = 2.48464e+06$;
 $k(104,108) = 1.74069e+10$;
 $k(105,3) = -1.00961e+10$;
 $k(105,5) = 1.26202e+09$;
 $k(105,74) = -2.3633e+08$;
 $k(105,75) = -8.77671e+07$;
 $k(105,93) = -5.74427e+11$;
 $k(105,95) = -1.86689e+10$;
 $k(105,104) = 2.3633e+08$;
 $k(105,105) = 5.84611e+11$;
 $k(105,106) = -8.5529e+06$;
 $k(105,107) = -1.74069e+10$;
 $k(106,4) = -3.2552e+07$;
 $k(106,74) = -2.48464e+06$;
 $k(106,75) = 8.5529e+06$;
 $k(106,94) = -1.252e+08$;
 $k(106,104) = 2.48464e+06$;
 $k(106,105) = -8.5529e+06$;
 $k(106,106) = 1.61902e+08$;
 $k(107,3) = -1.26202e+09$;
 $k(107,5) = 1.05168e+08$;
 $k(107,73) = 2.48464e+06$;
 $k(107,93) = 1.86689e+10$;
 $k(107,95) = 4.04492e+08$;
 $k(107,103) = -2.48464e+06$;
 $k(107,105) = -1.74069e+10$;
 $k(107,107) = 1.01964e+09$;
 $k(107,108) = -1.11188e+06$;
 $k(108,2) = 1.26202e+09$;
 $k(108,6) = 1.05168e+08$;
 $k(108,73) = -8.5529e+06$;
 $k(108,92) = -1.86689e+10$;
 $k(108,96) = 4.04492e+08$;
 $k(108,103) = 8.5529e+06$;
 $k(108,104) = 1.74069e+10$;
 $k(108,107) = -1.11188e+06$;
 $k(108,108) = 1.02315e+09$;

ANEXO G Modelo simulando total esterçamento

Apenas os elementos não nulos das matrizes de massa e rigidez estão representados

$m(1,1)=47.5741;$	$m(37,37)=15.3884;$	$m(73,73)=37.113;$
$m(2,2)=47.5741;$	$m(38,38)=15.3884;$	$m(74,74)=37.113;$
$m(3,3)=47.5741;$	$m(39,39)=15.3884;$	$m(75,75)=37.113;$
$m(4,4)=0.247434;$	$m(40,40)=0.147345;$	$m(76,76)=2.06448;$
$m(5,5)=0.247434;$	$m(41,41)=0.147345;$	$m(77,77)=2.06448;$
$m(6,6)=0.247434;$	$m(42,42)=0.147345;$	$m(78,78)=2.06448;$
$m(7,7)=114.829;$	$m(43,43)=15.2643;$	$m(79,79)=36.7935;$
$m(8,8)=114.829;$	$m(44,44)=15.2643;$	$m(80,80)=36.7935;$
$m(9,9)=114.829;$	$m(45,45)=15.2643;$	$m(81,81)=36.7935;$
$m(10,10)=14.0101;$	$m(46,46)=0.147046;$	$m(82,82)=2.05938;$
$m(11,11)=14.0101;$	$m(47,47)=0.147046;$	$m(83,83)=2.05938;$
$m(12,12)=14.0101;$	$m(48,48)=0.147046;$	$m(84,84)=2.05938;$
$m(13,13)=61.2105;$	$m(49,49)=15.3884;$	$m(85,85)=67.5031;$
$m(14,14)=61.2105;$	$m(50,50)=15.3884;$	$m(86,86)=67.5031;$
$m(15,15)=61.2105;$	$m(51,51)=15.3884;$	$m(87,87)=67.5031;$
$m(16,16)=2.12209;$	$m(52,52)=0.147345;$	$m(88,88)=2.12456;$
$m(17,17)=2.12209;$	$m(53,53)=0.147345;$	$m(89,89)=2.12456;$
$m(18,18)=2.12209;$	$m(54,54)=0.147345;$	$m(90,90)=2.12456;$
$m(19,19)=6.5925;$	$m(55,55)=15.2643;$	$m(91,91)=6.2926;$
$m(20,20)=6.5925;$	$m(56,56)=15.2643;$	$m(92,92)=6.2926;$
$m(21,21)=6.5925;$	$m(57,57)=15.2643;$	$m(93,93)=6.2926;$
$m(22,22)=0.110466;$	$m(58,58)=0.147046;$	$m(94,94)=0.0024707;$
$m(23,23)=0.110466;$	$m(59,59)=0.147046;$	$m(95,95)=0.0024707;$
$m(24,24)=0.110466;$	$m(60,60)=0.147046;$	$m(96,96)=0.0024707;$
$m(25,25)=3.2342;$	$m(61,61)=39.0962;$	$m(97,97)=145.021;$
$m(26,26)=3.2342;$	$m(62,62)=39.0962;$	$m(98,98)=145.021;$
$m(27,27)=3.2342;$	$m(63,63)=39.0962;$	$m(99,99)=145.021;$
$m(28,28)=0.0550836;$	$m(64,64)=2.41868;$	$m(100,100)=14.14;$
$m(29,29)=0.0550836;$	$m(65,65)=2.41868;$	$m(101,101)=14.14;$
$m(30,30)=0.0550836;$	$m(66,66)=2.41868;$	$m(102,102)=14.14;$
$m(31,31)=3.2342;$	$m(67,67)=38.7973;$	$m(103,103)=30.213;$
$m(32,32)=3.2342;$	$m(68,68)=38.7973;$	$m(104,104)=30.213;$
$m(33,33)=3.2342;$	$m(69,69)=38.7973;$	$m(105,105)=30.213;$
$m(34,34)=0.0550836;$	$m(70,70)=2.41451;$	$m(106,106)=0.130838;$
$m(35,35)=0.0550836;$	$m(71,71)=2.41451;$	$m(107,107)=0.130838;$
$m(36,36)=0.0550836;$	$m(72,72)=2.41451;$	$m(108,108)=0.130838;$

k(1,1)=4.40737e+10;
 k(1,6)=-6.69239e+07;
 k(1,19)=-3.9367e+08;
 k(1,97)=-2.184e+10;
 k(1,103)=-2.184e+10;
 k(2,2)=2.26628e+10;
 k(2,20)=-2.47059e+09;
 k(2,98)=-1.00961e+10;
 k(2,102)=-1.26202e+09;
 k(2,104)=-1.00961e+10;
 k(2,108)=1.26202e+09;
 k(3,3)=2.05859e+10;
 k(3,4)=6.69239e+07;
 k(3,21)=-3.9367e+08;
 k(3,99)=-1.00961e+10;
 k(3,101)=1.26202e+09;
 k(3,105)=-1.00961e+10;
 k(3,107)=-1.26202e+09;
 k(4,3)=6.69239e+07;
 k(4,4)=7.64811e+07;
 k(4,21)=-6.69239e+07;
 k(4,100)=-3.2552e+07;
 k(4,106)=-3.2552e+07;
 k(5,5)=4.20672e+08;
 k(5,99)=-1.26202e+09;
 k(5,101)=1.05168e+08;
 k(5,105)=1.26202e+09;
 k(5,107)=1.05168e+08;
 k(6,1)=-6.69239e+07;
 k(6,6)=4.32049e+08;
 k(6,19)=6.69239e+07;
 k(6,98)=1.26202e+09;
 k(6,102)=1.05168e+08;
 k(6,104)=-1.26202e+09;
 k(6,108)=1.05168e+08;
 k(7,7)=4.5124e+09;
 k(7,97)=-4.5124e+09;
 k(8,8)=8.90469e+07;
 k(8,12)=-5.38734e+07;
 k(8,98)=-8.90469e+07;
 k(8,102)=-5.38734e+07;
 k(9,9)=8.90469e+07;
 k(9,11)=5.38734e+07;
 k(9,99)=-8.90469e+07;
 k(9,101)=-5.38734e+07;
 k(10,10)=6.72562e+06;
 k(10,100)=-6.72562e+06;
 k(11,9)=5.38734e+07;
 k(11,11)=4.34579e+07;
 k(11,99)=-5.38734e+07;
 k(11,101)=2.17289e+07;
 k(12,8)=-5.38734e+07;
 k(12,12)=4.34579e+07;
 k(12,98)=5.38734e+07;
 k(12,102)=2.17289e+07;
 k(13,13)=8.46512e+09;
 k(13,85)=-8.46512e+09;
 k(14,14)=5.8789e+08;
 k(14,18)=1.89594e+08;
 k(14,86)=-5.8789e+08;
 k(14,90)=1.89594e+08;
 k(15,15)=5.8789e+08;
 k(15,17)=-1.89594e+08;
 k(15,87)=-5.8789e+08;
 k(15,89)=-1.89594e+08;
 k(16,16)=1.26171e+07;
 k(16,88)=-1.26171e+07;
 k(17,15)=-1.89594e+08;

k(17,17)=8.15256e+07;
 k(17,87)=1.89594e+08;
 k(17,89)=4.07628e+07;
 k(18,14)=1.89594e+08;
 k(18,18)=8.15256e+07;
 k(18,86)=-1.89594e+08;
 k(18,90)=4.07628e+07;
 k(19,1)=-3.9367e+08;
 k(19,6)=6.69239e+07;
 k(19,19)=7.7874e+08;
 k(19,25)=-1.92535e+08;
 k(19,26)=2.48402e+07;
 k(19,27)=3.68923e+08;
 k(19,28)=-2.45395e-11;
 k(19,29)=-839400;
 k(19,30)=-56518.2;
 k(19,31)=-1.92535e+08;
 k(19,32)=-2.48402e+07;
 k(19,33)=3.68923e+08;
 k(19,34)=2.45395e-11;
 k(19,35)=-839400;
 k(19,36)=-56518.2;
 k(20,2)=-2.47059e+09;
 k(20,20)=2.48125e+09;
 k(20,21)=-9.62408e+07;
 k(20,25)=2.48402e+07;
 k(20,26)=-5.33329e+06;
 k(20,27)=4.81204e+07;
 k(20,28)=839400;
 k(20,29)=-9.76108e-13;
 k(20,30)=-433306;
 k(20,31)=-2.48402e+07;
 k(20,32)=-5.33329e+06;
 k(20,33)=4.81204e+07;
 k(20,34)=839400;
 k(20,35)=9.76108e-13;
 k(20,36)=433306;
 k(21,3)=-3.9367e+08;
 k(21,4)=-6.69239e+07;
 k(21,20)=-9.62408e+07;
 k(21,21)=1.82721e+09;
 k(21,25)=-3.68923e+08;
 k(21,26)=4.81204e+07;
 k(21,27)=-7.16771e+08;
 k(21,28)=56518.2;
 k(21,29)=433306;
 k(21,30)=2.02752e-13;
 k(21,31)=3.68923e+08;
 k(21,32)=4.81204e+07;
 k(21,33)=-7.16771e+08;
 k(21,34)=56518.2;
 k(21,35)=-433306;
 k(21,36)=-2.02752e-13;
 k(22,22)=3;
 k(23,23)=3;
 k(24,24)=3;
 k(25,19)=-1.92535e+08;
 k(25,20)=2.48402e+07;
 k(25,21)=-3.68923e+08;
 k(25,25)=-1.92535e+08;
 k(25,26)=-2.48402e+07;
 k(25,27)=3.68923e+08;
 k(25,28)=2.45395e-11;
 k(25,29)=-839400;
 k(25,30)=56518.2;
 k(26,19)=2.48402e+07;
 k(26,20)=-5.33329e+06;
 k(26,21)=4.81204e+07;
 k(26,25)=-2.48402e+07;

k(26,26)=5.33329e+06;
 k(26,27)=-4.81204e+07;
 k(26,28)=-839400;
 k(26,29)=9.76108e-13;
 k(26,30)=433306;
 k(27,19)=-3.68923e+08;
 k(27,20)=4.81204e+07;
 k(27,21)=-7.16771e+08;
 k(27,25)=3.68923e+08;
 k(27,26)=-4.81204e+07;
 k(27,27)=7.16771e+08;
 k(27,28)=-56518.2;
 k(27,29)=-433306;
 k(27,30)=-2.02752e-13;
 k(28,19)=-2.45395e-11;
 k(28,20)=839400;
 k(28,21)=56518.2;
 k(28,25)=-2.45395e-11;
 k(28,26)=-839400;
 k(28,27)=-56518.2;
 k(28,28)=338125;
 k(28,29)=11699.3;
 k(28,30)=-173756;
 k(29,19)=-839400;
 k(29,20)=-9.76108e-13;
 k(29,21)=433306;
 k(29,25)=839400;
 k(29,26)=9.76108e-13;
 k(29,27)=-433306;
 k(29,28)=11699.3;
 k(29,29)=426294;
 k(29,30)=22663.8;
 k(30,19)=-56518.2;
 k(30,20)=-433306;
 k(30,21)=2.02752e-13;
 k(30,25)=56518.2;
 k(30,26)=433306;
 k(30,27)=-2.02752e-13;
 k(30,28)=-173756;
 k(30,29)=22663.8;
 k(30,30)=91220.4;
 k(31,19)=-1.92535e+08;
 k(31,20)=-2.48402e+07;
 k(31,21)=3.68923e+08;
 k(31,31)=1.92535e+08;
 k(31,32)=2.48402e+07;
 k(31,33)=-3.68923e+08;
 k(31,34)=-2.45395e-11;
 k(31,35)=-839400;
 k(31,36)=56518.2;
 k(32,19)=-2.48402e+07;
 k(32,20)=-5.33329e+06;
 k(32,21)=4.81204e+07;
 k(32,31)=2.48402e+07;
 k(32,32)=5.33329e+06;
 k(32,33)=-4.81204e+07;
 k(32,34)=-839400;
 k(32,35)=-9.76108e-13;
 k(32,36)=-433306;
 k(33,19)=3.68923e+08;
 k(33,20)=4.81204e+07;
 k(33,21)=-7.16771e+08;
 k(33,31)=-3.68923e+08;
 k(33,32)=-4.81204e+07;
 k(33,33)=7.16771e+08;
 k(33,34)=-56518.2;
 k(33,35)=433306;
 k(33,36)=-2.02752e-13;
 k(34,19)=2.45395e-11;

k(34,20)=839400;
 k(34,21)=56518.2;
 k(34,31)=-2.45395e-11;
 k(34,32)=-839400;
 k(34,33)=-56518.2;
 k(34,34)=338125;
 k(34,35)=-11699.3;
 k(34,36)=173756;
 k(35,19)=-839400;
 k(35,20)=9.76108e-13;
 k(35,21)=-433306;
 k(35,31)=839400;
 k(35,32)=-9.76108e-13;
 k(35,33)=433306;
 k(35,34)=-11699.3;
 k(35,35)=426294;
 k(35,36)=22663.8;
 k(36,19)=-56518.2;
 k(36,20)=433306;
 k(36,21)=-2.02752e-13;
 k(36,31)=56518.2;
 k(36,32)=-433306;
 k(36,33)=2.02752e-13;
 k(36,34)=173756;
 k(36,35)=22663.8;
 k(36,36)=91220.4;
 k(37,37)=5.84414e+08;
 k(37,43)=-1.90744e+08;
 k(37,48)=-6.48529e+07;
 k(37,85)=-3.9367e+08;
 k(37,90)=6.69239e+07;
 k(38,38)=1.00676e+10;
 k(38,44)=-7.59706e+09;
 k(38,86)=-2.47059e+09;
 k(39,39)=5.84414e+08;
 k(39,45)=-1.90744e+08;
 k(39,46)=-6.48529e+07;
 k(39,87)=-3.9367e+08;
 k(39,88)=-6.69239e+07;
 k(40,40)=2;
 k(41,41)=2;
 k(42,42)=2;
 k(43,37)=-1.90744e+08;
 k(43,43)=1.90744e+08;
 k(43,48)=6.48529e+07;
 k(44,38)=-7.59706e+09;
 k(44,44)=-7.59706e+09;
 k(45,39)=-1.90744e+08;
 k(45,45)=1.90744e+08;
 k(45,46)=-6.48529e+07;
 k(46,39)=-6.48529e+07;
 k(46,45)=-6.48529e+07;
 k(46,46)=2.205e+07;
 k(48,37)=-6.48529e+07;
 k(48,43)=6.48529e+07;
 k(48,48)=2.205e+07;
 k(49,49)=5.84414e+08;
 k(49,55)=-1.90744e+08;
 k(49,60)=-6.48529e+07;
 k(49,91)=-3.9367e+08;
 k(49,96)=6.69239e+07;
 k(50,50)=1.00676e+10;
 k(50,56)=-7.59706e+09;
 k(50,92)=-2.47059e+09;
 k(51,51)=5.84414e+08;
 k(51,57)=-1.90744e+08;
 k(51,58)=6.48529e+07;
 k(51,93)=-3.9367e+08;
 k(51,94)=-6.69239e+07;
 k(52,52)=2;
 k(53,53)=2;
 k(54,54)=2;
 k(55,49)=-1.90744e+08;
 k(55,55)=1.90744e+08;
 k(55,60)=6.48529e+07;
 k(56,50)=-7.59706e+09;
 k(56,56)=7.59706e+09;
 k(57,51)=-1.90744e+08;
 k(57,57)=1.90744e+08;
 k(57,58)=-6.48529e+07;
 k(58,51)=6.48529e+07;
 k(58,57)=-6.48529e+07;
 k(58,58)=2.205e+07;
 k(60,49)=-6.48529e+07;
 k(60,55)=6.48529e+07;
 k(60,60)=2.205e+07;
 k(61,61)=3.97906e+07;
 k(61,67)=-1.16165e+07;
 k(61,71)=-5.37263e+06;
 k(61,72)=-8.48005e+06;
 k(61,97)=-2.81741e+07;
 k(61,101)=2.46523e+06;
 k(61,102)=-1.12696e+07;
 k(62,62)=3.11636e+09;
 k(62,63)=-1.13778e+09;
 k(62,68)=-2.13617e+09;
 k(62,69)=1.34603e+09;
 k(62,70)=5.37263e+06;
 k(62,98)=-9.8019e+08;
 k(62,99)=-2.08253e+08;
 k(62,100)=-2.46523e+06;
 k(63,62)=-1.13778e+09;
 k(63,63)=9.38141e+08;
 k(63,68)=1.34603e+09;
 k(63,69)=-8.64412e+08;
 k(63,70)=8.48005e+06;
 k(63,98)=-2.08253e+08;
 k(63,99)=-7.37295e+07;
 k(63,100)=1.12696e+07;
 k(64,64)=2;
 k(65,65)=2;
 k(66,66)=2;
 k(67,61)=-1.16165e+07;
 k(67,67)=1.16165e+07;
 k(67,71)=5.37263e+06;
 k(67,72)=8.48005e+06;
 k(68,62)=-2.13617e+09;
 k(68,63)=1.34603e+09;
 k(68,68)=2.13617e+09;
 k(68,69)=-1.34603e+09;
 k(68,70)=-5.37263e+06;
 k(69,62)=1.34603e+09;
 k(69,63)=-8.64412e+08;
 k(69,68)=-1.34603e+09;
 k(69,69)=8.64412e+08;
 k(69,70)=-8.48005e+06;
 k(70,62)=5.37263e+06;
 k(70,63)=8.48005e+06;
 k(70,68)=-5.37263e+06;
 k(70,69)=-8.48005e+06;
 k(70,70)=8.67528e+06;
 k(71,61)=-5.37263e+06;
 k(71,67)=5.37263e+06;
 k(71,71)=2.48484e+06;
 k(71,72)=3.92202e+06;
 k(72,61)=-8.48005e+06;
 k(72,67)=8.48005e+06;
 k(72,71)=3.92202e+06;
 k(72,72)=6.19044e+06;
 k(73,73)=3.6698e+07;
 k(73,79)=-1.36197e+07;
 k(73,83)=-5.07333e+06;
 k(73,84)=-9.94237e+06;
 k(73,103)=-2.30783e+07;
 k(73,107)=4.0964e+06;
 k(73,108)=-9.23133e+06;
 k(74,74)=3.30909e+09;
 k(74,75)=-9.23227e+08;
 k(74,80)=-2.50344e+09;
 k(74,81)=1.27049e+09;
 k(74,82)=5.07333e+06;
 k(74,104)=-8.0565e+08;
 k(74,105)=-3.47266e+08;
 k(74,106)=-4.0964e+06;
 k(75,74)=-9.23227e+08;
 k(75,75)=8.39097e+08;
 k(75,80)=1.27049e+09;
 k(75,81)=-6.61919e+08;
 k(75,82)=9.94237e+06;
 k(75,104)=-3.47266e+08;
 k(75,105)=-1.77178e+08;
 k(75,106)=9.23133e+06;
 k(76,76)=2;
 k(77,77)=2;
 k(78,78)=2;
 k(79,73)=-1.36197e+07;
 k(79,79)=1.36197e+07;
 k(79,83)=5.07333e+06;
 k(79,84)=9.94237e+06;
 k(80,74)=-2.50344e+09;
 k(80,75)=1.27049e+09;
 k(80,80)=2.50344e+09;
 k(80,81)=-1.27049e+09;
 k(80,82)=-5.07333e+06;
 k(81,74)=1.27049e+09;
 k(81,75)=-6.61919e+08;
 k(81,80)=-1.27049e+09;
 k(81,81)=6.61919e+08;
 k(81,82)=-9.94237e+06;
 k(82,74)=5.07333e+06;
 k(82,75)=9.94237e+06;
 k(82,80)=-5.07333e+06;
 k(82,81)=-9.94237e+06;
 k(82,82)=9.14774e+06;
 k(83,73)=-5.07333e+06;
 k(83,79)=5.07333e+06;
 k(83,83)=1.88982e+06;
 k(83,84)=3.70353e+06;
 k(84,73)=-9.94237e+06;
 k(84,79)=9.94237e+06;
 k(84,83)=3.70353e+06;
 k(84,84)=7.25793e+06;
 k(85,13)=-8.46512e+09;
 k(85,37)=-3.9367e+08;
 k(85,85)=9.28588e+10;
 k(85,90)=-6.69239e+07;
 k(85,97)=-8.4e+10;
 k(86,14)=-5.8789e+08;
 k(86,18)=-1.89594e+08;
 k(86,38)=-2.47059e+09;
 k(86,86)=5.77485e+11;
 k(86,90)=1.84793e+10;
 k(86,98)=-5.74427e+11;
 k(86,102)=1.86689e+10;
 k(87,15)=-5.8789e+08;
 k(87,17)=1.89594e+08;
 k(87,39)=-3.9367e+08;

$k(87,87)=5.75409e+11;$
 $k(87,88)=6.69239e+07;$
 $k(87,89)=-1.84793e+10;$
 $k(87,99)=-5.74427e+11;$
 $k(87,101)=-1.86689e+10;$
 $k(88,16)=-1.26171e+07;$
 $k(88,39)=-6.69239e+07;$
 $k(88,87)=6.69239e+07;$
 $k(88,88)=1.49194e+08;$
 $k(88,100)=-1.252e+08;$
 $k(89,15)=-1.89594e+08;$
 $k(89,17)=4.07628e+07;$
 $k(89,87)=-1.84793e+10;$
 $k(89,89)=8.9051e+08;$
 $k(89,99)=1.86689e+10;$
 $k(89,101)=4.04492e+08;$
 $k(90,14)=1.89594e+08;$
 $k(90,18)=4.07628e+07;$
 $k(90,37)=6.69239e+07;$
 $k(90,85)=-6.69239e+07;$
 $k(90,86)=1.84793e+10;$
 $k(90,90)=9.01887e+08;$
 $k(90,98)=-1.86689e+10;$
 $k(90,102)=4.04492e+08;$
 $k(91,49)=-3.9367e+08;$
 $k(91,91)=8.43937e+10;$
 $k(91,96)=-6.69239e+07;$
 $k(91,103)=-8.4e+10;$
 $k(92,50)=-2.47059e+09;$
 $k(92,92)=5.76898e+11;$
 $k(92,96)=-1.86689e+10;$
 $k(92,104)=-5.74427e+11;$
 $k(92,108)=-1.86689e+10;$
 $k(93,51)=-3.9367e+08;$
 $k(93,93)=5.74821e+11;$
 $k(93,94)=6.69239e+07;$
 $k(93,95)=1.86689e+10;$
 $k(93,105)=-5.74427e+11;$
 $k(93,107)=1.86689e+10;$
 $k(94,51)=-6.69239e+07;$
 $k(94,93)=6.69239e+07;$
 $k(94,94)=1.36577e+08;$
 $k(94,106)=-1.252e+08;$
 $k(95,93)=1.86689e+10;$
 $k(95,95)=8.08985e+08;$
 $k(95,105)=-1.86689e+10;$
 $k(95,107)=4.04492e+08;$
 $k(96,49)=6.69239e+07;$
 $k(96,91)=-6.69239e+07;$
 $k(96,92)=-1.86689e+10;$
 $k(96,96)=-8.20362e+08;$
 $k(96,104)=1.86689e+10;$
 $k(96,108)=4.04492e+08;$
 $k(97,1)=-2.184e+10;$
 $k(97,7)=-4.5124e+09;$
 $k(97,61)=-2.81741e+07;$
 $k(97,85)=-8.4e+10;$
 $k(97,97)=1.10381e+11;$
 $k(97,101)=-2.46523e+06;$
 $k(97,102)=1.12696e+07;$
 $k(98,2)=-1.00961e+10;$
 $k(98,6)=1.26202e+09;$
 $k(98,8)=-8.90469e+07;$
 $k(98,12)=5.38734e+07;$
 $k(98,62)=-9.8019e+08;$
 $k(98,63)=-2.08253e+08;$
 $k(98,86)=-5.74427e+11;$
 $k(98,90)=-1.86689e+10;$
 $k(98,98)=5.85592e+11;$
 $k(98,99)=2.08253e+08;$
 $k(98,100)=2.46523e+06;$
 $k(98,102)=-1.7353e+10;$
 $k(99,3)=-1.00961e+10;$
 $k(99,5)=-1.26202e+09;$
 $k(99,9)=-8.90469e+07;$
 $k(99,11)=5.38734e+07;$
 $k(99,62)=-2.08253e+08;$
 $k(99,63)=-7.37295e+07;$
 $k(99,87)=-5.74427e+11;$
 $k(99,89)=1.86689e+10;$
 $k(99,98)=2.08253e+08;$
 $k(99,99)=5.84686e+11;$
 $k(99,100)=-1.12696e+07;$
 $k(99,101)=1.7353e+10;$
 $k(100,4)=-3.2552e+07;$
 $k(100,10)=-6.72562e+06;$
 $k(100,62)=-2.46523e+06;$
 $k(100,63)=1.12696e+07;$
 $k(100,88)=-1.252e+08;$
 $k(100,98)=2.46523e+06;$
 $k(100,99)=-1.12696e+07;$
 $k(100,100)=1.69201e+08;$
 $k(101,3)=1.26202e+09;$
 $k(101,5)=1.05168e+08;$
 $k(101,9)=5.38734e+07;$
 $k(101,11)=2.17289e+07;$
 $k(101,61)=2.46523e+06;$
 $k(101,87)=-1.86689e+10;$
 $k(101,89)=4.04492e+08;$
 $k(101,97)=-2.46523e+06;$
 $k(101,99)=1.7353e+10;$
 $k(101,101)=1.06299e+09;$
 $k(101,102)=-986092;$
 $k(102,2)=-1.26202e+09;$
 $k(102,6)=1.05168e+08;$
 $k(102,8)=-5.38734e+07;$
 $k(102,12)=2.17289e+07;$
 $k(102,61)=-1.12696e+07;$
 $k(102,86)=1.86689e+10;$
 $k(102,90)=4.04492e+08;$
 $k(102,97)=1.12696e+07;$
 $k(102,98)=-1.7353e+10;$
 $k(102,101)=-986092;$
 $k(102,102)=1.06729e+09;$
 $k(103,1)=-2.184e+10;$
 $k(103,73)=-2.30783e+07;$
 $k(103,91)=-8.4e+10;$
 $k(103,103)=1.05863e+11;$
 $k(103,107)=-4.0964e+06;$
 $k(103,108)=-9.23133e+06;$
 $k(104,2)=-1.00961e+10;$
 $k(104,6)=-1.26202e+09;$
 $k(104,74)=-8.0565e+08;$
 $k(104,75)=-3.47266e+08;$
 $k(104,92)=-5.74427e+11;$
 $k(104,96)=-1.86689e+10;$
 $k(104,104)=5.85329e+11;$
 $k(104,105)=3.47266e+08;$
 $k(104,106)=4.0964e+06;$
 $k(104,108)=1.74069e+10;$
 $k(105,3)=-1.00961e+10;$
 $k(105,5)=1.26202e+09;$
 $k(105,74)=-3.47266e+08;$
 $k(105,75)=-1.77178e+08;$
 $k(105,93)=-5.74427e+11;$
 $k(105,95)=-1.86689e+10;$
 $k(105,104)=3.47266e+08;$
 $k(105,105)=5.847e+11;$

ANEXO H – Modelo simulando oscilação
Apenas os elementos não nulos das matrizes de massa e rigidez estão representados

$m(1,1)=48.423;$	$m(38,38)=17.5209;$	$m(75,75)=38.1507;$
$m(2,2)=48.423;$	$m(39,39)=17.5209;$	$m(76,76)=2.24107;$
$m(3,3)=48.423;$	$m(40,40)=0.217986;$	$m(77,77)=2.24107;$
$m(4,4)=0.260937;$	$m(41,41)=0.217986;$	$m(78,78)=2.24107;$
$m(5,5)=0.260937;$	$m(42,42)=0.217986;$	$m(79,79)=37.8105;$
$m(6,6)=0.260937;$	$m(43,43)=17.3968;$	$m(80,80)=37.8105;$
$m(7,7)=116.817;$	$m(44,44)=17.3968;$	$m(81,81)=37.8105;$
$m(8,8)=116.817;$	$m(45,45)=17.3968;$	$m(82,82)=2.23492;$
$m(9,9)=116.817;$	$m(46,46)=0.217687;$	$m(83,83)=2.23492;$
$m(10,10)=14.7502;$	$m(47,47)=0.217687;$	$m(84,84)=2.23492;$
$m(11,11)=14.7502;$	$m(48,48)=0.217687;$	$m(85,85)=67.6421;$
$m(12,12)=14.7502;$	$m(49,49)=13.2559;$	$m(86,86)=67.6421;$
$m(13,13)=61.3495;$	$m(50,50)=13.2559;$	$m(87,87)=67.6421;$
$m(14,14)=61.3495;$	$m(51,51)=13.2559;$	$m(88,88)=2.13906;$
$m(15,15)=61.3495;$	$m(52,52)=0.0939244;$	$m(89,89)=2.13906;$
$m(16,16)=2.13659;$	$m(53,53)=0.0939244;$	$m(90,90)=2.13906;$
$m(17,17)=2.13659;$	$m(54,54)=0.0939244;$	$m(91,91)=6.2926;$
$m(18,18)=2.13659;$	$m(55,55)=13.1318;$	$m(92,92)=6.2926;$
$m(19,19)=6.5925;$	$m(56,56)=13.1318;$	$m(93,93)=6.2926;$
$m(20,20)=6.5925;$	$m(57,57)=13.1318;$	$m(94,94)=0.0024707;$
$m(21,21)=6.5925;$	$m(58,58)=0.0936255;$	$m(95,95)=0.0024707;$
$m(22,22)=0.110466;$	$m(59,59)=0.0936255;$	$m(96,96)=0.0024707;$
$m(23,23)=0.110466;$	$m(60,60)=0.0936255;$	$m(97,97)=147.409;$
$m(24,24)=0.110466;$	$m(61,61)=38.0848;$	$m(98,98)=147.409;$
$m(25,25)=3.2342;$	$m(62,62)=38.0848;$	$m(99,99)=147.409;$
$m(26,26)=3.2342;$	$m(63,63)=38.0848;$	$m(100,100)=14.886;$
$m(27,27)=3.2342;$	$m(64,64)=2.23814;$	$m(101,101)=14.886;$
$m(28,28)=0.0550836;$	$m(65,65)=2.23814;$	$m(102,102)=14.886;$
$m(29,29)=0.0550836;$	$m(66,66)=2.23814;$	$m(103,103)=30.6581;$
$m(30,30)=0.0550836;$	$m(67,67)=37.8105;$	$m(104,104)=30.6581;$
$m(31,31)=3.2342;$	$m(68,68)=37.8105;$	$m(105,105)=30.6581;$
$m(32,32)=3.2342;$	$m(69,69)=37.8105;$	$m(106,106)=0.138647;$
$m(33,33)=3.2342;$	$m(70,70)=2.23492;$	$m(107,107)=0.138647;$
$m(34,34)=0.0550836;$	$m(71,71)=2.23492;$	$m(108,108)=0.138647;$
$m(35,35)=0.0550836;$	$m(72,72)=2.23492;$	
$m(36,36)=0.0550836;$	$m(73,73)=38.1507;$	
$m(37,37)=17.5209;$	$m(74,74)=38.1507;$	

```

k(1,1)=4.24779e+10;
k(1,2)=4.35823e+09;
k(1,6)=-6.69239e+07;
k(1,19)=-3.9367e+08;
k(1,97)=-2.10421e+10;
k(1,98)=-2.17911e+09;
k(1,102)=2.27361e+08;
k(1,103)=-2.10421e+10;
k(1,104)=-2.17911e+09;
k(1,108)=-2.27361e+08;
k(2,1)=4.35823e+09;
k(2,2)=2.24448e+10;
k(2,20)=-2.47059e+09;
k(2,97)=-2.17911e+09;
k(2,98)=-9.98713e+09;
k(2,102)=-1.19664e+09;
k(2,103)=-2.17911e+09;
k(2,104)=-9.98713e+09;
k(2,108)=1.19664e+09;
k(3,3)=1.95399e+10;
k(3,4)=6.69239e+07;
k(3,21)=-3.9367e+08;
k(3,99)=-9.57309e+09;
k(3,100)=-2.27361e+08;
k(3,101)=1.19664e+09;
k(3,105)=-9.57309e+09;
k(3,106)=2.27361e+08;
k(3,107)=-1.19664e+09;
k(4,3)=-6.69239e+07;
k(4,4)=8.75079e+07;
k(4,5)=-6.40581e+07;
k(4,21)=-6.69239e+07;
k(4,99)=2.27361e+08;
k(4,100)=-2.72657e+07;
k(4,101)=-2.48112e+07;
k(4,105)=-2.27361e+08;
k(4,106)=-2.72657e+07;
k(4,107)=-2.48112e+07;
k(5,4)=-6.40581e+07;
k(5,5)=4.01107e+08;
k(5,99)=-1.19664e+09;
k(5,100)=-2.48112e+07;
k(5,101)=9.86055e+07;
k(5,105)=1.19664e+09;
k(5,106)=-2.48112e+07;
k(5,107)=9.86055e+07;
k(6,1)=-6.69239e+07;
k(6,6)=4.24656e+08;
k(6,19)=6.69239e+07;
k(6,97)=-2.27361e+08;
k(6,98)=1.19664e+09;
k(6,102)=1.0332e+08;
k(6,103)=2.27361e+08;
k(6,104)=-1.19664e+09;
k(6,108)=1.0332e+08;
k(7,7)=4.28883e+09;
k(7,8)=7.85603e+08;
k(7,12)=9.56162e+06;
k(7,97)=-4.28883e+09;
k(7,98)=-7.85603e+08;
k(7,102)=9.56162e+06;
k(8,7)=7.85603e+08;
k(8,8)=2.31376e+08;
k(8,12)=-5.11701e+07;
k(8,97)=-7.85603e+08;
k(8,98)=-2.31376e+08;
k(8,102)=-5.11701e+07;
k(9,9)=8.45787e+07;
k(9,10)=-9.56162e+06;

k(9,11)=5.11701e+07;
k(9,99)=-8.45787e+07;
k(9,100)=-9.56162e+06;
k(9,101)=5.11701e+07;
k(10,9)=-9.56162e+06;
k(10,10)=7.82939e+06;
k(10,11)=-6.51935e+06;
k(10,99)=9.56162e+06;
k(10,100)=-5.66751e+06;
k(10,101)=-5.0502e+06;
k(11,9)=5.11701e+07;
k(11,10)=-6.51935e+06;
k(11,11)=4.15003e+07;
k(11,99)=-5.11701e+07;
k(11,100)=-5.0502e+06;
k(11,101)=2.04156e+07;
k(12,7)=9.56162e+06;
k(12,8)=-5.11701e+07;
k(12,12)=4.27185e+07;
k(12,97)=-9.56162e+06;
k(12,98)=5.11701e+07;
k(12,102)=2.13592e+07;
k(13,13)=8.41033e+09;
k(13,14)=5.27829e+08;
k(13,18)=-1.26999e+07;
k(13,85)=-8.41033e+09;
k(13,86)=-5.27829e+08;
k(13,90)=-1.26999e+07;
k(14,13)=5.27829e+08;
k(14,14)=6.19499e+08;
k(14,18)=1.88308e+08;
k(14,85)=-5.27829e+08;
k(14,86)=-6.19499e+08;
k(14,90)=1.88308e+08;
k(15,15)=5.83901e+08;
k(15,16)=1.26999e+07;
k(15,17)=-1.88308e+08;
k(15,87)=-5.83901e+08;
k(15,88)=1.26999e+07;
k(15,89)=-1.88308e+08;
k(16,15)=1.26999e+07;
k(16,16)=1.28998e+07;
k(16,17)=-4.61579e+06;
k(16,87)=-1.26999e+07;
k(16,88)=-1.23473e+07;
k(16,89)=-3.57561e+06;
k(17,15)=-1.88308e+08;
k(17,16)=-4.61579e+06;
k(17,17)=8.10295e+07;
k(17,87)=1.88308e+08;
k(17,88)=-3.57561e+06;
k(17,89)=4.04293e+07;
k(18,13)=-1.26999e+07;
k(18,14)=1.88308e+08;
k(18,18)=8.13408e+07;
k(18,85)=-1.26999e+07;
k(18,86)=-1.88308e+08;
k(18,90)=4.06704e+07;
k(19,1)=-3.9367e+08;
k(19,6)=6.69239e+07;
k(19,19)=7.7874e+08;
k(19,25)=-1.92535e+08;
k(19,26)=2.48402e+07;
k(19,27)=-3.68923e+08;
k(19,28)=-2.45395e-11;
k(19,29)=-839400;
k(19,30)=-56518.2;
k(19,31)=-1.92535e+08;
k(19,32)=-2.48402e+07;

k(19,33)=3.68923e+08;
k(19,34)=2.45395e-11;
k(19,35)=-839400;
k(19,36)=-56518.2;
k(20,2)=-2.47059e+09;
k(20,20)=2.48125e+09;
k(20,21)=-9.62408e+07;
k(20,25)=2.48402e+07;
k(20,26)=-5.33329e+06;
k(20,27)=4.81204e+07;
k(20,28)=839400;
k(20,29)=-9.76108e-13;
k(20,30)=-433306;
k(20,31)=-2.48402e+07;
k(20,32)=-5.33329e+06;
k(20,33)=4.81204e+07;
k(20,34)=839400;
k(20,35)=9.76108e-13;
k(20,36)=433306;
k(21,3)=-3.9367e+08;
k(21,4)=-6.69239e+07;
k(21,20)=-9.62408e+07;
k(21,21)=1.82721e+09;
k(21,25)=-3.68923e+08;
k(21,26)=4.81204e+07;
k(21,27)=-7.16771e+08;
k(21,28)=56518.2;
k(21,29)=433306;
k(21,30)=2.02752e-13;
k(21,31)=3.68923e+08;
k(21,32)=4.81204e+07;
k(21,33)=-7.16771e+08;
k(21,34)=56518.2;
k(21,35)=-433306;
k(21,36)=-2.02752e-13;
k(22,22)=3;
k(23,23)=3;
k(24,24)=3;
k(25,19)=-1.92535e+08;
k(25,20)=2.48402e+07;
k(25,21)=-3.68923e+08;
k(25,25)=1.92535e+08;
k(25,26)=-2.48402e+07;
k(25,27)=3.68923e+08;
k(25,28)=2.45395e-11;
k(25,29)=839400;
k(25,30)=56518.2;
k(26,19)=2.48402e+07;
k(26,20)=-5.33329e+06;
k(26,21)=4.81204e+07;
k(26,25)=-2.48402e+07;
k(26,26)=5.33329e+06;
k(26,27)=-4.81204e+07;
k(26,28)=-839400;
k(26,29)=9.76108e-13;
k(26,30)=433306;
k(27,19)=-3.68923e+08;
k(27,20)=4.81204e+07;
k(27,21)=-7.16771e+08;
k(27,25)=3.68923e+08;
k(27,26)=-4.81204e+07;
k(27,27)=7.16771e+08;
k(27,28)=-56518.2;
k(27,29)=433306;
k(27,30)=-2.02752e-13;
k(28,19)=-2.45395e-11;
k(28,20)=839400;
k(28,21)=56518.2;
k(28,25)=2.45395e-11;

```

k(28,26)=-839400;
 k(28,27)=-56518.2;
 k(28,28)=338125;
 k(28,29)=11699.3;
 k(28,30)=-173756;
 k(29,19)=-839400;
 k(29,20)=-9.76108e-13;
 k(29,21)=433306;
 k(29,25)=839400;
 k(29,26)=9.76108e-13;
 k(29,27)=-433306;
 k(29,28)=11699.3;
 k(29,29)=426294;
 k(29,30)=22663.8;
 k(30,19)=-56518.2;
 k(30,20)=-433306;
 k(30,21)=2.02752e-13;
 k(30,25)=56518.2;
 k(30,26)=433306;
 k(30,27)=-2.02752e-13;
 k(30,28)=-173756;
 k(30,29)=22663.8;
 k(30,30)=91220.4;
 k(31,19)=-1.92535e+08;
 k(31,20)=-2.48402e+07;
 k(31,21)=3.68923e+08;
 k(31,31)=1.92535e+08;
 k(31,32)=2.48402e+07;
 k(31,33)=-3.68923e+08;
 k(31,34)=-2.45395e-11;
 k(31,35)=839400;
 k(31,36)=56518.2;
 k(32,19)=-2.48402e+07;
 k(32,20)=-5.33329e+06;
 k(32,21)=4.81204e+07;
 k(32,31)=2.48402e+07;
 k(32,32)=5.33329e+06;
 k(32,33)=-4.81204e+07;
 k(32,34)=-839400;
 k(32,35)=-9.76108e-13;
 k(32,36)=-433306;
 k(33,19)=3.68923e+08;
 k(33,20)=4.81204e+07;
 k(33,21)=-7.16771e+08;
 k(33,31)=-3.68923e+08;
 k(33,32)=-4.81204e+07;
 k(33,33)=-7.16771e+08;
 k(33,34)=-56518.2;
 k(33,35)=433306;
 k(33,36)=2.02752e-13;
 k(34,19)=-2.45395e-11;
 k(34,20)=839400;
 k(34,21)=56518.2;
 k(34,31)=-2.45395e-11;
 k(34,32)=-839400;
 k(34,33)=-56518.2;
 k(34,34)=338125;
 k(34,35)=-11699.3;
 k(34,36)=173756;
 k(35,19)=839400;
 k(35,20)=9.76108e-13;
 k(35,21)=-433306;
 k(35,31)=839400;
 k(35,32)=-9.76108e-13;
 k(35,33)=433306;
 k(35,34)=-11699.3;
 k(35,35)=426294;
 k(35,36)=22663.8;
 k(36,19)=-56518.2;

k(36,20)=433306;
 k(36,21)=-2.02752e-13;
 k(36,31)=56518.2;
 k(36,32)=-433306;
 k(36,33)=2.02752e-13;
 k(36,34)=173756;
 k(36,35)=22663.8;
 k(36,36)=91220.4;
 k(37,37)=5.22516e+08;
 k(37,43)=-1.28846e+08;
 k(37,48)=-4.9928e+07;
 k(37,85)=-3.9367e+08;
 k(37,90)=6.69239e+07;
 k(38,38)=9.13639e+09;
 k(38,44)=-6.66581e+09;
 k(38,86)=-2.47059e+09;
 k(39,39)=5.22516e+08;
 k(39,45)=-1.28846e+08;
 k(39,46)=4.9928e+07;
 k(39,87)=-3.9367e+08;
 k(39,88)=-6.69239e+07;
 k(40,40)=2;
 k(41,41)=2;
 k(42,42)=2;
 k(43,37)=-1.28846e+08;
 k(43,43)=1.28846e+08;
 k(43,48)=4.9928e+07;
 k(44,38)=-6.66581e+09;
 k(44,44)=6.66581e+09;
 k(45,39)=-1.28846e+08;
 k(45,45)=1.28846e+08;
 k(45,46)=-4.9928e+07;
 k(46,39)=4.9928e+07;
 k(46,45)=-4.9928e+07;
 k(46,46)=1.93471e+07;
 k(48,37)=-4.9928e+07;
 k(48,43)=4.9928e+07;
 k(48,48)=1.93471e+07;
 k(49,49)=6.93248e+08;
 k(49,55)=-2.99578e+08;
 k(49,60)=-8.76266e+07;
 k(49,91)=-3.9367e+08;
 k(49,96)=6.69239e+07;
 k(50,50)=1.13014e+10;
 k(50,56)=-8.83077e+09;
 k(50,92)=-2.47059e+09;
 k(51,51)=6.93248e+08;
 k(51,57)=-2.99578e+08;
 k(51,58)=8.76266e+07;
 k(51,93)=-3.9367e+08;
 k(51,94)=-6.69239e+07;
 k(52,52)=2;
 k(53,53)=2;
 k(54,54)=2;
 k(55,49)=-2.99578e+08;
 k(55,55)=2.99578e+08;
 k(55,60)=-8.76266e+07;
 k(56,50)=-8.83077e+09;
 k(56,56)=8.83077e+09;
 k(57,51)=-2.99578e+08;
 k(57,57)=2.99578e+08;
 k(57,58)=-8.76266e+07;
 k(58,51)=8.76266e+07;
 k(58,57)=-8.76266e+07;
 k(58,58)=2.56308e+07;
 k(60,49)=-8.76266e+07;
 k(60,55)=8.76266e+07;
 k(60,60)=2.56308e+07;
 k(61,61)=4.90194e+07;

k(61,67)=-1.255e+07;
 k(61,71)=-5.27099e+06;
 k(61,72)=-9.16148e+06;
 k(61,97)=-3.64694e+07;
 k(61,101)=4.74102e+06;
 k(61,102)=-1.28555e+07;
 k(62,62)=3.29576e+09;
 k(62,63)=-9.69222e+08;
 k(62,68)=-2.30735e+09;
 k(62,69)=1.32029e+09;
 k(62,70)=5.27099e+06;
 k(62,98)=-9.88417e+08;
 k(62,99)=-3.51073e+08;
 k(62,100)=4.74102e+06;
 k(63,62)=-9.69222e+08;
 k(63,63)=9.38115e+08;
 k(63,68)=1.32029e+09;
 k(63,69)=-7.72172e+08;
 k(63,70)=9.16148e+06;
 k(63,98)=-3.51073e+08;
 k(63,99)=-1.65943e+08;
 k(63,100)=1.28555e+07;
 k(64,64)=2;
 k(65,65)=2;
 k(66,66)=2;
 k(67,61)=-1.255e+07;
 k(67,67)=1.255e+07;
 k(67,71)=5.27099e+06;
 k(67,72)=9.16148e+06;
 k(68,62)=-2.30735e+09;
 k(68,63)=1.32029e+09;
 k(68,68)=2.30735e+09;
 k(68,69)=-1.32029e+09;
 k(68,70)=-5.27099e+06;
 k(69,62)=1.32029e+09;
 k(69,63)=-7.72172e+08;
 k(69,68)=-1.32029e+09;
 k(69,69)=7.72172e+08;
 k(69,70)=-9.16148e+06;
 k(70,62)=5.27099e+06;
 k(70,63)=9.16148e+06;
 k(70,68)=-5.27099e+06;
 k(70,69)=-9.16148e+06;
 k(70,70)=8.90169e+06;
 k(71,61)=-5.27099e+06;
 k(71,67)=5.27099e+06;
 k(71,71)=2.21381e+06;
 k(71,72)=3.84782e+06;
 k(72,61)=-9.16148e+06;
 k(72,67)=9.16148e+06;
 k(72,71)=3.84782e+06;
 k(72,72)=6.68788e+06;
 k(73,73)=3.16626e+07;
 k(73,79)=-1.255e+07;
 k(73,83)=-5.27099e+06;
 k(73,84)=-9.16148e+06;
 k(73,103)=-1.91126e+07;
 k(73,107)=2.48464e+06;
 k(73,108)=-8.5529e+06;
 k(74,74)=3.13998e+09;
 k(74,75)=-1.08396e+09;
 k(74,80)=-2.30735e+09;
 k(74,81)=1.32029e+09;
 k(74,82)=5.27099e+06;
 k(74,104)=-8.32633e+08;
 k(74,105)=-2.3633e+08;
 k(74,106)=-2.48464e+06;
 k(75,74)=-1.08396e+09;
 k(75,75)=8.59939e+08;

$k(75,80)=1.32029e+09;$
 $k(75,81)=-7.72172e+08;$
 $k(75,82)=9.16148e+06;$
 $k(75,104)=-2.3633e+08;$
 $k(75,105)=-8.77671e+07;$
 $k(75,106)=8.5529e+06;$
 $k(76,76)=2;$
 $k(77,77)=2;$
 $k(78,78)=2;$
 $k(79,73)=-1.255e+07;$
 $k(79,79)=1.255e+07;$
 $k(79,83)=5.27099e+06;$
 $k(79,84)=9.16148e+06;$
 $k(80,74)=-2.30735e+09;$
 $k(80,75)=1.32029e+09;$
 $k(80,80)=2.30735e+09;$
 $k(80,81)=-1.32029e+09;$
 $k(80,82)=-5.27099e+06;$
 $k(81,74)=1.32029e+09;$
 $k(81,75)=-7.72172e+08;$
 $k(81,80)=-1.32029e+09;$
 $k(81,81)=7.72172e+08;$
 $k(81,82)=-9.16148e+06;$
 $k(82,74)=5.27099e+06;$
 $k(82,75)=9.16148e+06;$
 $k(82,80)=-5.27099e+06;$
 $k(82,81)=-9.16148e+06;$
 $k(82,82)=-8.90169e+06;$
 $k(83,73)=-5.27099e+06;$
 $k(83,79)=5.27099e+06;$
 $k(83,83)=2.21381e+06;$
 $k(83,84)=3.84782e+06;$
 $k(84,73)=-9.16148e+06;$
 $k(84,79)=9.16148e+06;$
 $k(84,83)=3.84782e+06;$
 $k(84,84)=6.68788e+06;$
 $k(85,13)=-8.41033e+09;$
 $k(85,14)=-5.27829e+08;$
 $k(85,18)=1.26999e+07;$
 $k(85,37)=-3.9367e+08;$
 $k(85,85)=9.2804e+10;$
 $k(85,86)=5.27829e+08;$
 $k(85,90)=-5.4224e+07;$
 $k(85,97)=-8.4e+10;$
 $k(86,13)=-5.27829e+08;$
 $k(86,14)=-6.19499e+08;$
 $k(86,18)=-1.88308e+08;$
 $k(86,38)=-2.47059e+09;$
 $k(86,85)=5.27829e+08;$
 $k(86,86)=5.77517e+11;$
 $k(86,90)=-1.84806e+10;$
 $k(86,98)=-5.74427e+11;$
 $k(86,102)=1.86689e+10;$
 $k(87,15)=-5.83901e+08;$
 $k(87,16)=-1.26999e+07;$
 $k(87,17)=1.88308e+08;$
 $k(87,39)=-3.9367e+08;$
 $k(87,87)=5.75405e+11;$
 $k(87,88)=5.4224e+07;$
 $k(87,89)=-1.84806e+10;$
 $k(87,99)=-5.74427e+11;$
 $k(87,101)=-1.86689e+10;$
 $k(88,15)=1.26999e+07;$
 $k(88,16)=-1.23473e+07;$
 $k(88,17)=-3.57561e+06;$
 $k(88,39)=-6.69239e+07;$
 $k(88,87)=5.4224e+07;$
 $k(88,88)=1.49477e+08;$
 $k(88,89)=-4.61579e+06;$
 $k(88,100)=-1.252e+08;$
 $k(89,15)=-1.88308e+08;$
 $k(89,16)=-3.57561e+06;$
 $k(89,17)=4.04293e+07;$
 $k(89,87)=-1.84806e+10;$
 $k(89,88)=-4.61579e+06;$
 $k(89,89)=8.90014e+08;$
 $k(89,99)=1.86689e+10;$
 $k(89,101)=4.04492e+08;$
 $k(90,13)=-1.26999e+07;$
 $k(90,14)=1.88308e+08;$
 $k(90,18)=4.06704e+07;$
 $k(90,37)=6.69239e+07;$
 $k(90,85)=-5.4224e+07;$
 $k(90,86)=1.84806e+10;$
 $k(90,90)=9.01702e+08;$
 $k(90,98)=-1.86689e+10;$
 $k(90,102)=4.04492e+08;$
 $k(91,49)=-3.9367e+08;$
 $k(91,91)=8.43937e+10;$
 $k(91,96)=-6.69239e+07;$
 $k(91,103)=-8.4e+10;$
 $k(92,50)=-2.47059e+09;$
 $k(92,92)=5.76898e+11;$
 $k(92,96)=-1.86689e+10;$
 $k(92,104)=-5.74427e+11;$
 $k(92,108)=-1.86689e+10;$
 $k(93,51)=-3.9367e+08;$
 $k(93,93)=5.74821e+11;$
 $k(93,94)=6.69239e+07;$
 $k(93,95)=1.86689e+10;$
 $k(93,105)=-5.47427e+11;$
 $k(93,107)=1.86689e+10;$
 $k(94,51)=-6.69239e+07;$
 $k(94,93)=6.69239e+07;$
 $k(94,94)=1.36577e+08;$
 $k(94,106)=-1.252e+08;$
 $k(95,93)=1.86689e+10;$
 $k(95,95)=8.08985e+08;$
 $k(95,105)=-1.86689e+10;$
 $k(95,107)=4.04492e+08;$
 $k(96,49)=6.69239e+07;$
 $k(96,91)=-6.69239e+07;$
 $k(96,92)=-1.86689e+10;$
 $k(96,96)=8.20362e+08;$
 $k(96,104)=1.86689e+10;$
 $k(96,108)=4.04492e+08;$
 $k(97,1)=-2.10421e+10;$
 $k(97,2)=-2.17911e+09;$
 $k(97,6)=-2.27361e+08;$
 $k(97,7)=-4.28883e+09;$
 $k(97,8)=-7.85603e+08;$
 $k(97,12)=-9.56162e+06;$
 $k(97,61)=-3.64694e+07;$
 $k(97,85)=-8.4e+10;$
 $k(97,97)=1.09367e+11;$
 $k(97,98)=2.96472e+09;$
 $k(97,101)=-4.74102e+06;$
 $k(97,102)=-2.24067e+08;$
 $k(98,1)=-2.17911e+09;$
 $k(98,2)=-9.98713e+09;$
 $k(98,6)=1.19664e+09;$
 $k(98,7)=-7.85603e+08;$
 $k(98,8)=-2.31376e+08;$
 $k(98,12)=5.11701e+07;$
 $k(98,62)=-9.88417e+08;$
 $k(98,63)=-3.51073e+08;$
 $k(98,86)=-5.74427e+11;$
 $k(98,90)=-1.86689e+10;$
 $k(98,97)=2.96472e+09;$
 $k(98,98)=5.85634e+11;$
 $k(98,99)=3.51073e+08;$
 $k(98,100)=4.74102e+06;$
 $k(98,102)=-1.74211e+10;$
 $k(99,3)=-9.57309e+09;$
 $k(99,4)=2.27361e+08;$
 $k(99,5)=-1.19664e+09;$
 $k(99,9)=-8.45787e+07;$
 $k(99,10)=9.56162e+06;$
 $k(99,11)=-5.11701e+07;$
 $k(99,62)=-3.51073e+08;$
 $k(99,63)=-1.65943e+08;$
 $k(99,87)=-5.74427e+11;$
 $k(99,89)=1.86689e+10;$
 $k(99,98)=3.51073e+08;$
 $k(99,99)=5.84251e+11;$
 $k(99,100)=2.24067e+08;$
 $k(99,101)=1.74211e+10;$
 $k(100,3)=-2.27361e+08;$
 $k(100,4)=-2.72657e+07;$
 $k(100,5)=-2.48112e+07;$
 $k(100,9)=-9.56162e+06;$
 $k(100,10)=-5.66751e+06;$
 $k(100,11)=-5.0502e+06;$
 $k(100,62)=-4.74102e+06;$
 $k(100,63)=1.28555e+07;$
 $k(100,88)=-1.252e+08;$
 $k(100,98)=4.74102e+06;$
 $k(100,99)=2.24067e+08;$
 $k(100,100)=1.76243e+08;$
 $k(100,101)=-3.85484e+07;$
 $k(101,3)=1.19664e+09;$
 $k(101,4)=-2.48112e+07;$
 $k(101,5)=9.86055e+07;$
 $k(101,9)=5.11701e+07;$
 $k(101,10)=-5.0502e+06;$
 $k(101,11)=2.04156e+07;$
 $k(101,61)=4.74102e+06;$
 $k(101,87)=-1.86689e+10;$
 $k(101,89)=4.04492e+08;$
 $k(101,97)=-4.74102e+06;$
 $k(101,99)=1.74211e+10;$
 $k(101,100)=-3.85484e+07;$
 $k(101,101)=1.05165e+09;$
 $k(101,102)=-1.67121e+06;$
 $k(102,1)=2.27361e+08;$
 $k(102,2)=-1.19664e+09;$
 $k(102,6)=1.0332e+08;$
 $k(102,7)=9.56162e+06;$
 $k(102,8)=-5.11701e+07;$
 $k(102,12)=2.13592e+07;$
 $k(102,61)=-1.28555e+07;$
 $k(102,86)=1.86689e+10;$
 $k(102,90)=4.04492e+08;$
 $k(102,97)=-2.24067e+08;$
 $k(102,98)=-1.74211e+10;$
 $k(102,101)=-1.67121e+06;$
 $k(102,102)=1.06287e+09;$
 $k(103,1)=-2.10421e+10;$
 $k(103,2)=-2.17911e+09;$
 $k(103,6)=2.27361e+08;$
 $k(103,73)=-1.91126e+07;$
 $k(103,91)=-8.4e+10;$
 $k(103,103)=1.05061e+11;$
 $k(103,104)=2.17911e+09;$
 $k(103,107)=-2.48464e+06;$
 $k(103,108)=2.35914e+08;$
 $k(104,1)=-2.17911e+09;$

$k(104,2) = -9.98713e+09;$	$k(105,104) = 2.3633e+08;$	$k(107,93) = 1.86689e+10;$
$k(104,6) = -1.19664e+09;$	$k(105,105) = 5.84088e+11;$	$k(107,95) = 4.04492e+08;$
$k(104,74) = -8.32633e+08;$	$k(105,106) = -2.35914e+08;$	$k(107,103) = -2.48464e+06;$
$k(104,75) = -2.3633e+08;$	$k(105,107) = -1.74722e+10;$	$k(107,105) = -1.74722e+10;$
$k(104,92) = -5.74427e+11;$	$k(106,3) = 2.27361e+08;$	$k(107,106) = -3.2029e+07;$
$k(104,96) = 1.86689e+10;$	$k(106,4) = -2.72657e+07;$	$k(107,107) = 1.00986e+09;$
$k(104,103) = 2.17911e+09;$	$k(106,5) = -2.48112e+07;$	$k(107,108) = -1.11188e+06;$
$k(104,104) = 5.85247e+11;$	$k(106,74) = -2.48464e+06;$	$k(108,1) = -2.27361e+08;$
$k(104,105) = 2.3633e+08;$	$k(106,75) = 8.5529e+06;$	$k(108,2) = 1.19664e+09;$
$k(104,106) = 2.48464e+06;$	$k(106,94) = -1.252e+08;$	$k(108,6) = 1.0332e+08;$
$k(104,108) = 1.74722e+10;$	$k(106,104) = 2.48464e+06;$	$k(108,73) = -8.5529e+06;$
$k(105,3) = -9.57309e+09;$	$k(106,105) = -2.35914e+08;$	$k(108,92) = -1.86689e+10;$
$k(105,4) = -2.27361e+08;$	$k(106,106) = 1.67416e+08;$	$k(108,96) = 4.04492e+08;$
$k(105,5) = 1.19664e+09;$	$k(106,107) = -3.2029e+07;$	$k(108,103) = 2.35914e+08;$
$k(105,74) = -2.3633e+08;$	$k(107,3) = -1.19664e+09;$	$k(108,104) = 1.74722e+10;$
$k(105,75) = -8.77671e+07;$	$k(107,4) = -2.48112e+07;$	$k(108,107) = -1.11188e+06;$
$k(105,93) = -5.74427e+11;$	$k(107,5) = 9.86055e+07;$	$k(108,108) = 1.01945e+09;$
$k(105,95) = -1.86689e+10;$	$k(107,73) = 2.48464e+06;$	

ANEXO I – Modelo de finitos simulando batente de suspensão

```
problem description
title="dynamic frame analysis" nodes=18 elements=17 analysis=transient

analysis parameters
beta=0.25 gamma=0.5 alpha=0.0 duration=0.8 dt=0.05
nodes=[2,3] dofs=[Tx] mass-mode=lumped

nodes
1      x=.0      y=.0475      z=.0           constraint=free
2      x=.960                force=vertical
3      x=-.960                force=vertical
4      x=.0      y=.2175      z=.0           constraint=vlink
5      x=-.207    y=.197       z=-.401        constraint=axis
6      x=.207
7      x=-.315    y=.2175      z=.0           constraint=ball
8      x=-.315    y=.510       z=-.10         constraint=chassis_1
9      x=.315      y=.2175      z=.0           constraint=ball
10     x=.315      y=.510       z=-.10         constraint=chassis_1
11     x=-.250    y=-.40       z=-.130        constraint=ball
12     x=-.250    y=.33 z=-.550      constraint=chassis_2
13     x=.250      y=-.40       z=-.130        constraint=ball
14     x=.250      y=.33 z=-.550      constraint=chassis_2
15     x=-.315    y=.0475      z=0.0          constraint=free
16     x=.315      y=.0475      z=0.0
17     x=-.250    y=.0475      z=0.0
18     x=.250      y=.0475      z=0.0

beam3d elements
1      nodes=[1,18]      material=axle
2      nodes=[1,17]      material=axle
3      nodes=[4,5]       material=center
4      nodes=[4,6]       material=center
5      nodes=[7,8]       material=cylinder
6      nodes=[9,10]      material=cylinder
7      nodes=[11,12]      material=cylinder
8      nodes=[13,14]      material=cylinder
9      nodes=[4,1]       material=link
10     nodes=[7,15]      material=link
11     nodes=[9,16]      material=link
12     nodes=[17,11]      material=link
13     nodes=[13,18]      material=link
14     nodes=[18,16]      material=axle
15     nodes=[17,15]      material=axle
16     nodes=[16,2]       material=axle
17     nodes=[15,3]       material=axle

material properties
axle a=0.026 e=210e9 rho=7300 nu=0.3 iy=6.26e-5 iz=6.26e-5 j=2*6.26e-5 g=65e9
color=turquoise
center      a=0.00196 e=210e9 rho=7300 nu=0.3 iy=3.07e-7 iz=3.07e-7 j=2*3.07e-7
g=65e9 color=blue
cylinder   a=0.0123 e=210e9 rho=7300 nu=0.3 iy=1.19e-5 iz=1.19e-5 j=2*1.19e-5
g=65e9 color=magenta
link a=0.002 e=210e9 rho=730 nu=0.3 iy=3.07e-6 iz=3.07e-6 j=2*3.07e-6 g=65e9

/*
```

```
* based on an eccentric (6") load of 1000 lbs
* there will be 625 pounds going to the front truss
* and 375 pounds going to the back truss
*/
forces
vertical fy=80000

constraints
axis      tx=c ty=c tz=c rx=u ry=c rz=c
vlink     tx=c ty=u tz=u rx=h ry=h rz=h
ball      tx=u ty=u tz=u rx=h ry=h rz=h
chassis_1 tx=c ty=c tz=c rx=u ry=c rz=u
chassis_2 tx=c ty=c tz=c rx=u ry=u rz=u
free      tx=u ty=u tz=u

end
```

ANEXO J - Modelo de finitos simulando o sobre-esterçamento

```
problem description
title="dynamic frame analysis" nodes=18 elements=17 analysis=transient

analysis parameters
beta=0.25 gamma=0.5 alpha=0.0 duration=0.8 dt=0.05
nodes=[2,3] dofs=[Tx] mass-mode=lumped

nodes
1    x=.0   y=.0   z=.0           constraint=free
2    x=.960   y=.0           force=vertical
3    x=-.960   y=.0           force=vertical
4    x=.0   y=.170   z=.0           constraint=vlink
5    x=-.207   y=.197   z=-.401   constraint=axis
6    x=.207   y=.0           z=.0           constraint=ball
7    x=-.315   y=.170   z=.0           constraint=ball
8    x=-.315   y=.510   z=-.10      constraint=chassis_1
9    x=.315   y=.170   z=.0           constraint=ball
10   x=.315   y=.510   z=-.10      constraint=chassis_1
11   x=-.250   y=-.40   z=-.1775   constraint=ball
12   x=-.250   y=.33   z=-.550     constraint=chassis_2
13   x=.250   y=-.40   z=-.0875   constraint=ball
14   x=.250   y=.33   z=-.550     constraint=chassis_2
15   x=-.315   y=.0   z=0.0       constraint=free
16   x=.315   y=.0   z=0.0
17   x=-.250   y=.0   z=0.0
18   x=.250   y=.0   z=0.0

beam3d elements
1    nodes=[1,18]   material=axle
2    nodes=[1,17]   material=axle
3    nodes=[4,5]   material=center
4    nodes=[4,6]   material=center
5    nodes=[7,8]   material=cylinder
6    nodes=[9,10]   material=cylinder
7    nodes=[11,12]   material=cylinder
8    nodes=[13,14]   material=cylinder
9    nodes=[4,1]   material=link
10   nodes=[7,15]   material=link
11   nodes=[9,16]   material=link
12   nodes=[17,11]   material=link
13   nodes=[13,18]   material=link
14   nodes=[18,16]   material=axle
15   nodes=[17,15]   material=axle
16   nodes=[17,2]   material=axle
17   nodes=[15,3]   material=axle

material properties
axle a=0.026 e=210e9 rho=7300 nu=0.3 iy=6.26e-5 iz=6.26e-5 j=2*6.26e-5 g=65e9
color=turquoise
center   a=0.00196 e=210e9 rho=7300 nu=0.3 iy=3.07e-7 iz=3.07e-7 j=2*3.07e-7
g=65e9 color=blue
cylinder a=0.0123 e=210e9 rho=7300 nu=0.3 iy=1.19e-5 iz=1.19e-5 j=2*1.19e-5
g=65e9 color=magenta
link a=0.002 e=210e9 rho=730
```

```
/*
 * based on an eccentric (6") load of 1000 lbs
 * there will be 625 pounds going to the front truss
 * and 375 pounds going to the back truss
 */
```

```
forces
vertical fy=80000
```

```
constraints
axis      tx=c ty=c tz=c rx=u ry=c rz=c
vlink     tx=c ty=u tz=u rx=h ry=h rz=h
ball      tx=u ty=u tz=u rx=h ry=h rz=h
chassis_1 tx=c ty=c tz=c rx=u ry=c rz=u
chassis_2 tx=c ty=c tz=c rx=u ry=u rz=u
free      tx=u ty=u tz=u
```

```
end
```

ANEXO K – Modelo de finitos simulando uma oscilação

```
problem description
title="dynamic frame analysis" nodes=18 elements=17 analysis=transient

analysis parameters
beta=0.25 gamma=0.5 alpha=0.0 duration=0.8 dt=0.05
nodes=[2,3] dofs=[Tx] mass-mode=lumped

nodes
1      x=.0    y=.0    z=.0          constraint=free
2      x=.960   y=.1786           force=vertical
3      x=-.960  y=-.091         force=vertical
4      x=.0     y=.170   z=.0        constraint=vlink
5      x=-.207  y=.197   z=-.401    constraint=axis
6      x=.207
7      x=-.315  y=.1225  z=.0       constraint=ball
8      x=-.315  y=.510   z=-.10     constraint=chassis_1
9      x=.315   y=.2175  z=.0       constraint=ball
10     x=.315   y=.510   z=-.10     constraint=chassis_1
11     x=-.250  y=-.40   z=-.130    constraint=ball
12     x=-.250  y=.33    z=-.550    constraint=chassis_2
13     x=.250   y=-.40   z=-.130    constraint=ball
14     x=.250   y=.33    z=-.550    constraint=chassis_2
15     x=-.315  y=-.0475 z=0.0     constraint=free
16     x=.315   y=.0475 z=0.0
17     x=-.250  y=-.0475 z=0.0
18     x=.250   y=.0475 z=0.0

beam3d elements
1      nodes=[1,18]    material=axle
2      nodes=[1,17]    material=axle
3      nodes=[4,5]     material=center
4      nodes=[4,6]     material=center
5      nodes=[7,8]     material=cylinder
6      nodes=[9,10]    material=cylinder
7      nodes=[11,12]   material=cylinder
8      nodes=[13,14]   material=cylinder
9      nodes=[4,1]     material=link
10     nodes=[7,15]    material=link
11     nodes=[9,16]    material=link
12     nodes=[17,11]   material=link
13     nodes=[13,18]   material=link
14     nodes=[18,16]   material=axle
15     nodes=[17,15]   material=axle
16     nodes=[16,2]    material=axle
17     nodes=[15,3]    material=axle

material properties
axle a=0.026 e=210e9 rho=7300 nu=0.3 iy=6.26e-5 iz=6.26e-5 j=2*6.26e-5 g=65e9
color=turquoise
center   a=0.00196 e=210e9 rho=7300 nu=0.3 iy=3.07e-7 iz=3.07e-7 j=2*3.07e-7
g=65e9 color=blue
cylinder a=0.0123 e=210e9 rho=7300 nu=0.3 iy=1.19e-5 iz=1.19e-5 j=2*1.19e-5
g=65e9 color=magenta
link a=0.002 e=210e9 rho=730 nu=0.3 iy=3.07e-6 iz=3.07e-6 j=2*3.07e-6 g=65e9

/*
```

```
* based on an eccentric (6") load of 1000 lbs
* there will be 625 pounds going to the front truss
* and 375 pounds going to the back truss
*/
forces
vertical fy=80000

constraints
axis      tx=c ty=c tz=c rx=u ry=c rz=c
vlink     tx=c ty=u tz=u rx=h ry=h rz=h
ball      tx=u ty=u tz=u rx=h ry=h rz=h
chassis_1 tx=c ty=c tz=c rx=u ry=c rz=u
chassis_2 tx=c ty=c tz=c rx=u ry=u rz=u
free      tx=u ty=u tz=u

end
```

ANEXO L - Rotina de cálculo para controlabilidade

```
# Esta rotina testa a controlabilidade de um sistema
#   do tipo

#   dx/dt =Ax +Bu

# atraves de um criterio que diz:

# "se as linhas de Bn forem não nulas,
# o sistema é controlavel"

# onde Bn = inv(M) *B_reduzida,
#       B_reduzida eh uma sub matriz de B,
#       B_reduzida tem as colunas de B que efetivamente
#           tem atuadores
# ver Brogan, Modern Control Theory

Z=zeros(108,108);

I=eye(108);

im=inv(m);

# monta a matriz A
A=[ Z I ; im*k Z];

# monta a matriz B como se houvessem
#   108 atuadores
B=[Z ; im];

# calcula a matriz modal M
[M,L]=eig(A);

# considere que ha apenas quatro atuadores
#   dois verticais nos nohs 7 e 9 (coordenadas 38 e 50)
#   dois horizontais nos nohs 11 e 13 coordenadas 61 e 73)

B_reduzida= [ B(:,38) B(:,50) B(:,61) B(:,73) ];

Bn= inv(M)*B_reduzida;

v=zeros(216,1);
for i=1:216
  for j=1:4
    v(i)=v(i)+abs(Bn(i,j));
  end
end

# se os elementos do vetor v sao nao nulos,
#   o sistema eh controlavel pois cada um dos modos
# eh controlavel
```

ANEXO L - Rotina de cálculo para controlabilidade

```
# Esta rotina testa a controlabilidade de um sistema
#   do tipo

#   dx/dt =Ax +Bu

# atraves de um criterio que diz:

# "se as linhas de Bn forem não nulas,
# o sistema é controlavel"

# onde Bn = inv(M)*B_reduzida,
#       B_reduzida eh uma sub matriz de B,
#       B_reduzida tem as colunas de B que efetivamente
#           tem atuadores
# ver Brogan, Modern Control Theory

Z=zeros(108,108);

I=eye(108);

im=inv(m);

# monta a matriz A
A=[ Z I ; im*k Z];

# monta a matriz B como se houvessem
#   108 atuadores
B=[Z ; im];

# calcula a matriz modal M
[M,L]=eig(A);

# considere que ha apenas quatro atuadores
#   dois verticais nos nohs 7 e 9 (coordenadas 38 e 50)
#   dois horizontais nos nohs 11 e 13 coordenadas 61 e 73)

B_reduzida= [ B(:,38) B(:,50) B(:,61) B(:,73)];

Bn= inv(M)*B_reduzida;

v=zeros(216,1);
for i=1:216
  for j=1:4
    v(i)=v(i)+abs(Bn(i,j));
  end
end

# se os elementos do vetor v sao nao nulos,
#   o sistema eh controlavel pois cada um dos modos
# eh controlavel
```

ANEXO M – ROTINA DE CÁLCULO PARA OBSERVABILIDADE

```
I=eye(108);
Z=zeros(108,108);

im=inv(m);

A=[ Z I ; im*k Z ];

[M,L]= eig(A);

C=zeros(15,216);
# 2
C(1,7)=1.0;
C(2,8)=1.0;
C(3,9)=1.0;
# 4
C(4,19)=1.0;
C(5,20)=1.0;
C(6,21)=1.0;
# 7
C(7,37)=1.0;
C(8,38)=1.0;
C(9,39)=1.0;
# 18
C(7,208)=1.0;
C(8,209)=1.0;
C(9,210)=1.0;
#
C(7,187)=1.0;
C(8,188)=1.0;
C(9,189)=1.0;

Cn=C*M;

v=zeros(216,1);

for i=1:216
for j=1:15
    v(i)=v(i)+abs(Cn(j,i));
end
end
```

ANEXO N – RESULTADOS PARA AS ANALISES DE OBSERVABILIDADE

Condição de oscilação

```
# Created by Octave 2.1.72, Thu Feb 08 01:15:25 2007 BRST <raul@quel>
```

```
# name: v
# type: matrix
# rows: 216
# columns: 1
```

1.15525695764717	0.307217560137538	0.00999577244377352
1.15628316860931	0.307217538687927	0.0897859684758989
0.00102170810111011	0.591556388114774	0.375673741455881
0.00193035214128131	0.59155660610813	0.108969337165716
1.1552569603468	0.011199481907388	0.375671779373485
1.15628316850859	0.0283164993349201	0.108996011438157
0.00102170810264645	0.0112035192767145	0.312991941164454
0.00193035214167479	0.0283165288913313	0.313013093153096
0.430897055023833	0.740499851257408	0.123809910409188
0.460453171528746	0.74049934487668	0.153515084267762
0.430897095238716	0.123687859708854	0.123796405730399
0.460453195440865	0.0531878475096074	0.153492728812098
0.977327071507093	0.050694074628151	0.116296141286492
1.02204345166296	0.220079562781853	0.116278724880988
0.804240088135691	0.123687991996361	0.325551278051224
0.887384053844067	0.0531879020068355	0.325573303127031
0.97732706686492	0.0506941396401904	0.401566532863768
1.02204345260172	0.220079695238948	0.223115635653384
0.804240081979489	0.0652249636876257	0.401537913957219
0.887384054844844	0.0652208128594832	0.223095469064916
1.00627091716584	0.853385471427157	0.500151614840317
0.487600898333729	0.191697461047469	0.516300469336482
0.401492488516961	0.853386035013798	0.247638987580297
0.559073098229671	0.191698287155282	0.500186522751082
0.52236037898099	0.0825737316569763	0.516275425293149
1.00627091076591	0.0825686294650175	0.247585616277416
0.487600843587739	0.232074799392719	0.398757692471287
0.401492376790095	0.266767145316399	0.141740764056482
0.559073103962756	0.344493013482759	0.398740040771102
0.52236037488469	0.00999037739221884	0.141796702668599
0.033814750023415	0.0897926994285267	0.22479580379369
0.0338142314327883	0.232065774220008	0.224903056392503
0.0353101596848414	0.266774461827857	0.321873913235387
0.0353511381010928	0.344491932734163	0.321797483596967

0.317440184429032	0.429300554270128	1.21796363893377e-05
0.317395391811742	0.429300554270128	2.54901719880609e-07
0.00222642513273249	0.69138437105345	0.230735318067849
0.00222555694822531	0.5878391730627	0.22927821871593
0.00470429159265741	0.697648977286831	0.230925294292091
0.00470441447279029	0.00258292809551435	0.229277950956962
0.00158622487295439	0.00785591117873987	2.34412735971094e-10
0.00158574711253633	0.587476686287285	2.34412735971094e-10
2.70818917471956e-08	0.0027038711668579	5.02411502243209e-11
2.70921987354347e-08	0.00779781445999239	5.02411502243209e-11
0.253094255105339	0.0252297005637111	9.11491531352306e-14
0.253003977268727	0.0252297005637111	9.11491531352306e-14
0.142235682946364	0.00181467242333954	7.76526347223393e-14
0.142290523469652	0.00181467242333954	2.78624720918213e-13
0.0214413271573499	0.577916235013876	2.41805991340127e-13
0.073025891003961	0.557300788587697	2.63269581908702e-13
0.0214421912586792	0.000290200301366756	3.32538133894717e-14
0.0730277484982164	0.000290200301366756	3.32538133894717e-14
0.0720483737746389	1.42002026647341e-13	8.98268502726717e-14
0.0720655249003217	6.37347622851129e-13	4.61252951298603e-13
0.117770065464855	5.6715806614049e-14	2.877954373674e-13
0.117803418652044	9.39580985534935e-13	3.64918692789343e-13
0.248920873784324	9.39580985534935e-13	
0.248866209614822	1.17840892255359e-12	
0.365739544202108	5.42230868211049e-05	
0.365768726945276	5.42230868211049e-05	
0.178107190302534	6.79282520625316e-07	
0.178099439686253	6.79282520625316e-07	
0.382526106962774	9.34545634937427e-13	
0.382385076129627	6.88705916660647e-13	
0.221200787980843	8.2189621191948e-15	
0.220943517373698	7.44541509258614e-13	
0.202629362416943	7.44541509258614e-13	
0.202679415859029	6.62348622424902e-13	
0.633869297782393	5.95744031837073e-14	
0.633672612786797	5.95744031837073e-14	
0.348132547709001	9.14184598270844e-14	
0.348132547709001	0.0336110853803634	
0.177917661852046	0.0336110853803634	
0.187630736228357	0.0333276191310126	
0.0486220773572583	0.0333276191310126	
0.0322295831581833	5.66833913974034e-14	
0.553552974810453	5.58452673095695e-15	
0.553552974810453	5.58452673095695e-15	
0.062823385571491	1.03332271626285e-05	
0.0322162855987313	1.82636813070568e-07	

Condição de Batente de suspensão

Created by Octave 2.1.72, Thu Feb 08 01:14:49 2007 BRST <raul@quel>

name: y

```
# type: matrix
```

rows: 216

columns: 1

0.828554236607838	0.316845011989656	0.454570803453941
0.828643101823176	0.31684501427136	0.360471305844467
0.828554234362145	0.607003679946809	0.402455665166686
0.828643101965281	0.607004379237791	0.454566581358609
0.828697238101741	0.024437722297726	0.360500856275516
0.828608646349379	0.0244378312713989	0.402475193585806
0.828697237948822	0.0368355583557556	
0.828608648673661	0.0368305915084701	
0.0467880621310069	0.630849900425288	0.158755756954572
0.0467881046277248	0.630850240934868	0.178343365235746
0.771280415300326	0.052364589017196	0.158715958711512
0.7713578852904	0.293363728955969	0.178372240105881
0.0343766616508992	0.00454969548883763	0.0978811405686928
0.771280409283094	0.00223245125324437	0.0978888216468912
0.771357885484063	0.0290330600137201	0.363338129758284
0.034376708295533	0.224613664907854	0.363303848114374
0.859628756149236	0.0256504561390045	0.360820036340015
0.859492200225739	0.0523613280134217	0.0796296940959233
0.859492190860369	0.29336740613775	0.360774649812101
0.85962875686958	0.00455107177816885	0.255211975218644
0.218294318046454	0.00223496454607218	0.079564241281686
0.406755132353705	0.0290325619922305	0.317921682276466
0.408683315033569	0.224613543557957	0.255164228808022
0.721757838990657	0.0256519123461679	0.389254969438826
0.541329698455809	0.578764589654018	0.317882204837874
0.218294729993266	0.578767551580317	0.400089070526905
0.406751847406353	0.643073657893665	0.187472729062851
0.408683229604448	0.643072181476568	0.389216487095023
0.721758124721715	0.129630052696972	0.327725760405884
0.541336168676865	0.269656079300777	0.187505305613648
0.695716658285379	0.294156498889634	0.400029096217754
0.69571661496216	0.129611019192735	0.230770375762333
0.110044458758313	0.269649936822064	0.32767377510001
0.110064176397681	0.29415591488373	0.230838850929992
	0.198747505494121	0.311511040161578
	0.198779586469594	0.311554064795969

0.260754879865555	0.00330561302044956	1.32839862372643e-13
0.00245264466054794	0.00330561302044956	0.229811032434731
3.90386324007647e-08	0.0176221731231502	2.72991338816094e-13
0.00397804487984592	0.034165703371291	2.72991338816094e-13
0.0016604781538264	0.00776450341237109	1.59400015505695e-13
0.260833589350482	0.00776450341237109	1.11302934273309e-13
0.00245176033987797	0.60319747108727	1.21040517116223e-13
0.149078791316418	0.685204207743663	1.21040517116223e-13
3.90244424576087e-08	0.602771951298015	2.0726501650367e-14
0.149122375460485	0.689896156862321	1.31115929603208e-13
0.00166087658157255	0.00057682903186846	1.31115929603208e-13
0.00397791093903021	0.00057682903186846	2.71317217682286e-14
0.207553695332941	1.59068013033726e-07	2.71317217682286e-14
0.114441843569128	1.59068013033726e-07	1.80481342501987e-13
0.207615909467703	0.549444754593848	5.16156166913246e-14
0.114471038853793	0.549444754593848	1.27090149892914e-13
0.0579653107102968	2.5577724081772e-13	1.27090149892914e-13
0.0709760472855844	1.34728273116865e-13	2.86778859262922e-14
0.0541861951671248	1.34728273116865e-13	2.86778859262922e-14
0.0579616195673042	4.36482754969391e-13	2.45857608869619e-13
0.0709916612384895	2.51799059326384e-13	
0.0541861689917302	2.51799059326384e-13	
0.398284523829843	0.0335137712587935	
0.103189505306765	0.0335137712587935	
0.228670723376978	0.0334067809723045	
0.398317276986213	0.0334067809723045	
0.103059684090546	9.35169328947689e-08	
0.228557760918628	1.17201958532232e-07	
0.432923008101632	1.08287407081776e-07	
0.433029136105445	1.35280441125097e-07	
0.519155465981795	4.96202989171828e-07	
0.145938426282492	3.82312379904205e-06	
0.519003405132802	6.27089997289019e-07	
0.145921333679334	4.22481985873659e-06	
0.171173260987343	2.39613456795853e-10	
0.177445606597727	2.39613456795853e-10	
0.297364958814936	2.39643880068902e-10	
0.304130310274542	2.39643880068902e-10	
0.304130310274542	0.230264071802739	
0.291192595972811	0.229811009743387	
0.127038318906859	0.230080805286585	
0.127038318906859	2.42764751827681e-13	
0.0172326071115807	1.22237955428429e-13	
0.332934808216966	1.22237955428429e-13	
0.332934808216966	2.77416418934762e-13	
0.0342943107111558	1.81249349827078e-13	

Condição de sobre esterçamento

Created by Octave 2.1.72, Thu Feb 08 01:23:45 2007 BRST <raul@quel>

name: v
type: matrix
rows: 216
columns: 1

1.13717536989781	0.341036259401812	0.442696371190913
0.0112060090470472	0.614506989296046	0.241020485554988
0.0127092388905371	0.0326766985572273	0.382283235297005
1.13740386428757	0.0246478875110464	0.382305653612589
1.13717537263732	0.628867354829107	0.154333585132254
0.0112060090449092	0.032672759471726	0.0981101626604952
0.0127092389126871	0.0246478264823584	0.0981282707932976
1.1374038642512	0.628867798756177	0.154349872001756
0.0592051980411659	0.518255812408865	0.119712375001555
0.0452040535940377	0.232678226213242	0.119727483580349
0.811872835608551	0.518256044802857	0.399654326278245
0.81597519649637	0.232678429057829	0.399615677167673
0.855146188418453	0.0639513645383832	0.390243685449939
0.850653917655374	0.0639455811837638	0.390210294253934
0.0592052352228392	0.841806133776304	0.335300267697532
0.0452040936549064	0.0381202289271295	0.335259048404247
0.811872832012369	0.0146914624509196	0.38385610152301
0.815975196764721	0.0144917501388066	0.383819127226614
0.855146183146389	0.00822924255784071	0.18333739575474
0.850653918341499	0.00868695187782645	0.120810288736568
0.757906271552567	0.841807061460698	0.18328445146773
0.413624934034712	0.0381200577868322	0.120760600088164
0.648636018467952	0.0146932560481554	0.387846249658733
0.405360582823606	0.0144934557002616	0.387761970593824
0.757906262451906	0.00823331721554349	0.297553279770837
0.413624757781095	0.00869045273484105	0.297620946336674
0.648636007529679	0.200552637675511	0.220976161268393
0.405360582988568	0.24034833505707	0.220892958339098
0.21369349642556	0.173378827088272	0.411085460313565
0.110380974074143	0.292595537784056	0.411148076254011
0.0703353794166719	0.200561736382614	0.309073359565583
0.213693909029816	0.240332125743896	0.309029549707617
0.110357731478684	0.173400031832393	0.00232080040142513
0.0703600567874284	0.292593975977865	0.00231983879192995
0.341036219506441	0.442699680145169	0.00121902050936548
0.614506935758364	0.240994861982656	0.0012193785075771

0.00427317887269	0.000690975871715444	4.78527694004275e-14
0.00427330101305129	0.00478271865660124	6.03600552334006e-14
2.6084209789659e-08	0.000689417887635735	4.04383302460115e-14
2.60951371385357e-08	3.63500609000211e-07	5.44520274674291e-14
0.262265687213866	0.638359167293771	5.7644262370589e-13
0.262180067616066	0.654420355246376	3.87209236241699e-13
0.15469859430977	0.0131041388212959	3.87209236241699e-13
0.0760451006965258	0.0131041388212959	1.27155585043953e-13
0.137971454379349	0.0009203586361238	1.27155585043953e-13
0.154661697372513	0.0009203586361238	2.4218802182043e-13
0.0760411570101292	0.801757409564721	1.45049441850198e-13
0.138009766820286	0.782884631408388	1.90441093107218e-13
0.0128759180257021	5.64538317895538e-07	1.90441093107218e-13
0.0615913196860314	5.64538317895538e-07	1.59376579072574e-13
0.212573698166926	1.53801199744891e-05	1.17950194520727e-13
0.0128808969128758	1.53801199744891e-05	1.17950194520727e-13
0.0615830994019423	9.16839548603394e-12	
0.21263187529693	9.15422181110624e-13	
0.363865982949817	1.9282697419424e-12	
0.363902971381732	5.72669668454457e-12	
0.220043252846737	2.06345630568087e-12	
0.219944782207818	2.04555107180382e-12	
0.435755479411726	0.0215467182051059	
0.435638916368383	0.0215347633909896	
0.0651737251364062	5.29518570350091e-05	
0.065389431647801	5.29518570350091e-05	
0.202052267673841	2.4346512778369e-05	
0.202045269051774	0.312765913632825	
0.6283975308399	0.312832433306971	
0.628571206255353	3.35785398075661e-05	
0.359183242938357	1.86906562570267e-07	
0.359183242938357	2.71213768173417e-06	
0.254247178630839	2.59617922351747e-07	
0.260654170822229	2.36258110485553e-06	
0.413495743802639	5.17568886747315e-11	
0.309927388176999	5.17568886747315e-11	
0.309927388176999	5.17030564899159e-11	
0.284171774390506	5.17030564899159e-11	
0.284171774390506	5.45588661084781e-14	
0.410944716070171	5.23339931139267e-14	
0.348359764446423	5.23339931139267e-14	
0.000555882915220543	8.28140178455599e-14	
0.0048668192820775	5.64937072169086e-14	
0.000546530365909183	5.64937072169086e-14	
3.55940956144494e-07	8.49627177332967e-14	
0.340428635463616	4.78527694004275e-14	